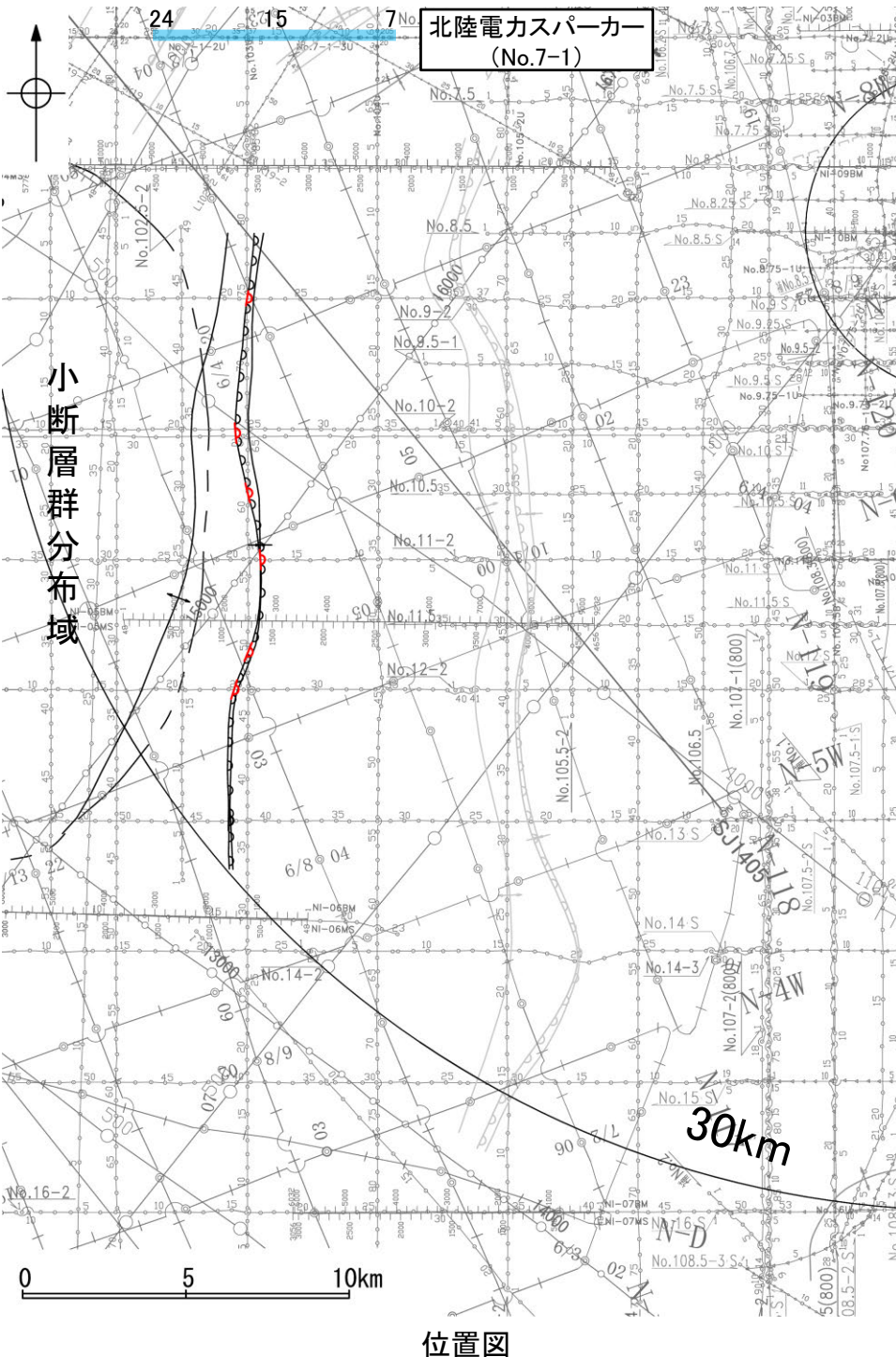


2.6.4 (4) 羽咋沖西撓曲の端部 —北端調査 No.7-1測線—

○No.8測線のさらに北方延長にあたるNo.7-1測線において、羽咋沖西撓曲を示唆するような変位、変形は認められない。
 ○測点12及び測点24付近の西落ちの撓曲は、笹波沖断層帯(西部)として別途評価している。

※笹波沖断層帯(西部)の評価は、2.6.1



- 凡 例
- 対象断層: 撓曲 (curvature), 背斜軸 (anticline axis), 向斜軸 (syncline axis), 小断層群分布域 (small fault zone distribution area)
 - 対象外断層: 伏在断層 (blind fault), 撓曲 (curvature), 連続性のない伏在断層 (discontinuous blind fault), 背斜軸 (anticline axis), 向斜軸 (syncline axis)
 - 右図記録範囲 (right figure recording range)

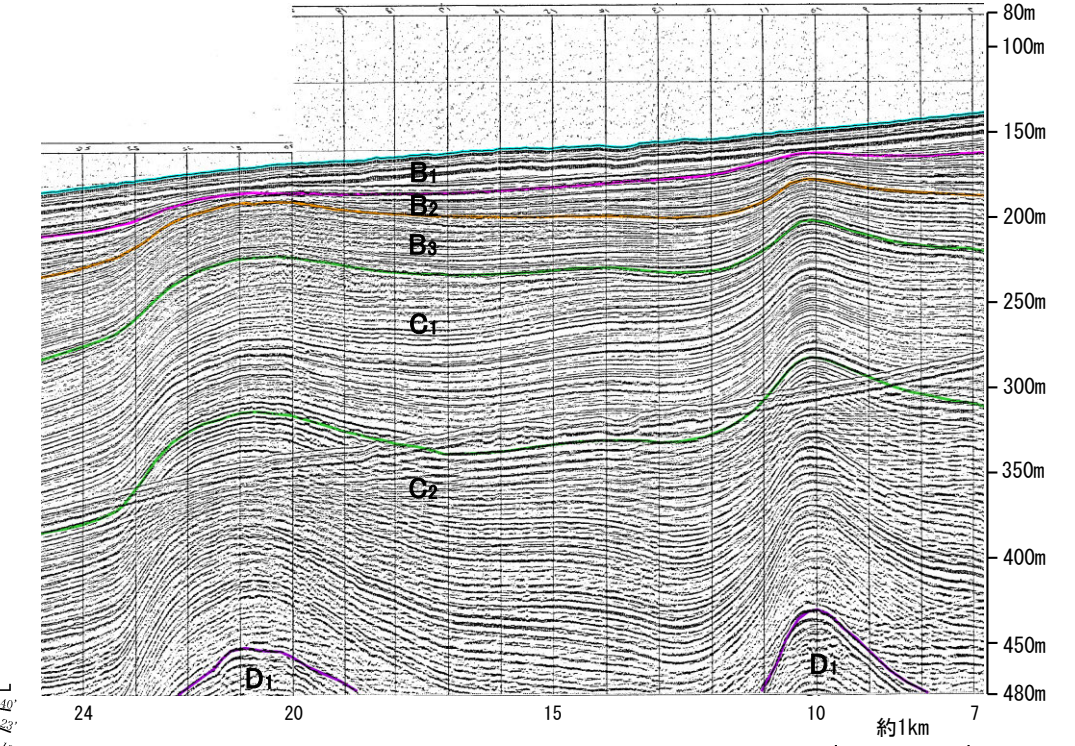
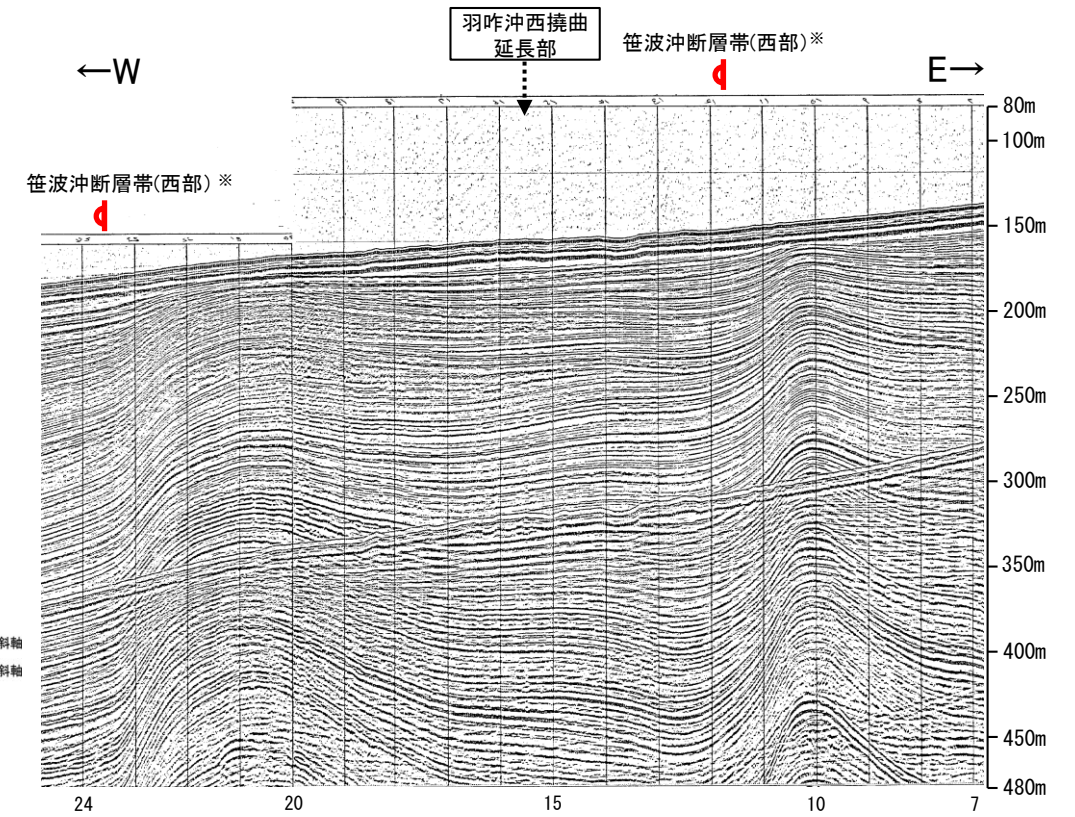
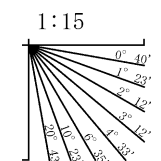
(測線位置における活動性)

- B₁層以上に変位、変形が認められる
- B₁層以上に変位、変形の可能性が否定できない

- No. 8 調査測線 (北陸電力: スパークー・シングルチャンネル・約2450ジュール)
- No. 9-S 調査測線 (北陸電力: スパークー・シングルチャンネル・約360ジュール)
- No. 8U No. 11B 調査測線 (北陸電力: プーマー・マルチチャンネル・約200ジュール)
- K17 調査測線 (東京大学地震研究所: プーマー・マルチチャンネル)
- L102 調査測線 (産業技術総合研究所: プーマー・マルチチャンネル)
- NI-06BM 調査測線 (原子力安全・保安院: プーマー・マルチチャンネル)
- NI-06MS 調査測線 (原子力安全・保安院: ウォーターガン・マルチチャンネル)
- N-118 調査測線 (地質調査所: エアガン・シングルチャンネル)
- 14 調査測線 (文部科学省研究開発局・国立大学法人東京大学地震研究所: エアガン・マルチチャンネル)
- H73-1 調査測線 (エアガン・マルチチャンネル)
- SJ1407 調査測線 (海洋研究開発機構: エアガン・マルチチャンネル)

枠囲みの内容は機密事項に属しますので公開できません。

地質時代	地層名		
第四紀	完新世	A層	
	更新世	後期	B ₁ 層
		中期	B ₂ 層
		前期	B ₃ 層
	新第三紀	鮮新世	C ₁ 層
		中新世	C ₂ 層
古第三紀	D層	D ₁ 層	
		D ₂ 層	



2.6.4 (4) 羽咋沖西撓曲の端部 —南端調査 補No.4(800)測線—

○No.13測線で推定した撓曲の南方延長にあたる補No.4(800)測線において、いずれの地層にも断層等を示唆するような変位、変形は認められない。



位置図

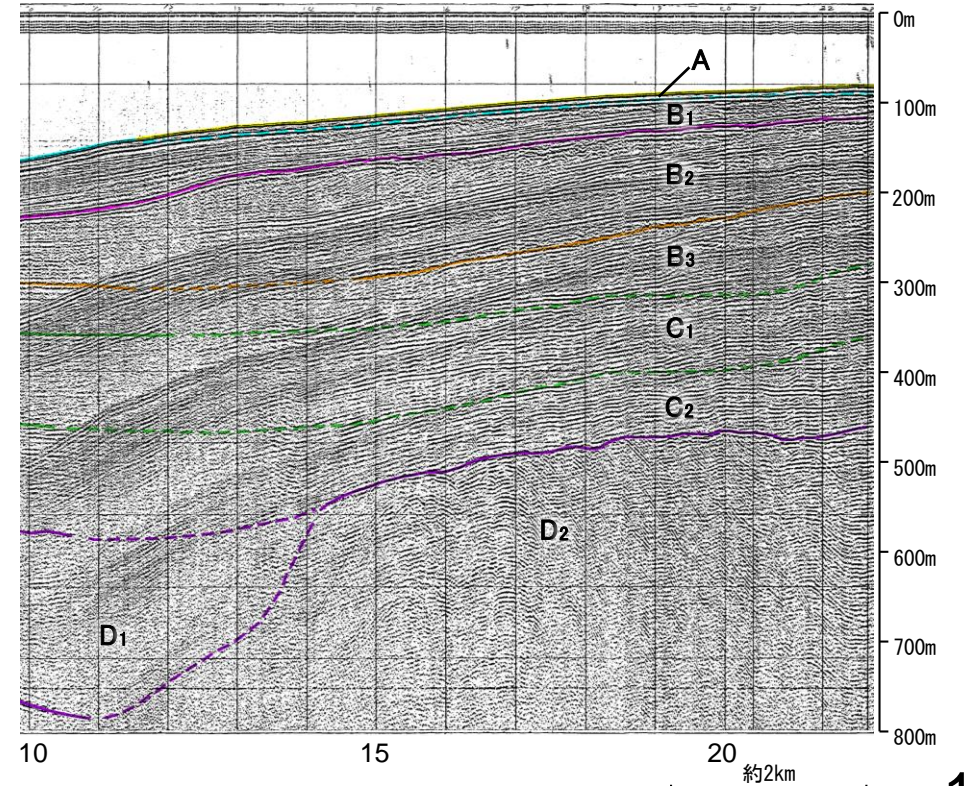
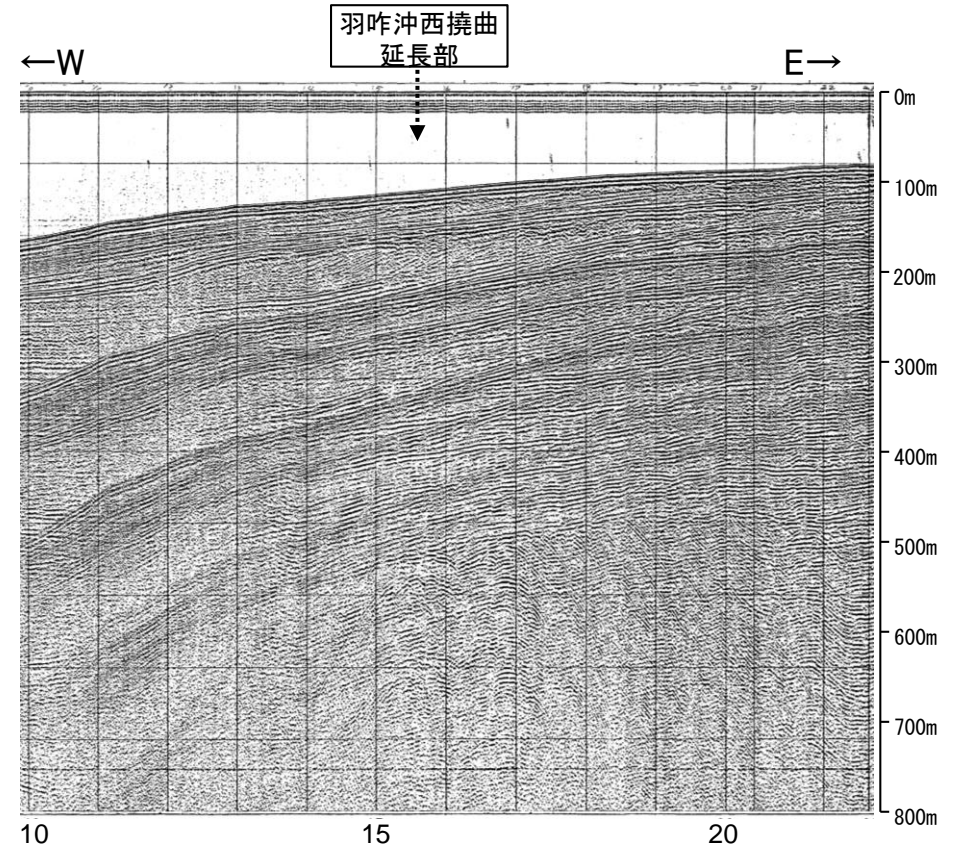
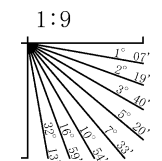


- 凡例
- 対象断層: 撓曲 (curvature), 背斜軸 (anticline axis), 向斜軸 (syncline axis), 小断層群分布域 (small fault zone distribution area)
 - 対象外断層: 伏在断層 (blind fault), 撓曲 (curvature), 連続性のない伏在断層 (discontinuous blind fault), 右図記録範囲 (right figure recording range)

- (測線位置における活動性)
- B₁層以上に変位、変形が認められる (displacement/deformation recognized above B₁ layer)
 - B₁層以上に変位、変形の可能性が否定できない (displacement/deformation possibility cannot be denied above B₁ layer)
- 調査測線 (北陸電力: スパークー・シングルチャンネル・約2450ジュール)
- No. 9-S
 - No. 8U
 - No. 11B
 - K17
 - L102
 - N1-06BM
 - N1-06MS
 - N-118
 - 14
 - H73-1
 - SJ1407

枠囲みの内容は機密事項に属しますので公開できません。

地質時代	地層名	
	第四紀	完新世
更新世	後期	B ₁ 層
	中期	B ₂ 層
	前期	B ₃ 層
第三紀	鮮新世	C ₁ 層
	中新世	C ₂ 層
古第三紀	D層	D ₁ 層
		D ₂ 層
先第三紀		

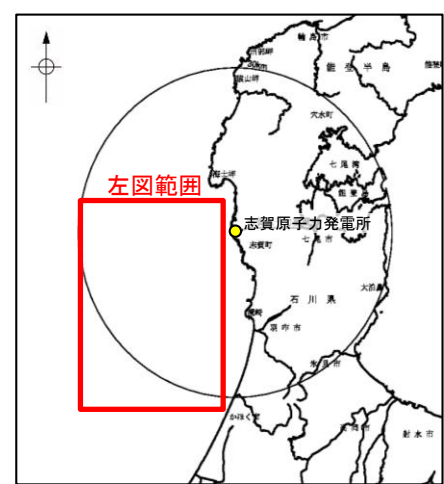


2.6.4 (4) 羽咋沖西撓曲の端部 —南端調査 No.14-1測線—

○補No.4(800)測線のさらに南方延長にあたるNo.14-1測線において、いずれの地層にも断層等を示唆するような変位、変形は認められない。



位置図

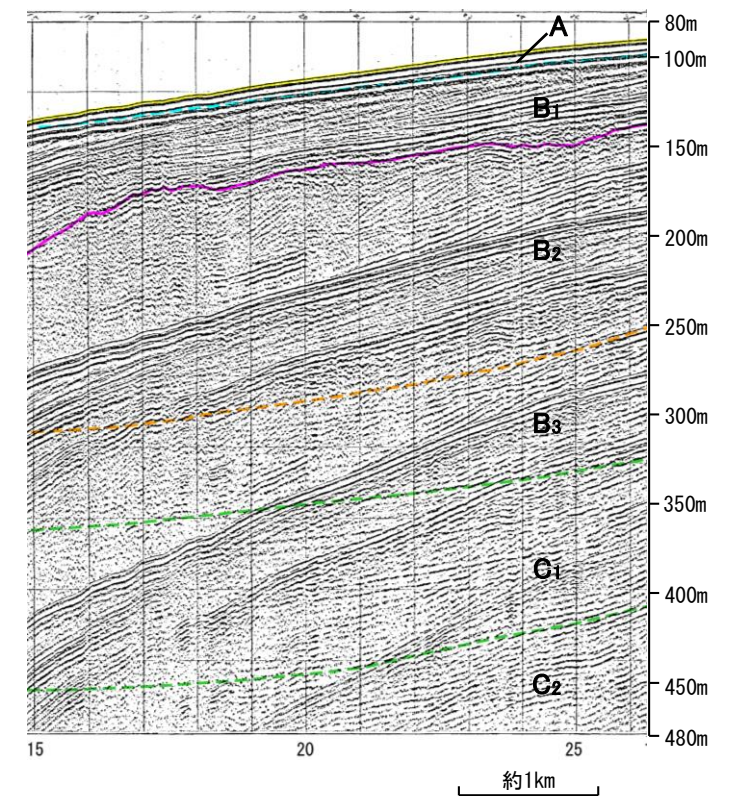
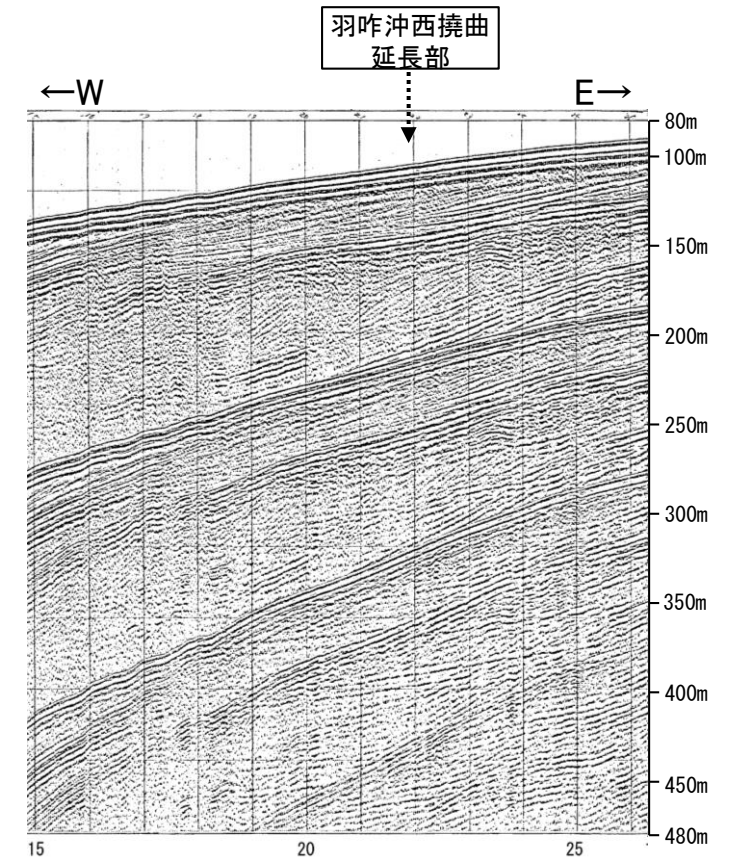
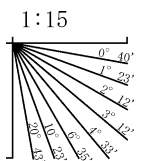


- 凡 例
- 対象断層: 撓曲 (Syncline), 背斜軸 (Anticline axis), 向斜軸 (Syncline axis)
 - 対象外断層: 伏在断層 (Thrust fault), 撓曲 (Syncline), 連続性のない伏在断層 (Discontinuous thrust fault)
 - 小断層群分布域 (Small fault group distribution area)
 - 右図記録範囲 (Right figure recording area)

(測線位置における活動性)
 B₁層以上に変位、変形が認められる
 B₂層以上に変位、変形の可能性が否定できない

- No. 8: 調査測線 (北陸電力: スパーカー・シングルチャンネル・約2450ジュール)
- No. 9-S: 調査測線 (北陸電力: スパーカー・シングルチャンネル・約360ジュール)
- No. 8U, No. 11B: 調査測線 (北陸電力: プーマー・マルチチャンネル・約200ジュール)
- K17: 調査測線 (東京大学地震研究所: プーマー・マルチチャンネル)
- L102: 調査測線 (産業技術総合研究所: プーマー・マルチチャンネル)
- NI-06BM: 調査測線 (原子力安全・保安院: プーマー・マルチチャンネル)
- NI-06MS: 調査測線 (原子力安全・保安院: ウォーターガン・マルチチャンネル)
- N-118: 調査測線 (地質調査所: エアガン・シングルチャンネル)
- 14: 調査測線 (文部科学省研究開発局・国立大学法人東京大学地震研究所: エアガン・マルチチャンネル)
- H73-1: 調査測線 (エアガン・マルチチャンネル)
- SJ1407: 調査測線 (海洋研究開発機構: エアガン・マルチチャンネル)

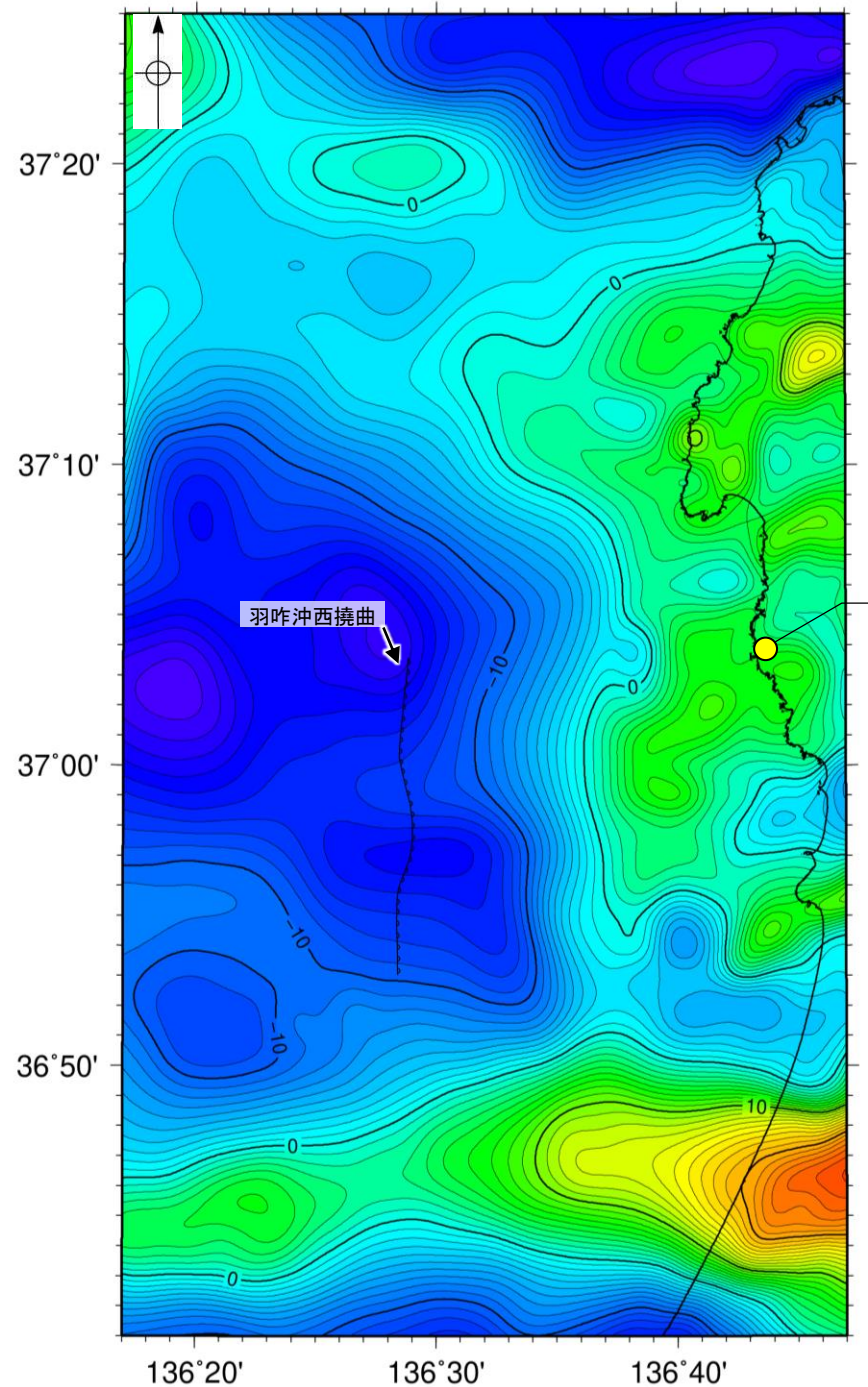
地質時代		地層名	
第四紀	完新世	A層	
	更新世	後期	B ₁ 層
		中期	B ₂ 層
		前期	B ₃ 層
	鮮新世	C層	C ₁ 層
新第三紀	中新世	C ₂ 層	
	古第三紀	D層	D ₁ 層
先第三紀		D ₂ 層	



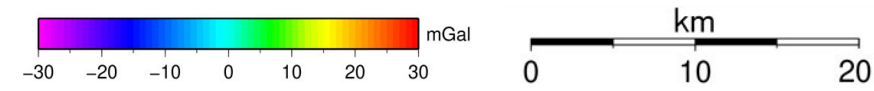
枠囲みの内容は機密事項に属しますので公開できません。

2.6.4 (5) 羽咋沖西撓曲周辺の重力異常

- 羽咋沖西撓曲の深部構造を確認するため、ブーゲー異常図、水平一次微分図を作成した。
- ブーゲー異常図及び水平一次微分図によれば、羽咋沖西撓曲に対応するN-S方向の重力異常急変部は認められない。



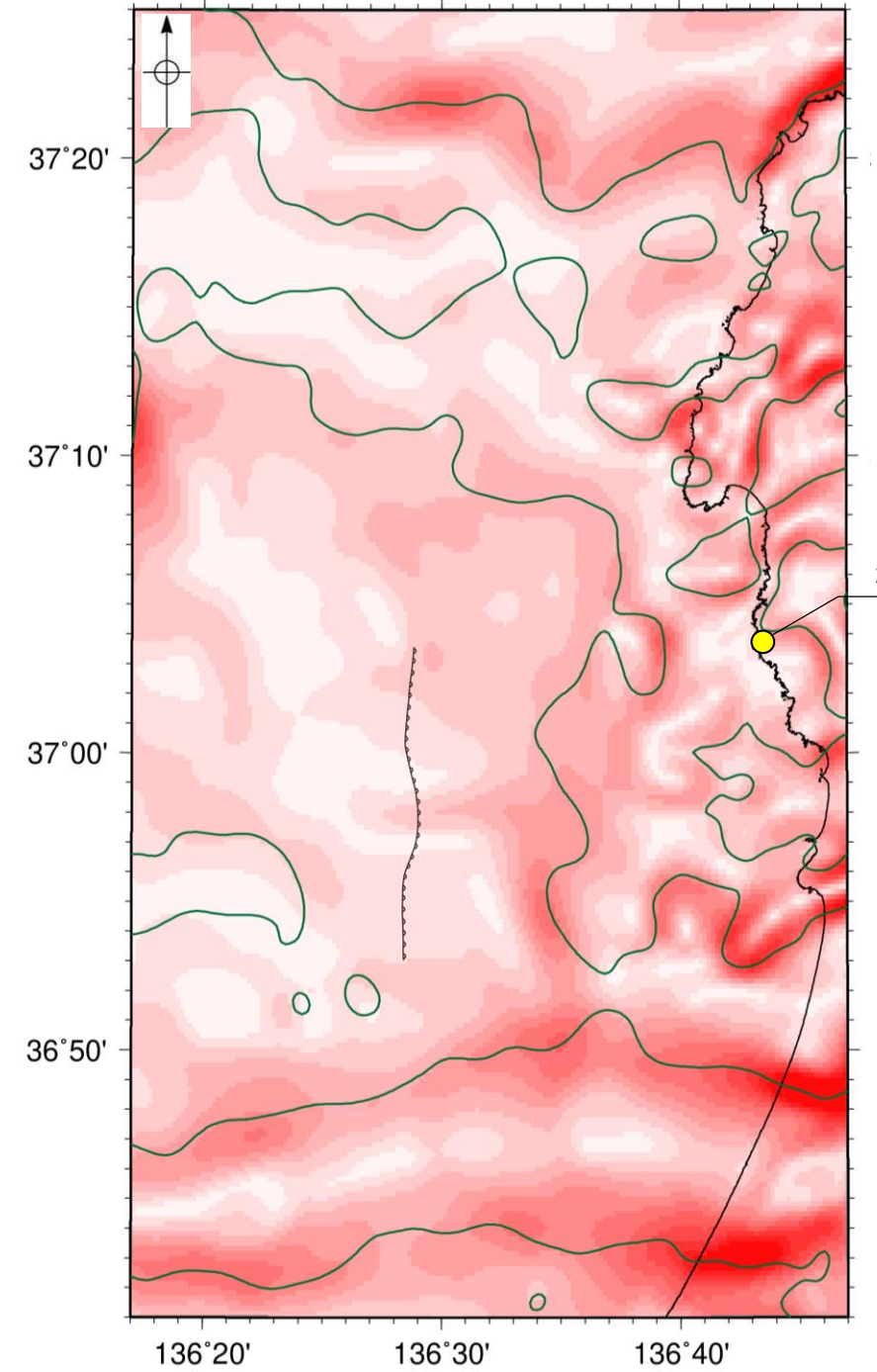
・右図は、陸域は本多ほか(2012), 国土地理院(2006), The Gravity Research Group in Southwest Japan (2001), Yamamoto et al. (2011), Hiramatsu et al. (2019), 海域は産業技術総合研究所地質調査総合センター(2013), 石田ほか(2018)を用いて, 金沢大学・当社が作成した。



仮定密度: 2,300kg/m³ コンター間隔: 1mGal () 断層 (伏在断層) 撓曲

ブーゲー異常図

・ブーゲー異常図は、対象とする断層の規模、調査密度を考慮し、平面トレンド成分の除去及び遮断波長4kmのローパスフィルター処理を行っている。



鉛直一次微分値が0mGal/kmの等値線 () 断層 (伏在断層) 撓曲

水平一次微分図

・水平一次微分図は、左のフィルター処理後のブーゲー異常図を基に作成した。

2.6.5 前ノ瀬東方断層帯

2.6.5(1) 前ノ瀬東方断層帯の評価結果

【文献調査】(P.143)

- 井上ほか(2007)は、前ノ瀬東方断層帯に対応する位置に断層、褶曲を図示し、長さ約10km以下で、多くが南東傾斜の逆断層とその上盤の非対称な背斜構造からなり、完新世以降の活動は判断できないが、少なくとも更新世には活動した可能性が高いとしている。
- 国交省ほか(2014)は、前ノ瀬東方断層帯に対応する位置に、断層トレースを図示しているが、断層モデルとして設定していない。
- 文科省ほか(2015)は、前ノ瀬東方断層帯に対応する位置に、震源断層モデルを設定していない。

【活動性評価】

○前ノ瀬東方断層帯は、前ノ瀬東方小隆起帯の北西縁及びその周辺の海域に分布する密集した短い断層、雁行または斜交する断層群から構成され、その中でも前ノ瀬東方小隆起帯の北西縁周辺に比較的規模の大きな断層が位置している(P.144)。

○海上音波探査の結果、認められた断層群は、走向は概ねNE-SW方向で、そのほとんどが北西落ちであり、B₁層以上に変位、変形が認められる区間と認められない区間が存在する(P.145~150)。

→B₁層以上に変位、変形が認められる区間が断続的に存在している。

→前ノ瀬東方断層帯は、文献調査の結果、井上ほか(2007)から南東傾斜の逆断層と推定され、海上音波探査の結果からも、主に北西落ちの変位、変形が認められることから、逆断層と仮定した場合、南東傾斜の逆断層と推定される。また、傾斜角は不明であるが、音波探査記録ではいずれも高角の断層が推定されている。

⇒文献調査及び海上音波探査の結果、前ノ瀬東方断層帯は、走向がNE-SW方向、南東傾斜(高角)の逆断層と推定され、後期更新世以降の活動が否定できないと評価。

【長さの評価】

■北東端(P.151, 152)

【海上音波探査】

○L4測線及びL3測線において、いずれの地層にも断層等を示唆するような変位、変形は認められない。

→L4測線を北東端と評価。

■南西端(P.153, 154)

【海上音波探査】

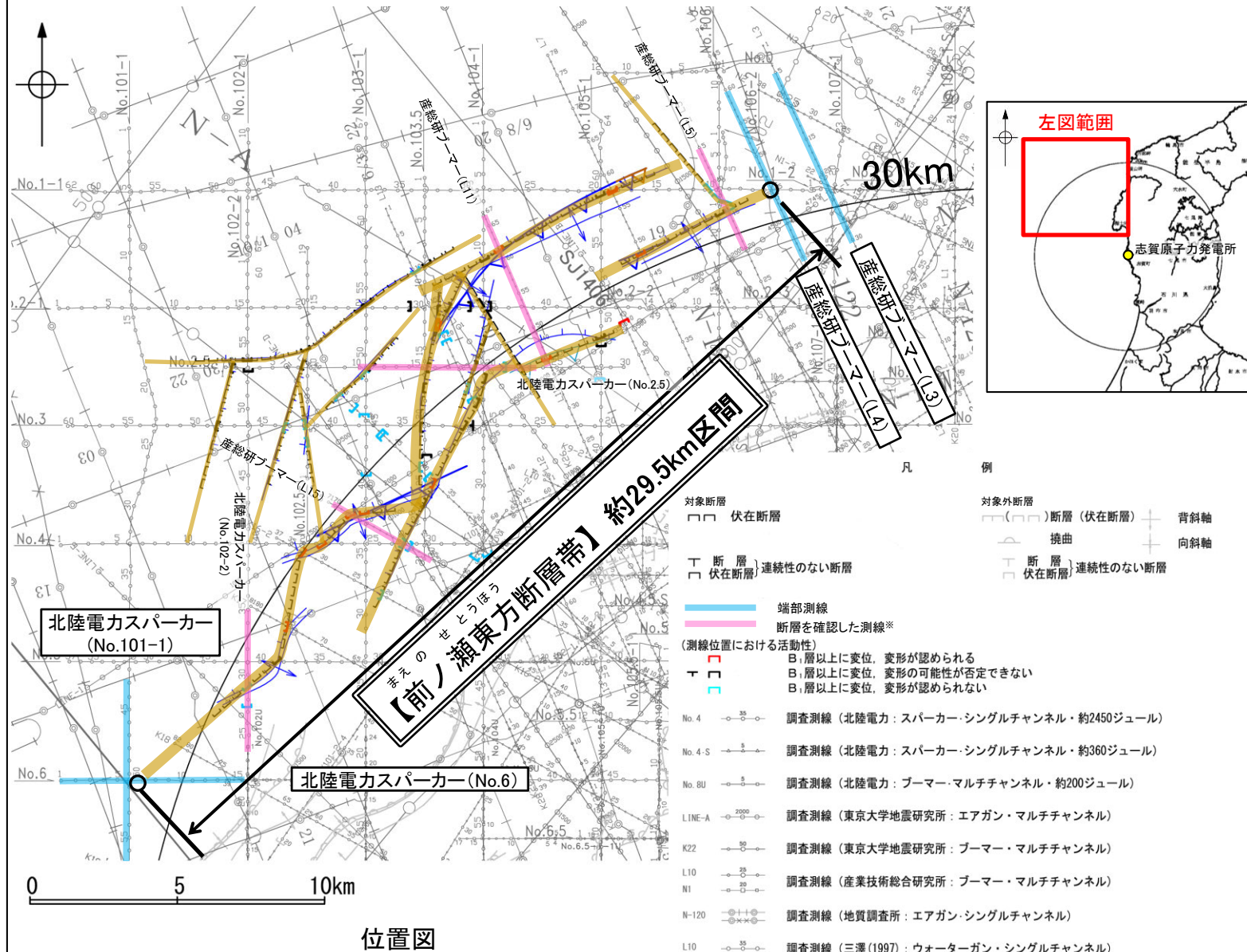
○No.6測線及びNo.101-1測線において、いずれの地層にも断層等を示唆するような変位、変形は認められない。

→No.6測線を南西端と評価。

■重力探査(P.155)

○前ノ瀬東方断層帯の南東部に対応するNE-SW走向の重力異常急変部が認められる。

⇒L4測線(北東端)からNo.6測線(南西端)までの約29.5km区間を評価。



断層位置 (細線は副次的な断層と評価したもの)

断層端点

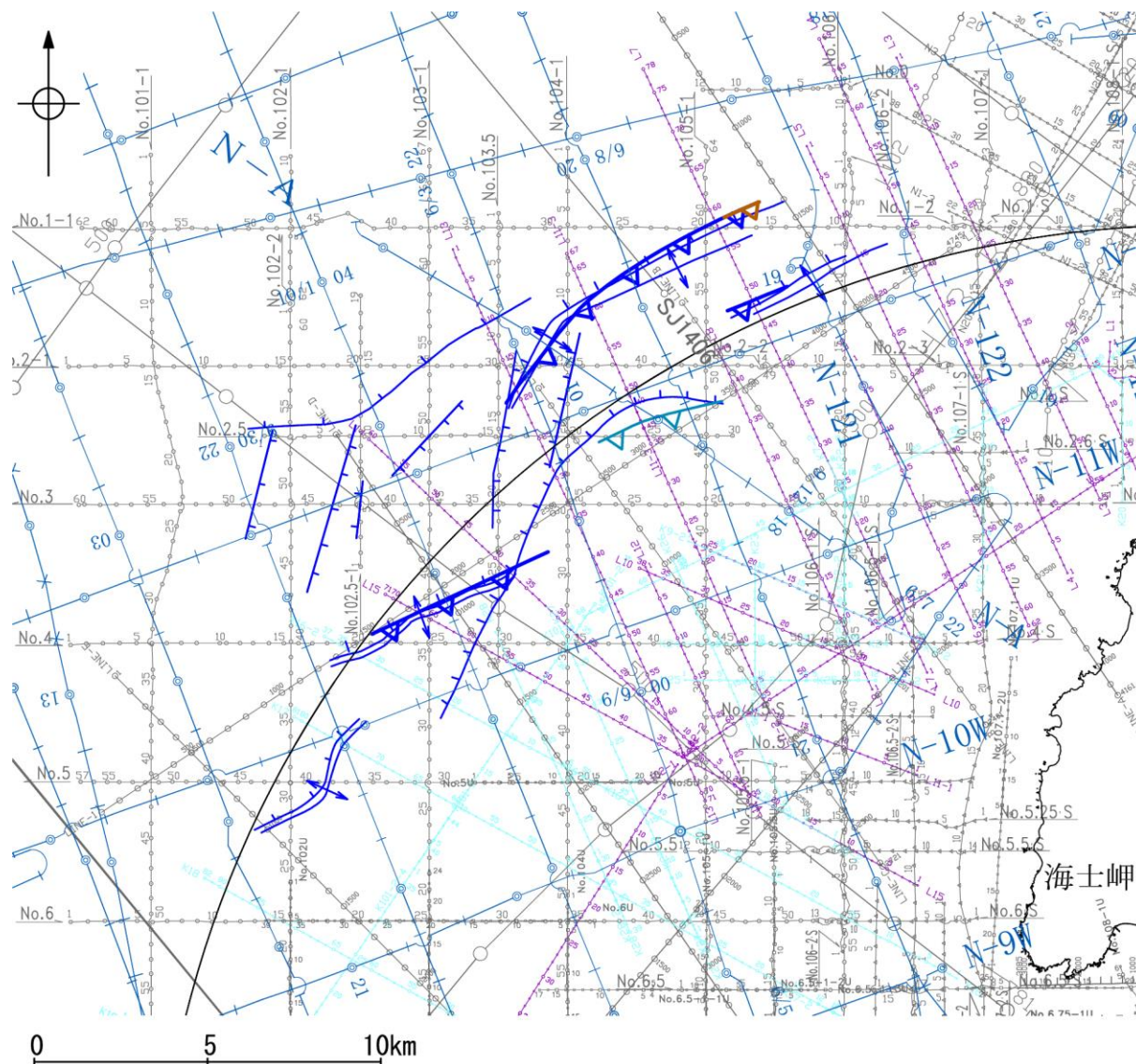
枠囲みの内容は機密事項に属しますので公開できません。

※: 以外の前ノ瀬東方断層帯を確認した音波探査記録はデータ集2

前ノ瀬東方断層帯は後期更新世以降の活動が否定できず、その長さとして約29.5km区間を評価する。

2.6.5(2) 前ノ瀬東方断層帯の文献調査

- 井上ほか(2007)は、2007年能登半島地震の震源域で産業技術総合研究所による調査(調査測線①)、東京大学地震研究所による調査(調査測線②)及び当社が地震前に実施した音波探査記録(調査測線③)等から、前ノ瀬東方断層帯に対応する位置に断層及び褶曲を図示している。長さ約10km以下で、多くが南東傾斜の逆断層とその上盤の非対称な背斜構造からなり、完新世以降の活動は判断できないが、少なくとも更新世には活動した可能性が高いとしている。
- 井上・岡村(2010)及び尾崎ほか(2019)は、産業技術総合研究所(地質調査所)による調査(調査測線④)を基にした岡村(2007a)及び井上ほか(2007)から、前ノ瀬東方断層帯に対応する位置に活逆断層を図示している。
- 国交省ほか(2014)は、前ノ瀬東方断層帯に対応する位置に、断層トレースを図示しているが、断層モデルを設定していない。
- 文科省ほか(2015)は、前ノ瀬東方断層帯に対応する位置に、震源断層モデルを設定していない。



位置図

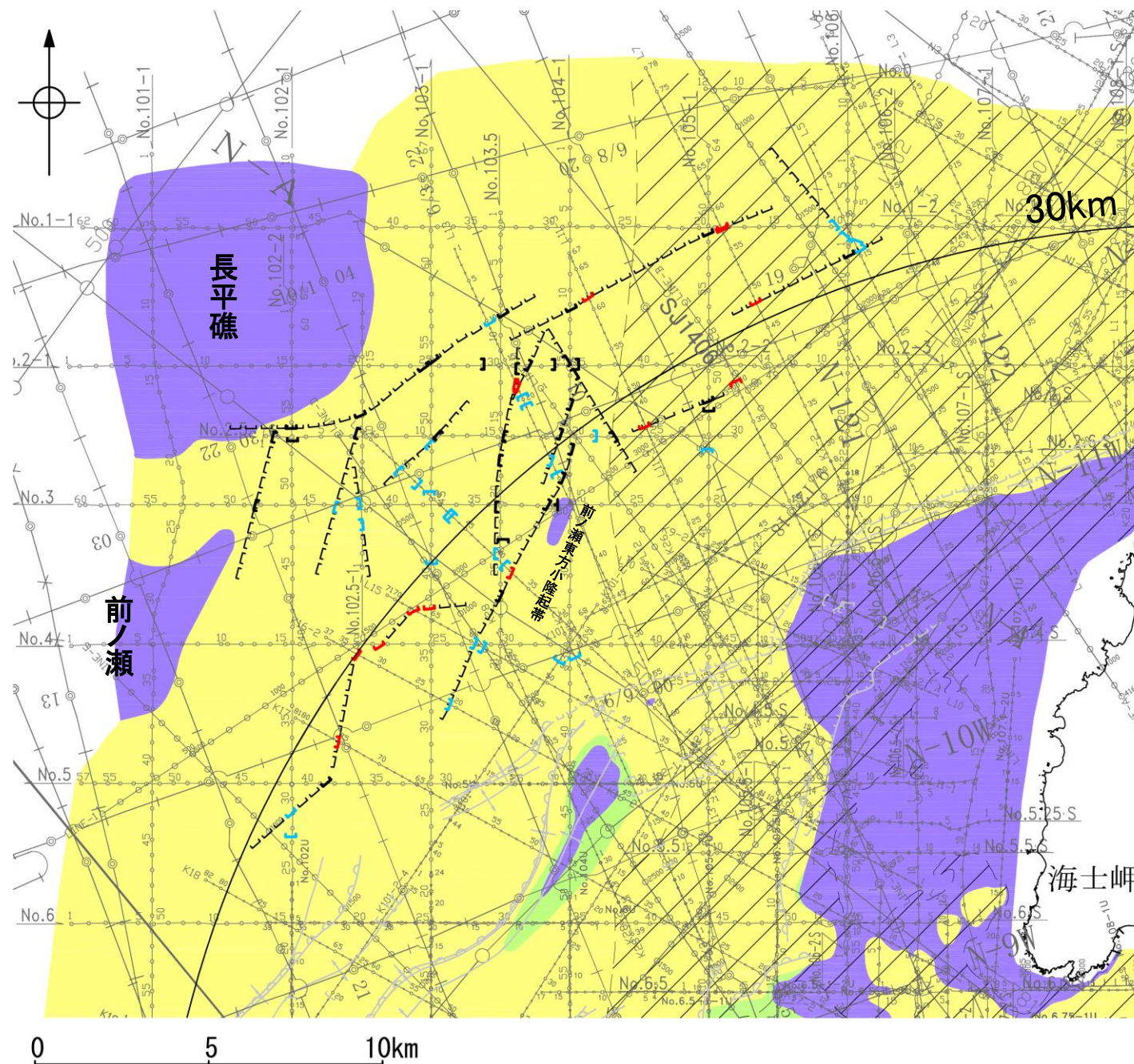


凡 例

No. 4	○—○	調査測線 (北陸電力: スーパーカー・シングルチャンネル・約2450ジュール)	: 調査測線③
No. 4-S	○—○	調査測線 (北陸電力: スーパーカー・シングルチャンネル・約360ジュール)	: 調査測線③
No. BU	○—○	調査測線 (北陸電力: プーマー・マルチチャンネル・約200ジュール)	: 調査測線③
LINE-A	○—○	調査測線 (東京大学地震研究所: エアガン・マルチチャンネル)	
K22	○—○	調査測線 (東京大学地震研究所: プーマー・マルチチャンネル)	: 調査測線②
L10	○—○	調査測線 (産業技術総合研究所: プーマー・マルチチャンネル)	: 調査測線①
N1	○—○	調査測線 (原子力安全・保安院: プーマー・マルチチャンネル)	
N1-02EM	○—○	調査測線 (原子力安全・保安院: プーマー・マルチチャンネル)	
N-120	○—○	調査測線 (地質調査所: エアガン・シングルチャンネル)	: 調査測線④
L10	○—○	調査測線 (三澤(1997): ウォーターガン・シングルチャンネル)	
H73-1	○—○	調査測線 (): エアガン・マルチチャンネル)	
SJ1407	○—○	調査測線 (海洋研究開発機構: エアガン・マルチチャンネル)	
文献による断層・褶曲			枠囲みの内容は機密事項に属しますので公開できません。
	↑	井上他(2007)による背斜軸 (逆断層の伏在を推定)	
	↑	井上他(2007)による断層 (活動時期不明)	
	↑	井上・岡村(2010)による逆断層	
	↑	井上・岡村(2010)による活逆断層	
	↑	尾崎他(2019)による活逆断層	

2.6.5(3) 前ノ瀬東方断層帯の活動性 —前ノ瀬東方断層帯周辺の地質図—

- 前ノ瀬東方断層帯周辺には、北西方にD層の隆起域が認められ(長平礁及び前ノ瀬), さらに南東方に小規模なD層の隆起域が認められる(前ノ瀬東方小隆起帯)。
- 前ノ瀬東方断層帯は、前ノ瀬東方小隆起帯の北西縁及びその周辺の海域に分布する密集した短い断層, 雁行または斜交する断層群から構成され, その中でも前ノ瀬東方小隆起帯の北西縁周辺に比較的規模の大きな断層が位置している。



凡 例

- | | | | |
|------------------|------------------|---|-----|
| □□ 伏在断層 | —(□□)断層 (伏在断層) | + | 背斜軸 |
| └┘ 断層 (連続性のない断層) | —└┘断層 (連続性のない断層) | + | 向斜軸 |
| □ 伏在断層 | —□断層 (連続性のない断層) | | |
-
- | | |
|---|--------------------|
| ▨ | A層 (後期更新世～完新世) 分布域 |
| ■ | B層 (中・後期更新世) |
| ■ | C層 (鮮新世～前期更新世) |
| ■ | D層 (先第三紀～鮮新世) |
-
- (測線位置における活動性)
- B層以上に変位, 変形が認められる
 - B層以上に変位, 変形の可能性が否定できない
 - B層以上に変位, 変形が認められない
- | | | |
|---------|---|---------------------------------------|
| No. 4 | — | 調査測線 (北陸電力: スーパー・シングルチャンネル・約2450ジュール) |
| No. 4-S | — | 調査測線 (北陸電力: スーパー・シングルチャンネル・約360ジュール) |
| No. 8U | — | 調査測線 (北陸電力: プーマー・マルチチャンネル・約200ジュール) |
| LINE-A | — | 調査測線 (東京大学地震研究所: エアガン・マルチチャンネル) |
| K22 | — | 調査測線 (東京大学地震研究所: プーマー・マルチチャンネル) |
| L10 | — | 調査測線 (産業技術総合研究所: プーマー・マルチチャンネル) |
| N1 | — | 調査測線 (産業技術総合研究所: プーマー・マルチチャンネル) |
| N1-02BM | — | 調査測線 (原子力安全・保安院: プーマー・マルチチャンネル) |
| N-120 | — | 調査測線 (地質調査所: エアガン・シングルチャンネル) |
| L10 | — | 調査測線 (三澤(1997): ウォーターガン・シングルチャンネル) |
| H73-1 | — | 調査測線 (エアガン・マルチチャンネル) |
| SJ1407 | — | 調査測線 (海洋研究開発機構: エアガン・マルチチャンネル) |

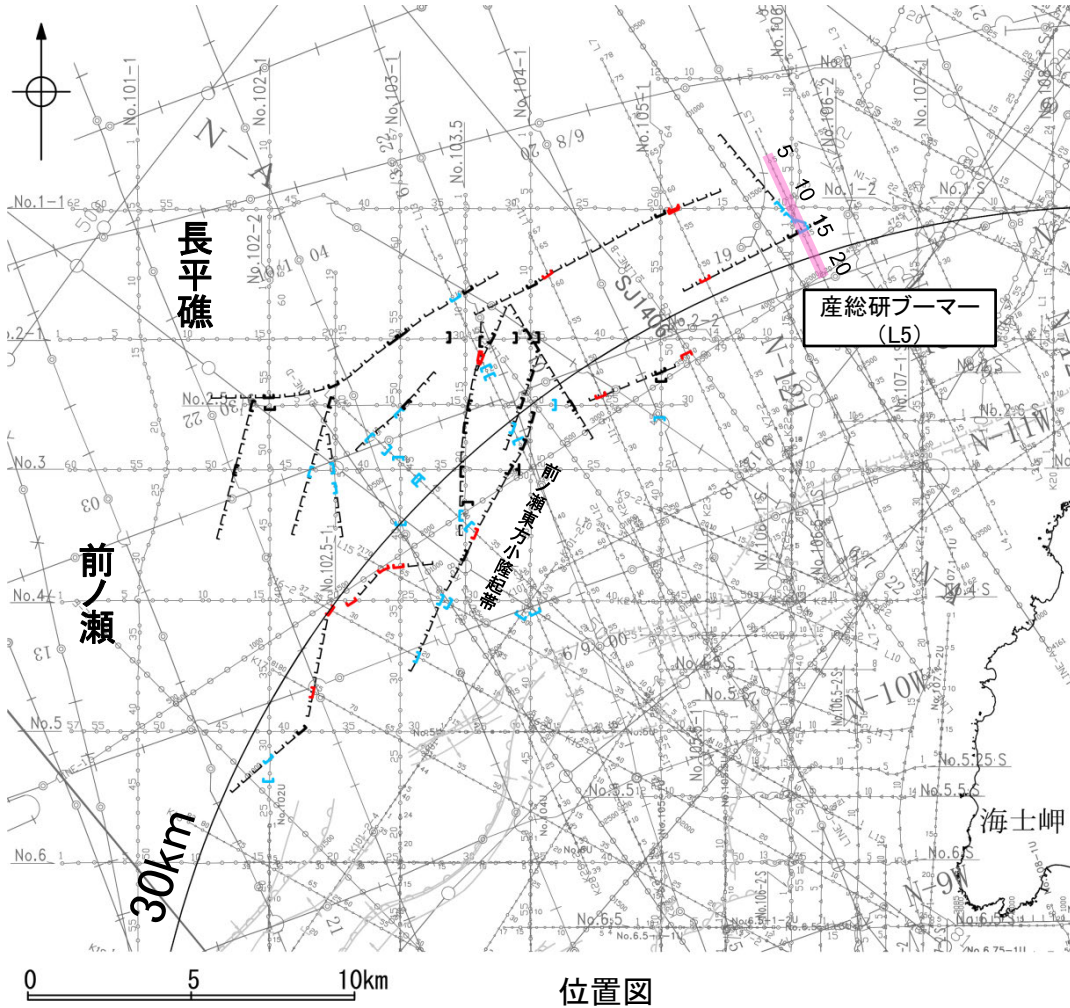
枠囲みの内容は機密事項に属しますので公開できません。

前ノ瀬東方断層帯周辺の地質図

2.6.5(3) 前ノ瀬東方断層帯の活動性 —L5測線—

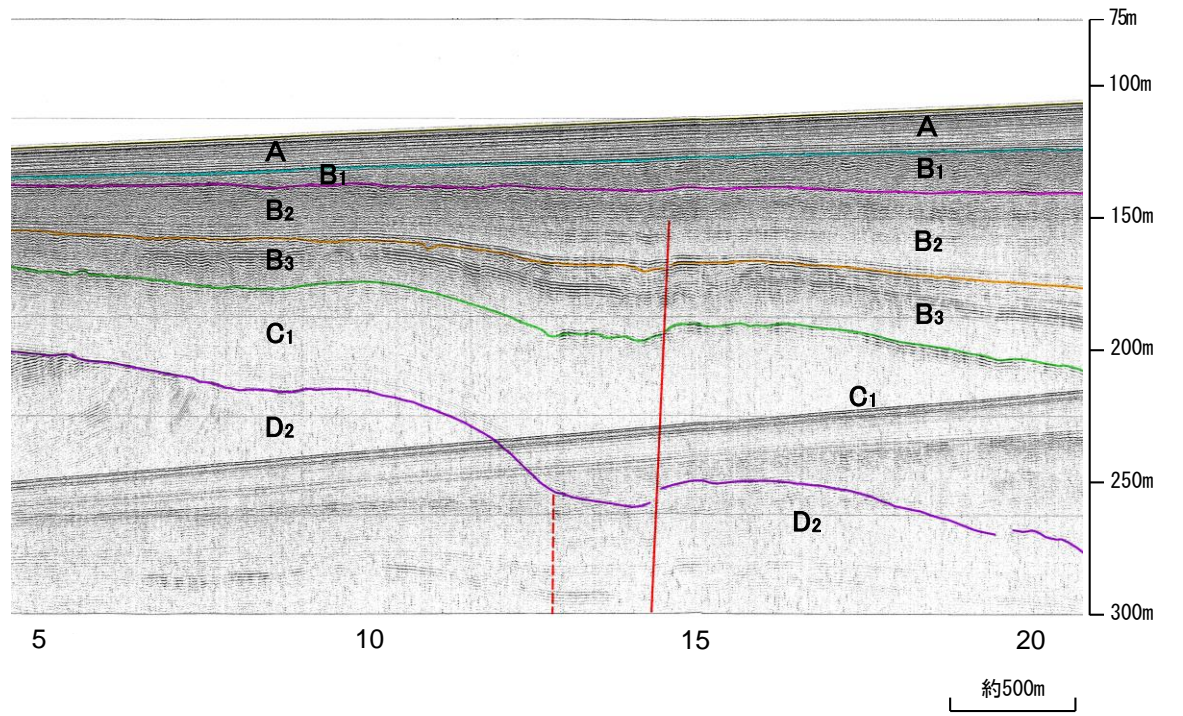
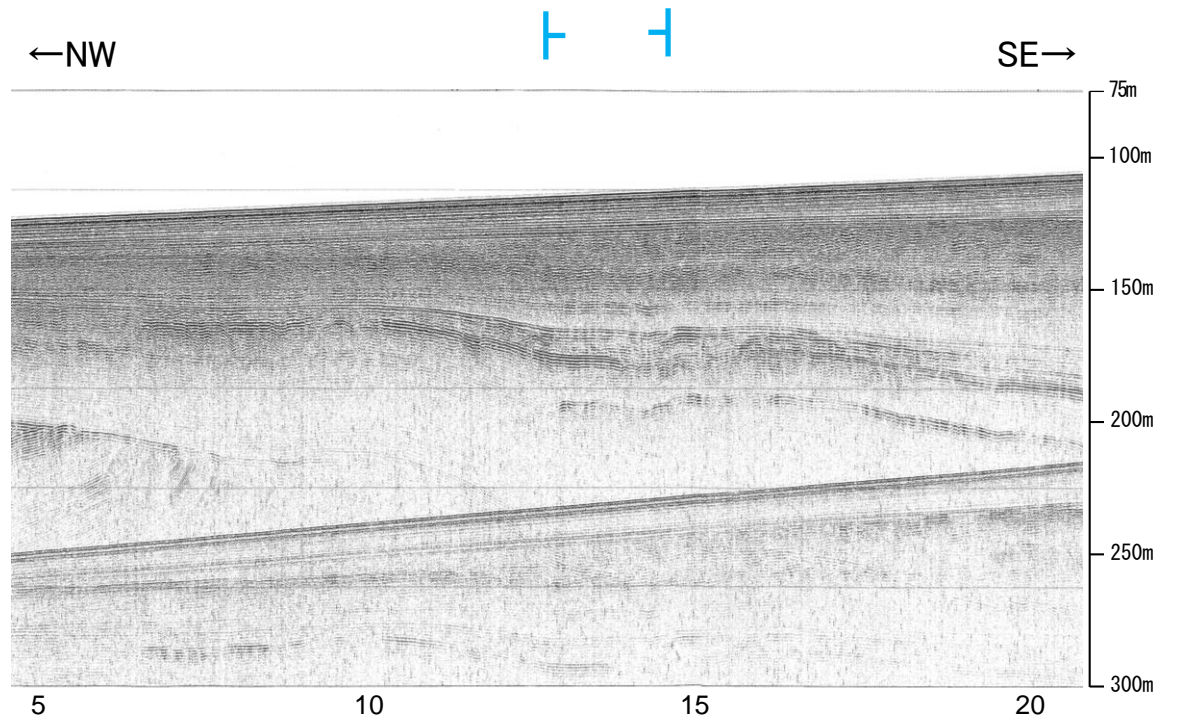
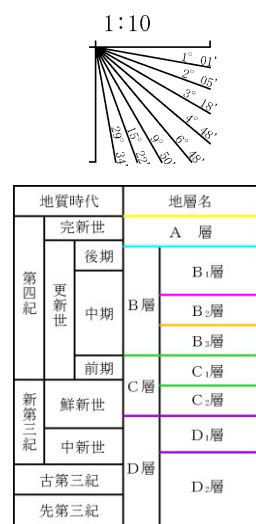
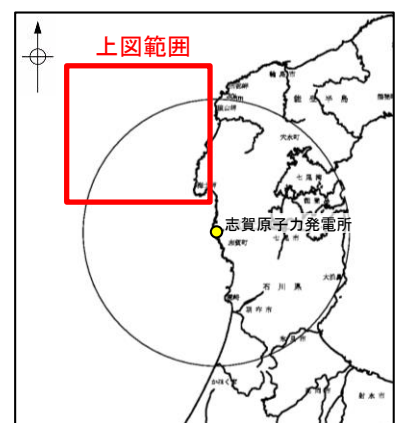
○L5測線において、測点15付近でB₂層下部、B₃層、C₁層及びD₂層に北西落ちの変位が認められることから断層を推定した。変位、変形はA層、B₁層及びB₂層上部に及んでいないことから、B₁層以上に変位、変形が認められないと判断した。

○また、測点13付近でB₂層下部、B₃層及びC₁層に南東落ちの変形が認められ、D₂層に南東落ちの変位が推定されることから断層を推定した。変位、変形はA層、B₁層及びB₂層上部に及んでいないことから、B₁層以上に変位、変形が認められないと判断した。



位置図

- 凡例
- 対象断層
 - 伏在断層
 - ┄ 断層(連続性のない断層)
 - ┄ 断層(連続性のない断層)
 - 対象外断層
 - ┄ (断層)断層(伏在断層)
 - ┄ 断層(連続性のない断層)
 - ┄ 断層(連続性のない断層)
 - 背斜軸
 - 向斜軸
 - 拗曲
 - 右図記録範囲
- (測線位置における活動性)
- ┄ B₁層以上に変位、変形が認められる
 - ┄ B₁層以上に変位、変形の可能性が否定できない
 - ┄ B₁層以上に変位、変形が認められない
- No. 4 調査測線 (北陸電力: スーパーカー・シングルチャンネル・約2450ジュール)
 - No. 4-S 調査測線 (北陸電力: スーパーカー・シングルチャンネル・約360ジュール)
 - No. 8U 調査測線 (北陸電力: プーマー・マルチチャンネル・約200ジュール)
 - LINE-A 調査測線 (東京大学地震研究所: エアガン・マルチチャンネル)
 - K22 調査測線 (東京大学地震研究所: プーマー・マルチチャンネル)
 - L10 調査測線 (産業技術総合研究所: プーマー・マルチチャンネル)
 - NI 調査測線 (産業技術総合研究所: プーマー・マルチチャンネル)
 - NI-028M 調査測線 (原子力安全・保安院: プーマー・マルチチャンネル)
 - N-120 調査測線 (地質調査所: エアガン・シングルチャンネル)
 - L10 調査測線 (三澤(1997): ウォーターガン・シングルチャンネル)
 - H73-1 調査測線 (エアガン・マルチチャンネル)
 - SJ407 調査測線 (海洋研究開発機構: エアガン・マルチチャンネル)



・この図面は、産業技術総合研究所の海上音波探査の記録を北陸電力が独自に解析・作成したものである

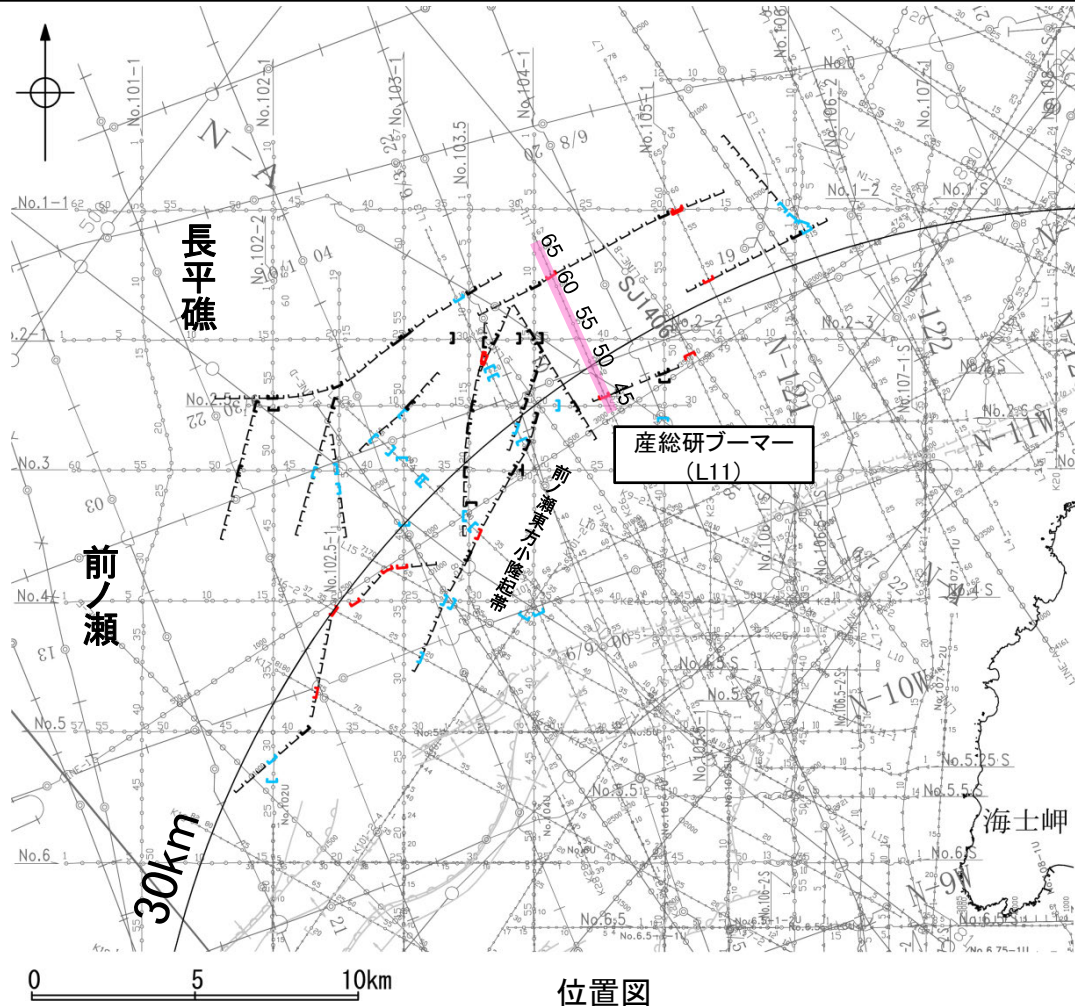
断層(破線は推定)

枠囲みの内容は機密事項に属しますので公開できません。

2.6.5(3) 前ノ瀬東方断層帯の活動性 -L11測線-

○L11測線において、測点45付近でB₁層及びB₂層に北西落ちの変形が、B₃層、C₁層及びD₂層に北西落ちの変位が認められることから断層を推定した。A層は層厚が薄く、内部構造を確認できないが、変位、変形はB₁層まで及んでいることから、B₁層以上に変位、変形が認められると判断した。

○また、測点61付近でB₁層下部に北西落ちの変形及びB₂層、B₃層、C₁層、C₂層及びD₂層に北西落ちの変位が認められることから断層を推定した。A層は層厚が薄く、内部構造が確認できず、変位、変形はB₁層上部に及んでいないが、B₁層下部に及んでいることから、B₁層以上に変位、変形が認められると判断した。



位置図

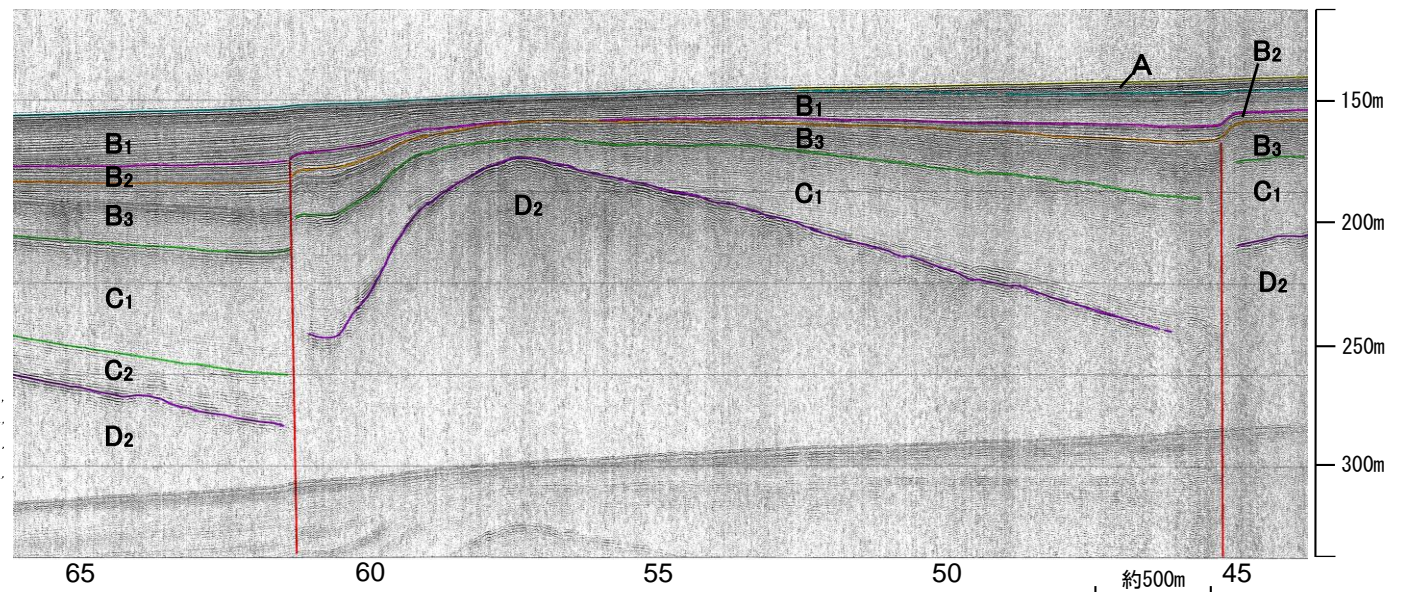
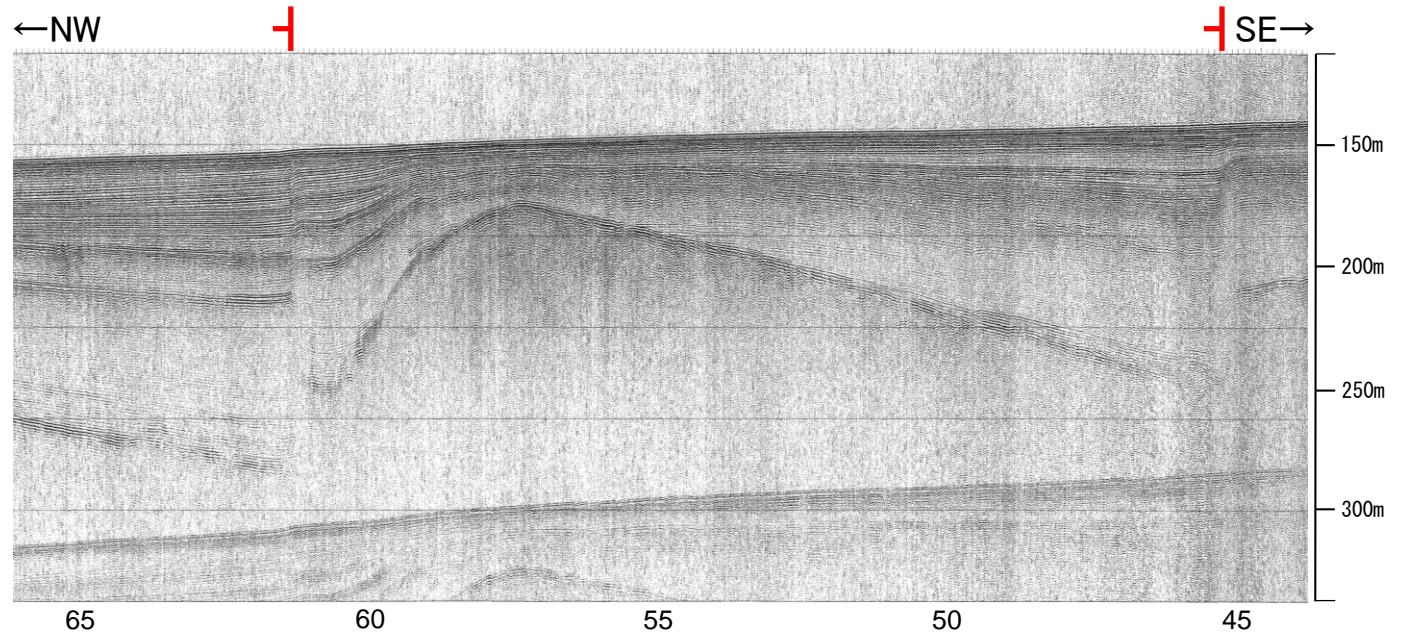
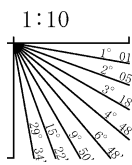
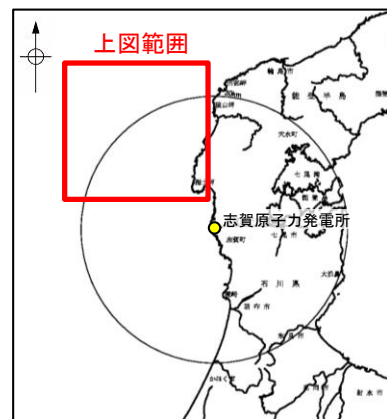
- 凡例
- 対象断層
 - □ 伏在断層
 - 断層 (伏在断層)
 - 断層 (連続性のない断層)
 - 断層 (連続性のない断層)
 - 対象外断層
 - □ 断層 (伏在断層)
 - 断層 (連続性のない断層)
 - 断層 (連続性のない断層)
 - 背斜軸
 - 向斜軸
 - 拗曲
 - 右図記録範囲

(測線位置における活動性)

- B₁層以上に変位、変形が認められる
- B₁層以上に変位、変形の可能性が否定できない
- B₁層以上に変位、変形が認められない

枠囲みの内容は機密事項に属しますので公開できません。

- No. 4 調査測線 (北陸電力: スーパーカー・シングルチャンネル・約2450ジュール)
- No. 4-S 調査測線 (北陸電力: スーパーカー・シングルチャンネル・約360ジュール)
- No. 8U 調査測線 (北陸電力: ブーマー・マルチチャンネル・約200ジュール)
- LINE-A 調査測線 (東京大学地震研究所: エアガン・マルチチャンネル)
- K22 調査測線 (東京大学地震研究所: ブーマー・マルチチャンネル)
- L10 調査測線 (産業技術総合研究所: ブーマー・マルチチャンネル)
- NI 調査測線 (原子力安全・保安院: ブーマー・マルチチャンネル)
- NI-028M 調査測線 (原子力安全・保安院: ブーマー・マルチチャンネル)
- N-120 調査測線 (地質調査所: エアガン・シングルチャンネル)
- L10 調査測線 (三澤 (1997): ウォーターガン・シングルチャンネル)
- H73-1 調査測線 (エアガン・マルチチャンネル)
- SJ407 調査測線 (海洋研究開発機構: エアガン・マルチチャンネル)



・この図面は、産業技術総合研究所の海上音波探査の記録を北陸電力が独自に解析・作成したものである

地質時代	地層名		
第四紀	完新世	A層	
	更新世	後期	B ₁ 層
		中期	B ₂ 層
		前期	B ₃ 層
新第三紀	鮮新世	C ₁ 層	
	中新世	C ₂ 層	
古第三紀	D層	D ₁ 層	
		D ₂ 層	
先第三紀			

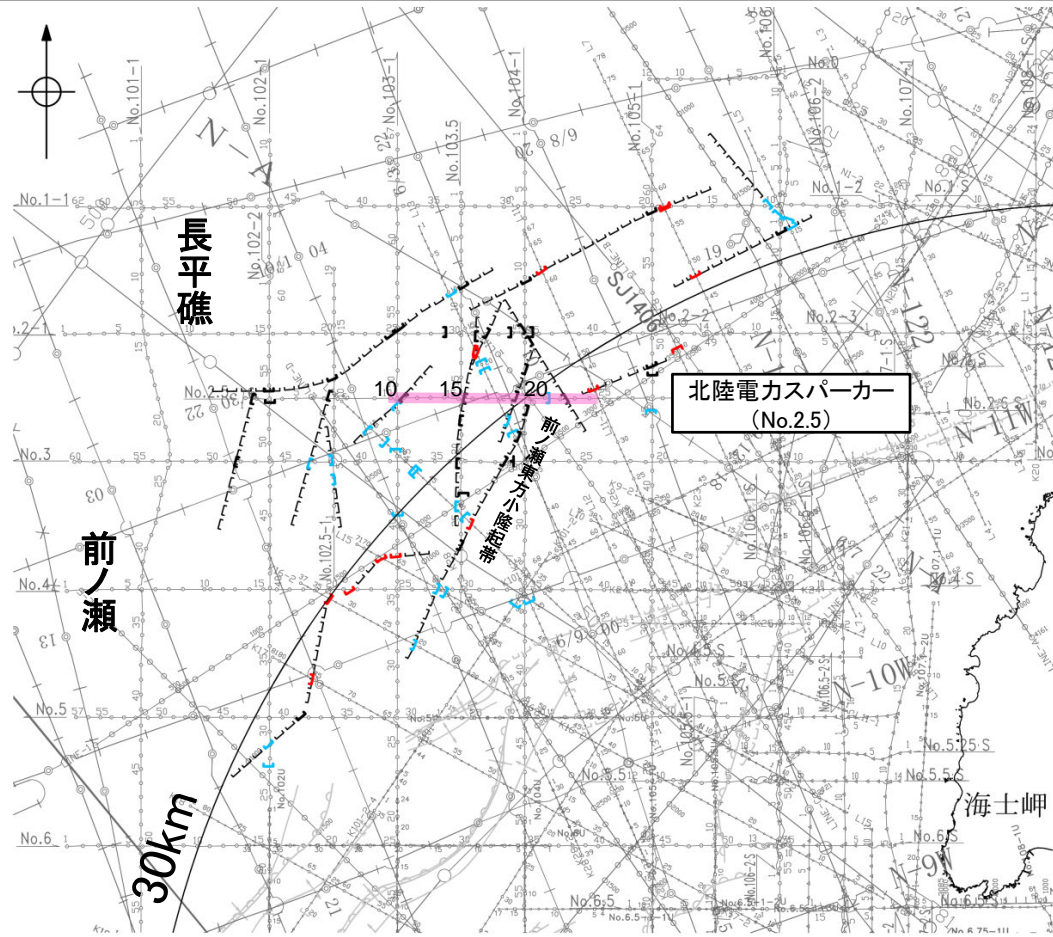
断層

2.6.5(3) 前ノ瀬東方断層帯の活動性 —No.2.5測線—

○No.2.5測線において、測点22付近及び測点19付近でB₁層基底、B₃層、C₁層、C₂層、D₁層及びD₂層に西落ちの変位、変形が認められることから断層を推定した。いずれもB₁層内部が不明瞭であり、内部構造を確認できないことから、B₁層以上に変位、変形の可能性が否定できないと判断した。

○また、測点15付近でB₁層基底、B₃層、C₁層、C₂層、D₁層及びD₂層に東落ちの変位、変形が認められ、測点11付近でC₁層、C₂層、D₁層及びD₂層に東落ちの変位、変形が推定されることから、断層を推定した。いずれもB₁層内部が不明瞭であり、内部構造を確認できないことから、B₁層以上に変位、変形の可能性が否定できないと判断した。

○さらに、測点21付近でD₁層及びD₂層に西落ちの変位が認められることから断層を推定した。変位、変形はB₁層、B₃層、C₁層及びC₂層に及んでいないことから、B₁層以上に変位、変形が認められないと判断した。



位置図

- 対象断層
- 伏在断層
 - 断層連続性のない断層
 - 右図記録範囲
- 対象外断層
- 伏在断層
 - 断層連続性のない断層
- 背斜軸
- 向斜軸

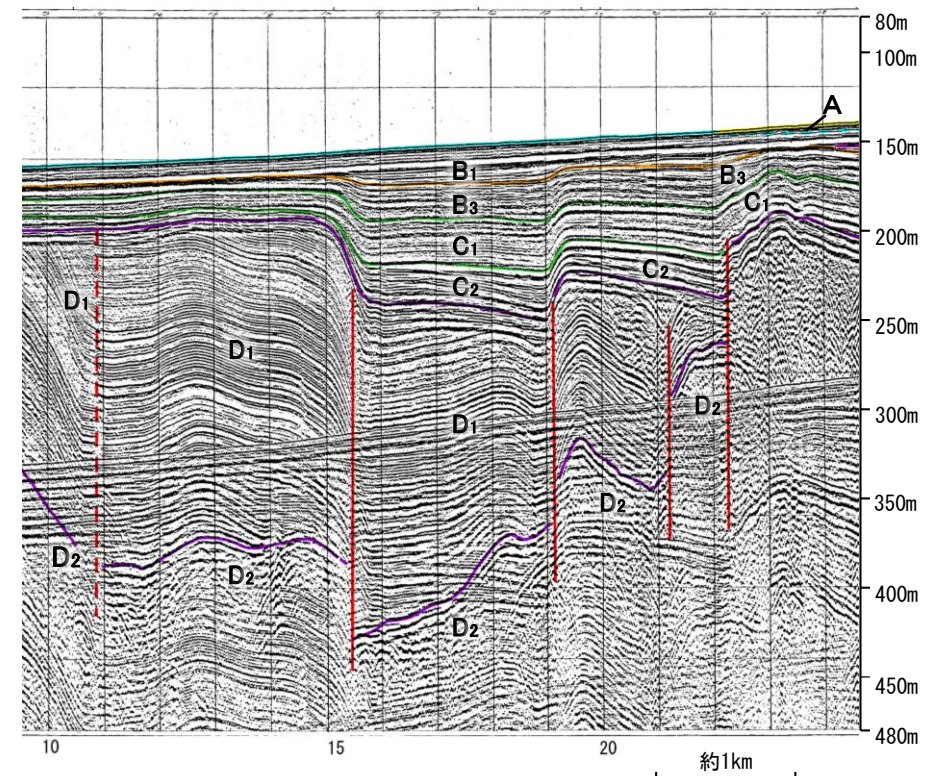
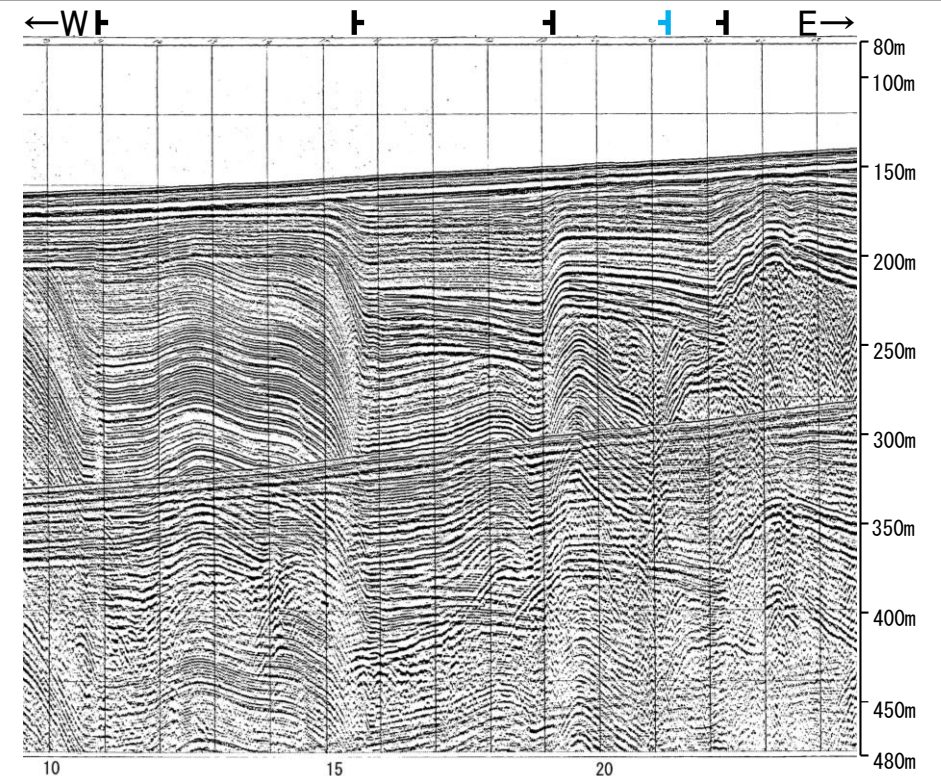
- (測線位置における活動性)
- 西落ちの変位、変形が認められる
 - 東落ちの変位、変形が認められる
 - 変位の可能性が否定できない
 - 変形が認められない
- No. 4 調査測線 (北陸電力: スパークー・シングルチャンネル・約2450ジュール)
 - No. 4.S 調査測線 (北陸電力: スパークー・シングルチャンネル・約360ジュール)
 - No. BU 調査測線 (北陸電力: ブーマー・マルチチャンネル・約200ジュール)
 - LINE-A 調査測線 (東京大学地震研究所: エアガン・マルチチャンネル)
 - K22 調査測線 (東京大学地震研究所: ブーマー・マルチチャンネル)
 - L10 調査測線 (産業技術総合研究所: ブーマー・マルチチャンネル)
 - NI-020W 調査測線 (原子力安全・保安院: ブーマー・マルチチャンネル)
 - N-120 調査測線 (地質調査所: エアガン・シングルチャンネル)
 - L10 調査測線 (三澤(1997): ウォーターガン・シングルチャンネル)
 - HT3-1 調査測線 (エアガン・マルチチャンネル)
 - SJ407 調査測線 (海洋研究開発機構: エアガン・マルチチャンネル)



枠囲みの内容は機密事項に属しますので公開できません。

地質時代		地層名	
第四紀	完新世	A層	
	更新世	後期	B ₁ 層
		中期	B ₂ 層
		前期	B ₃ 層
第三紀	鮮新世	C層	
	中新世	D層	
		D ₁ 層	
	古第三紀	D ₂ 層	
先第三紀	D ₂ 層		

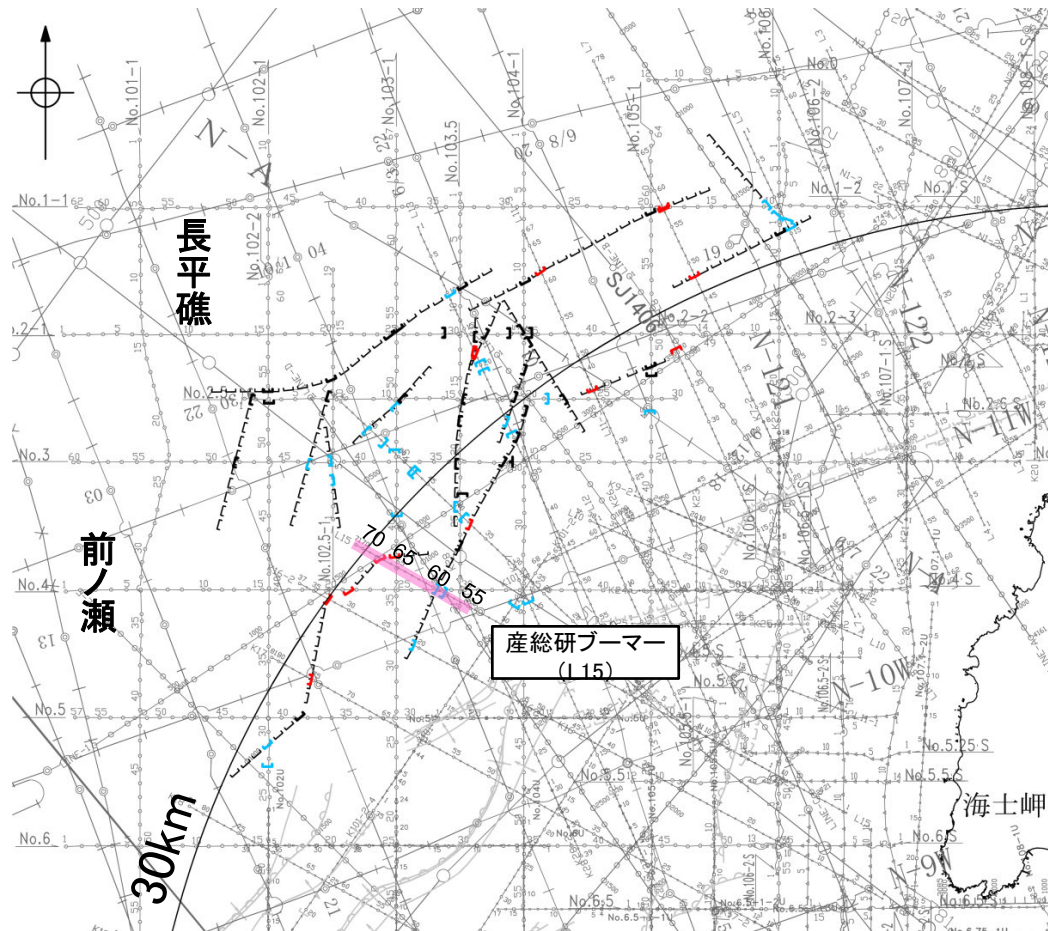
断層(破線は推定)



2.6.5(3) 前ノ瀬東方断層帯の活動性 -L15測線-

○L15測線において、測点58付近でB₂層、B₃層及びC₁層に北西落ちの変形が、C₂層及びD₁層に北西落ちの変位が認められ、測点60付近でB₂層及びB₃層に北西落ちの変形が、C₁層、C₂層及びD₁層に北西落ちの変位が認められることから断層を推定した。いずれも変位、変形はB₁層に及んでいないことから、B₁層以上に変位、変形が認められないと判断した。

○また、測点67付近でB₁層下部に北西落ちの変形が認められ、B₂層、B₃層、C₁層、C₂層及びD₂層に北西落ちの変位が認められることから断層を推定した。変位、変形はB₁層上部に及んでいないが、B₁層下部まで及んでいることから、B₁層以上に変位、変形が認められると判断した。



位置図

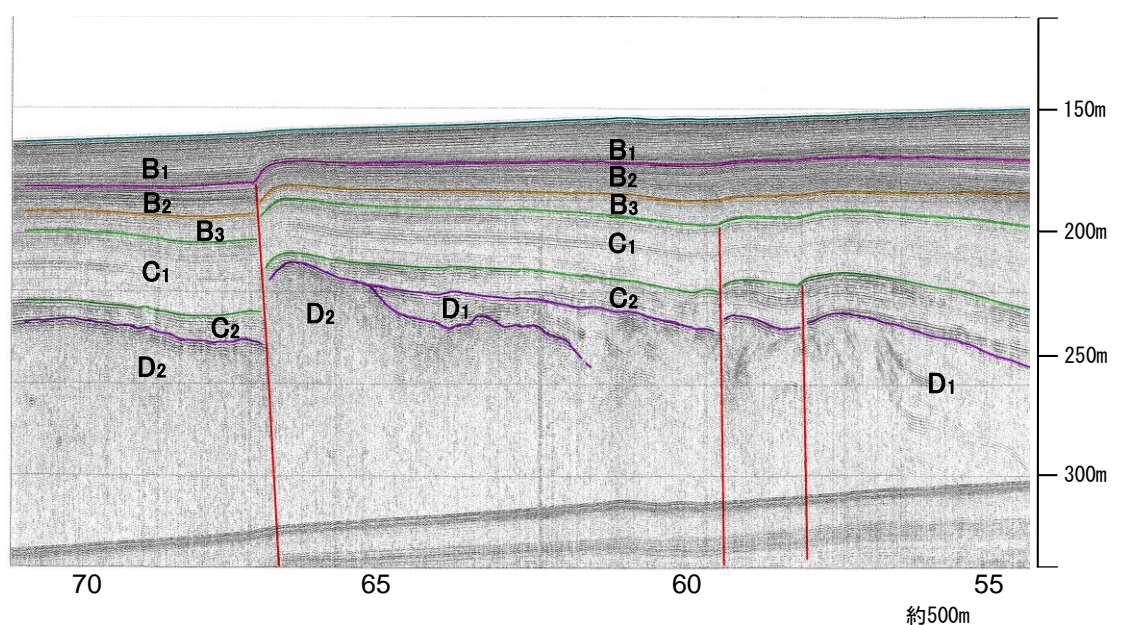
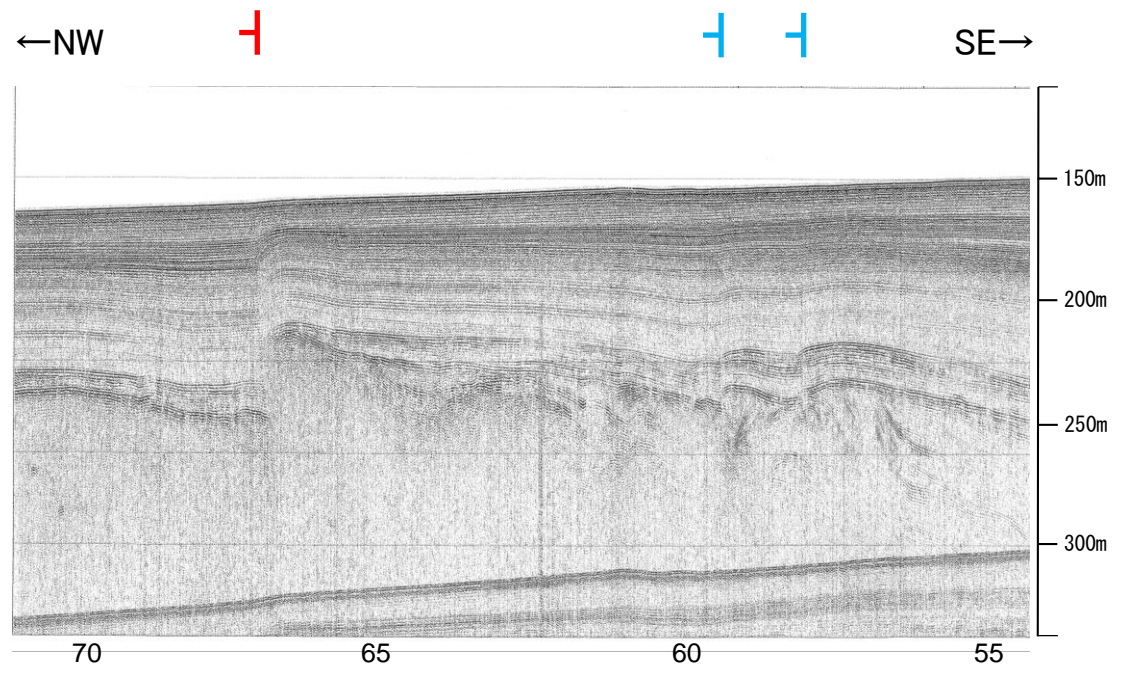
- 対象断層
- 伏在断層
 - 断層連続性のない断層
 - 伏在断層連続性のない断層
 - 右図記録範囲
- 対象外断層
- 断層(伏在断層)
 - 断層(伏在断層)連続性のない断層
 - 背斜軸
 - 向斜軸

- (測線位置における活動性)
- 断層: B₁層以上に変位、変形が認められる
 - 断層: B₁層以上に変位、変形の可能性が否定できない
 - 断層: B₁層以上に変位、変形が認められない
- No. 4: 調査測線 (北陸電力: スパークー・シングルチャンネル・約2450ジュール)
 - No. 4-S: 調査測線 (北陸電力: スパークー・シングルチャンネル・約360ジュール)
 - No. 8U: 調査測線 (北陸電力: ブーマー・マルチチャンネル・約200ジュール)
 - LINE-A: 調査測線 (東京大学地震研究所: エアガン・マルチチャンネル)
 - K22: 調査測線 (東京大学地震研究所: ブーマー・マルチチャンネル)
 - L10: 調査測線 (産業技術総合研究所: ブーマー・マルチチャンネル)
 - NI: 調査測線 (産業技術総合研究所: ブーマー・マルチチャンネル)
 - NI-020M: 調査測線 (原子力安全・保安院: ブーマー・マルチチャンネル)
 - N-120: 調査測線 (地質調査所: エアガン・シングルチャンネル)
 - L10: 調査測線 (三澤(1997): ウォーターガン・シングルチャンネル)
 - HT3-1: 調査測線 (エアガン・マルチチャンネル)
 - SJ407: 調査測線 (海洋研究開発機構: エアガン・マルチチャンネル)



地質時代	地層名		
第四紀	完新世	A層	
	更新世	後期	B ₁ 層
		中期	B ₂ 層
		前期	B ₃ 層
第三紀	鮮新世	C ₁ 層	
	中新世	C ₂ 層	
古第三紀	D層	D ₁ 層	
		D ₂ 層	
先第三紀			

断層

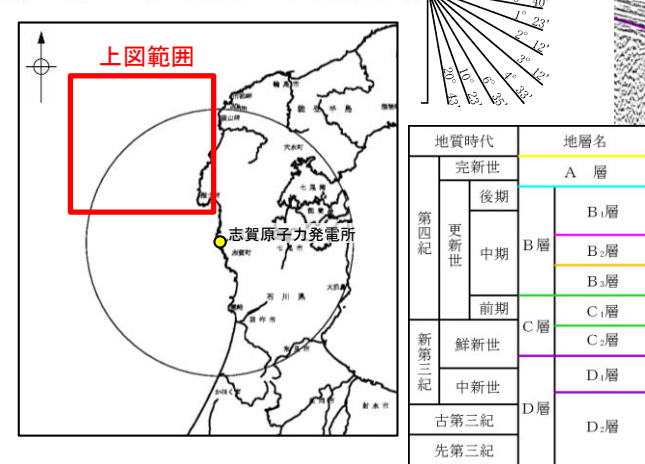
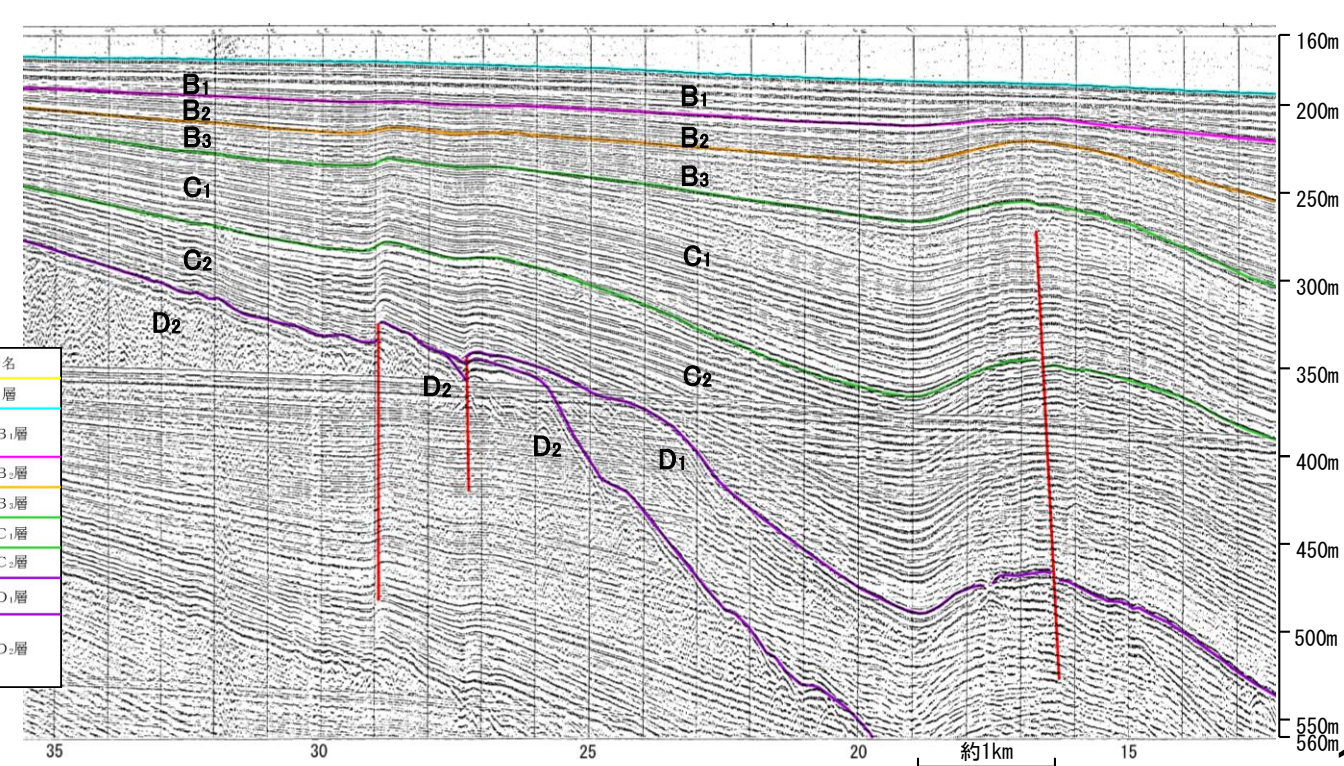
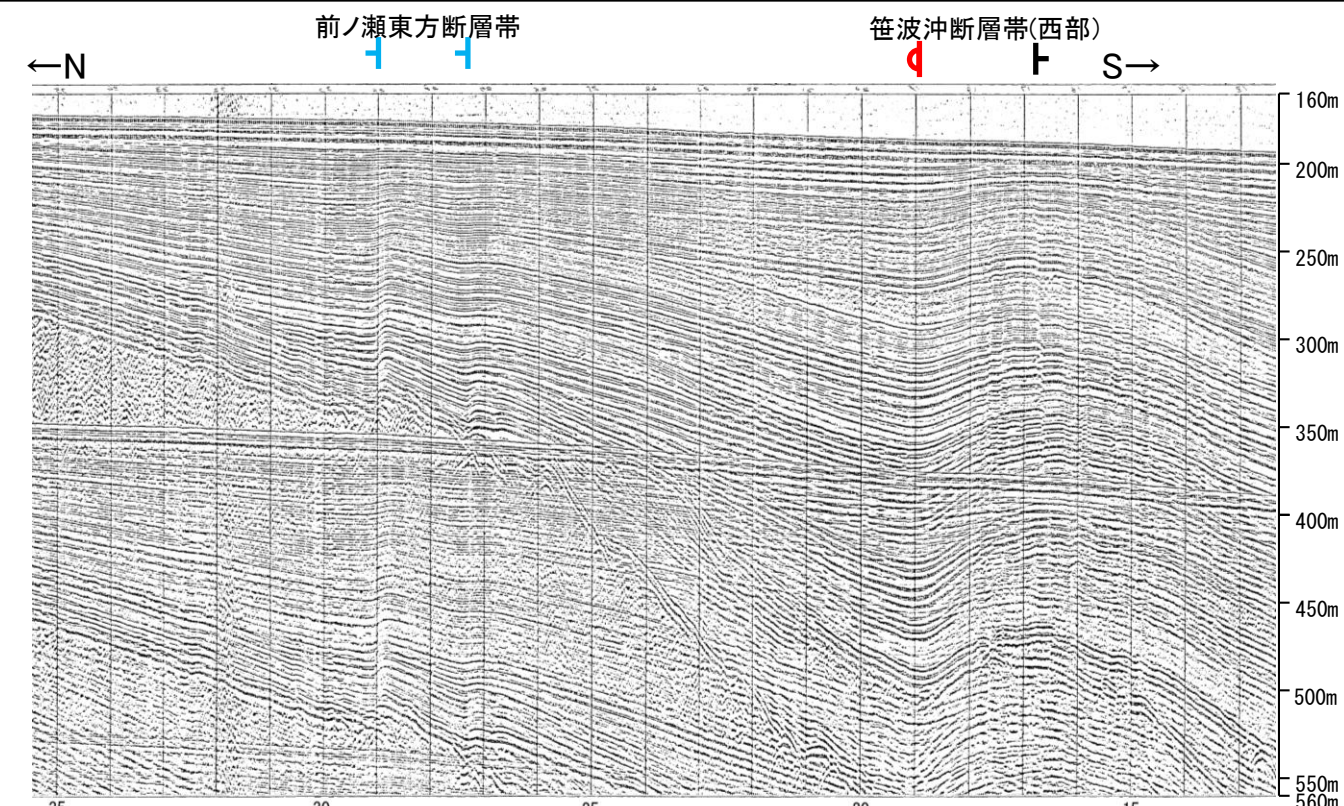
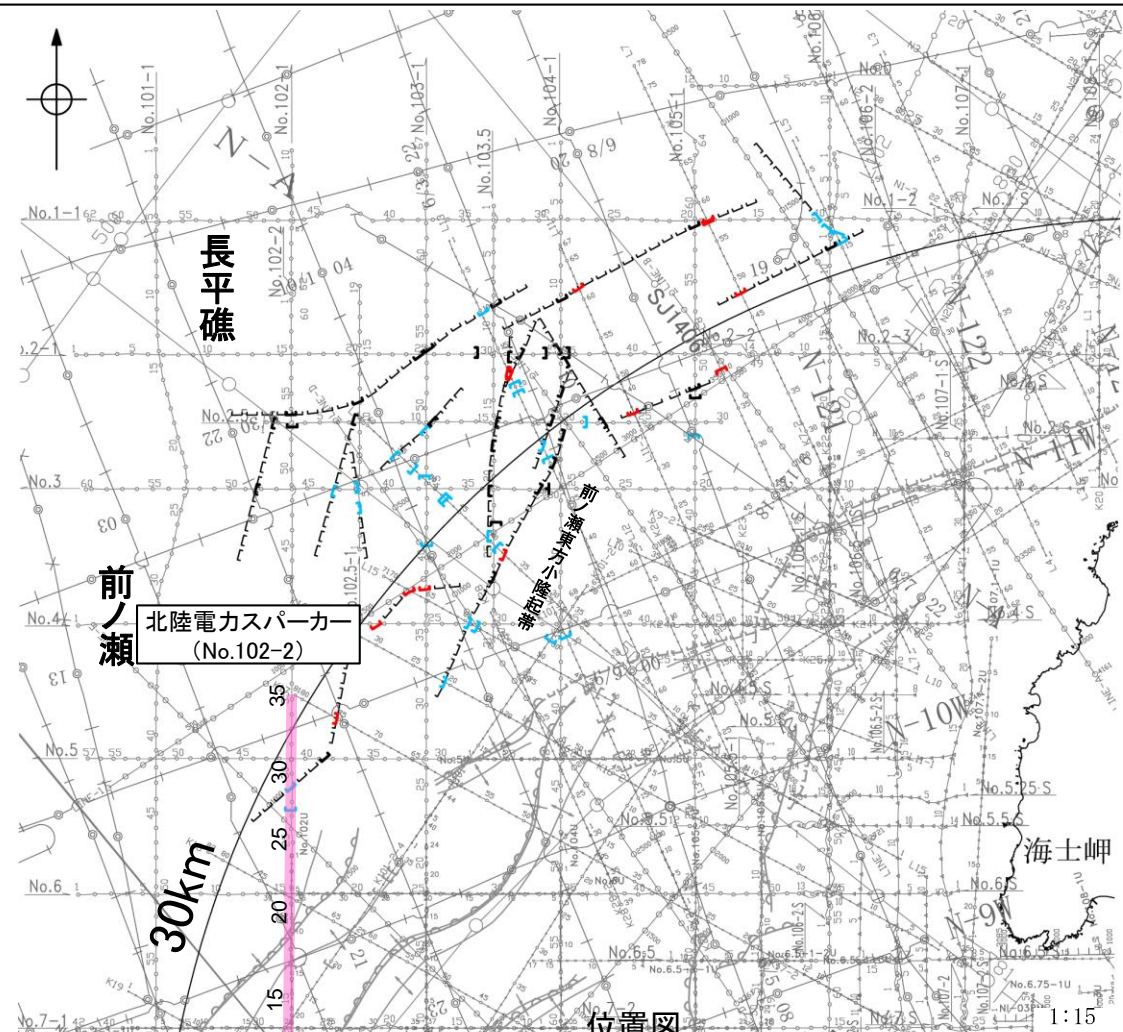


この図面は、産業技術総合研究所の海上音波探査の記録を北陸電力が独自に解析・作成したものである

2.6.5(3) 前ノ瀬東方断層帯の活動性 —No.102-2測線—

○No.102-2測線において、測点27付近でB₂層下部、B₃層、C₁層及びC₂層上部に北落ちの変形が、C₂層下部、D₁層及びD₂層に北落ちの変位が認められ、測点29付近でB₂層下部、B₃層、C₁層及びC₂層上部に北落ちの変形が、C₂層下部、D₂層に北落ちの変位が認められることから断層を推定した。いずれも変位、変形はB₁層及びB₂層上部に及んでいないことから、B₁層以上に変位、変形が認められないと判断した。

○測点19付近でB₁層基底、B₂層、B₃層、C₁層、C₂層及びD₁層に変形が認められることから撓曲を推定した。また測点17付近でC₁層、C₂層及びD₁層に変位が認められることから断層を推定した。これらの構造は比較的翼部が大きい褶曲に伴う構造であること、及び連続性の観点から笹波沖断層帯(西部)に対応すると判断した。

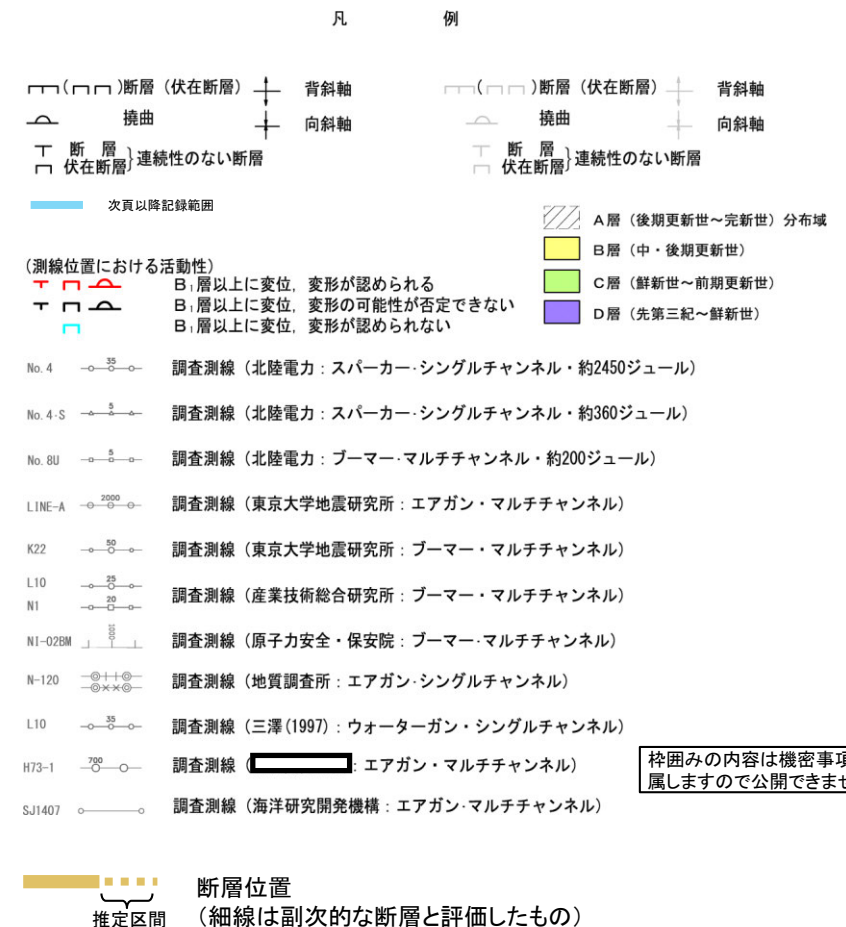
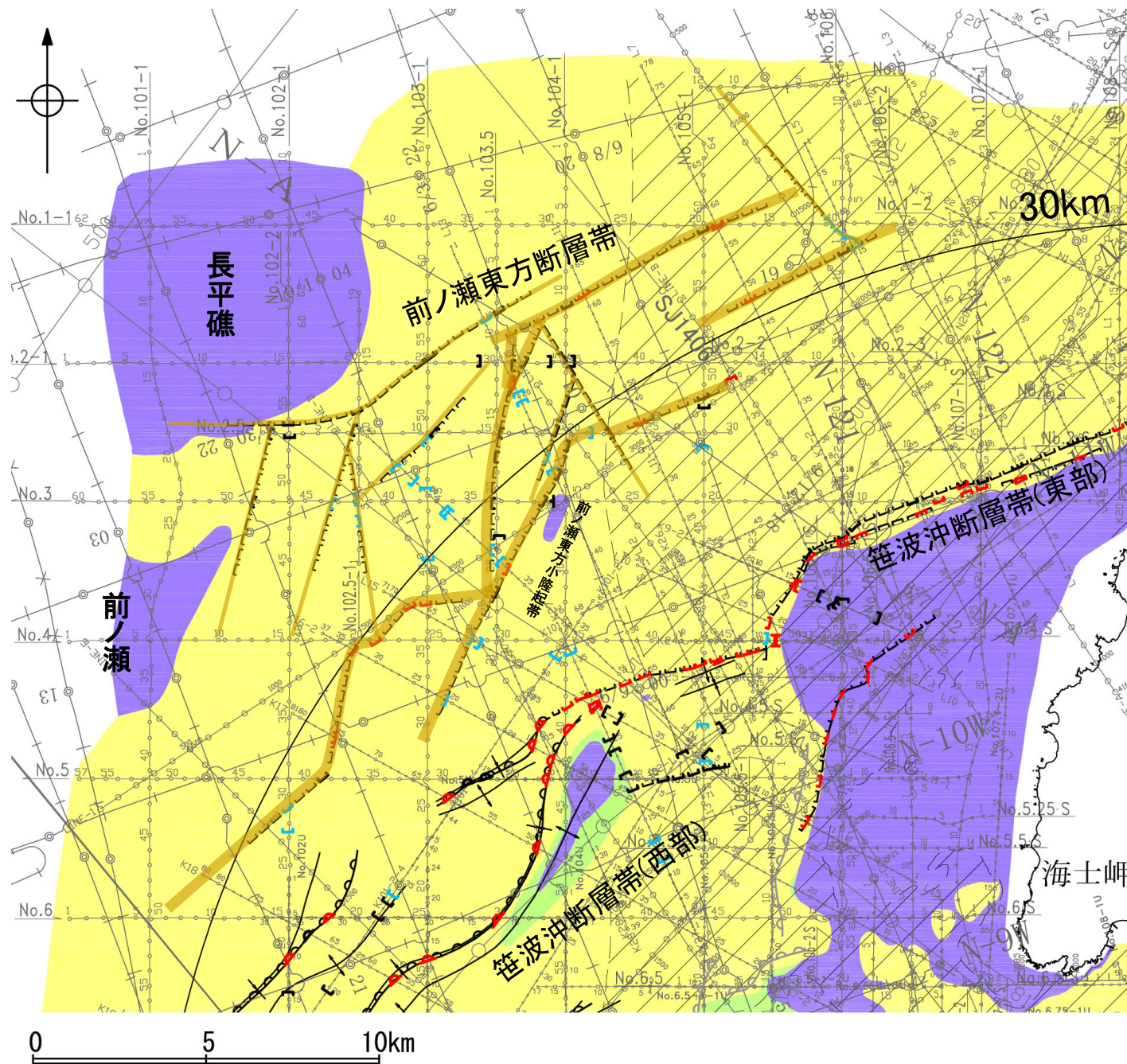


断層

枠囲みの内容は機密事項に属しますので公開できません。

2.6.5(3) 前ノ瀬東方断層帯の活動性 —活動区間について—

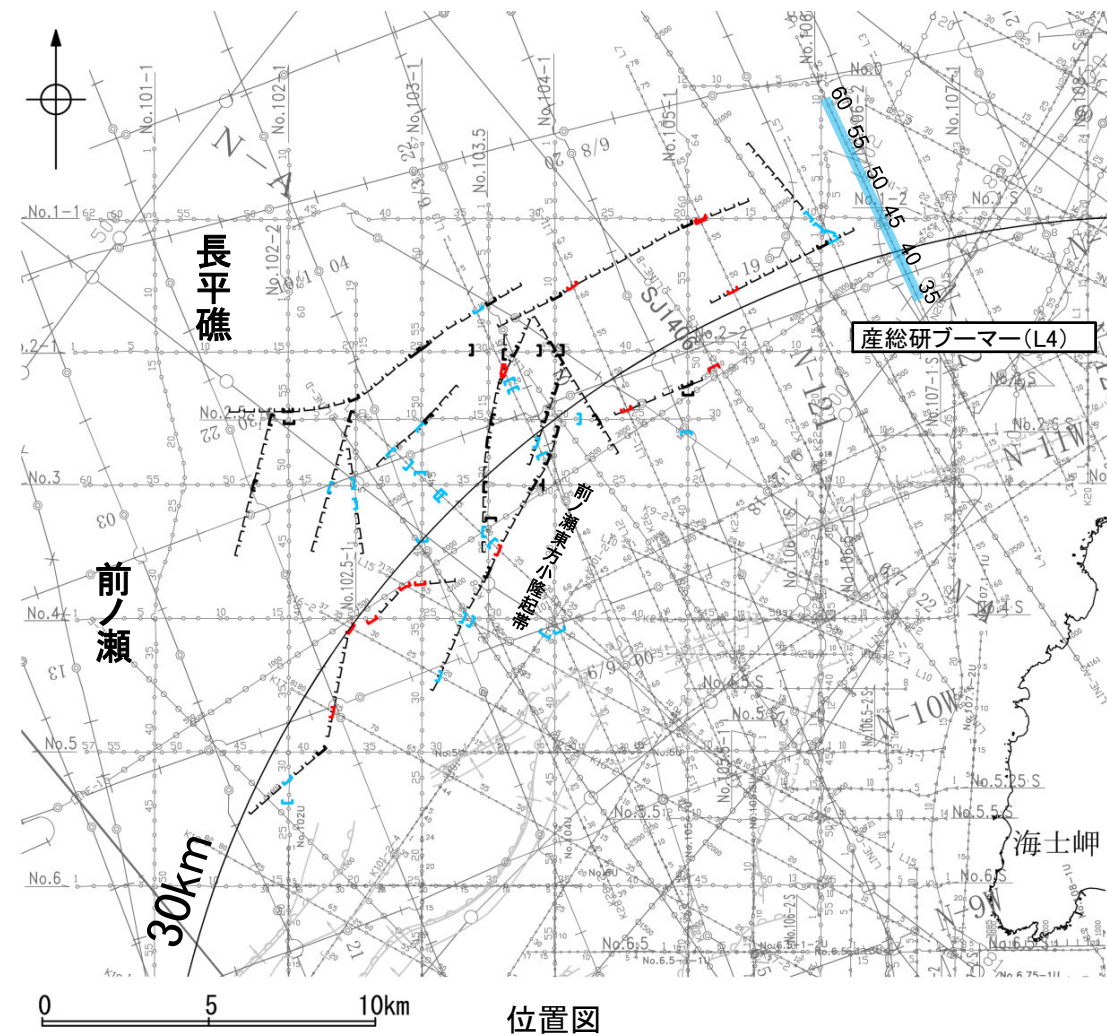
- 海上音波探査の結果, 前ノ瀬東方小隆起帯及びその周辺の海域において, 短い断層が密集し, 雁行または斜交しながら複雑に分布することが認められた。
- 推定した断層の内, 前ノ瀬東方小隆起帯の北西縁周辺に比較的規模の大きい断層がNE-SW方向に断続的に分布し, B₁層以上に変位, 変形が認められる。一方, N-S方向に連続する断層は, B₁層以上に変位, 変形の可能性が否定できないもしくはB₁層以上に変位, 変形が認められない区間が連続する。
- 以上のことから, 前ノ瀬東方断層帯の主たる構造は前ノ瀬東方小隆起帯付近のNE-SW方向の断層(下図 太 —)であり, N-S方向の断層はNE-SW方向の断層活動に伴う副次的なもの(下図 細 —)として評価した。
- なお, 前ノ瀬東方断層帯の南方に笹波沖断層帯(西部)が近接して分布しているが, 笹波沖断層帯(西部)は笹波沖小隆起帯の北縁に分布し, 前ノ瀬東方断層帯とは分布する隆起帯が異なる。また, 前ノ瀬東方断層帯は断層が連続しているが, 笹波沖断層帯(西部)の前ノ瀬東方断層帯に近接している区間は撓曲が連続しており, 断層形態が異なる。よって, 前ノ瀬東方断層帯と笹波沖断層帯(西部)は別の断層として評価を行った。



前ノ瀬東方断層帯周辺の地質図

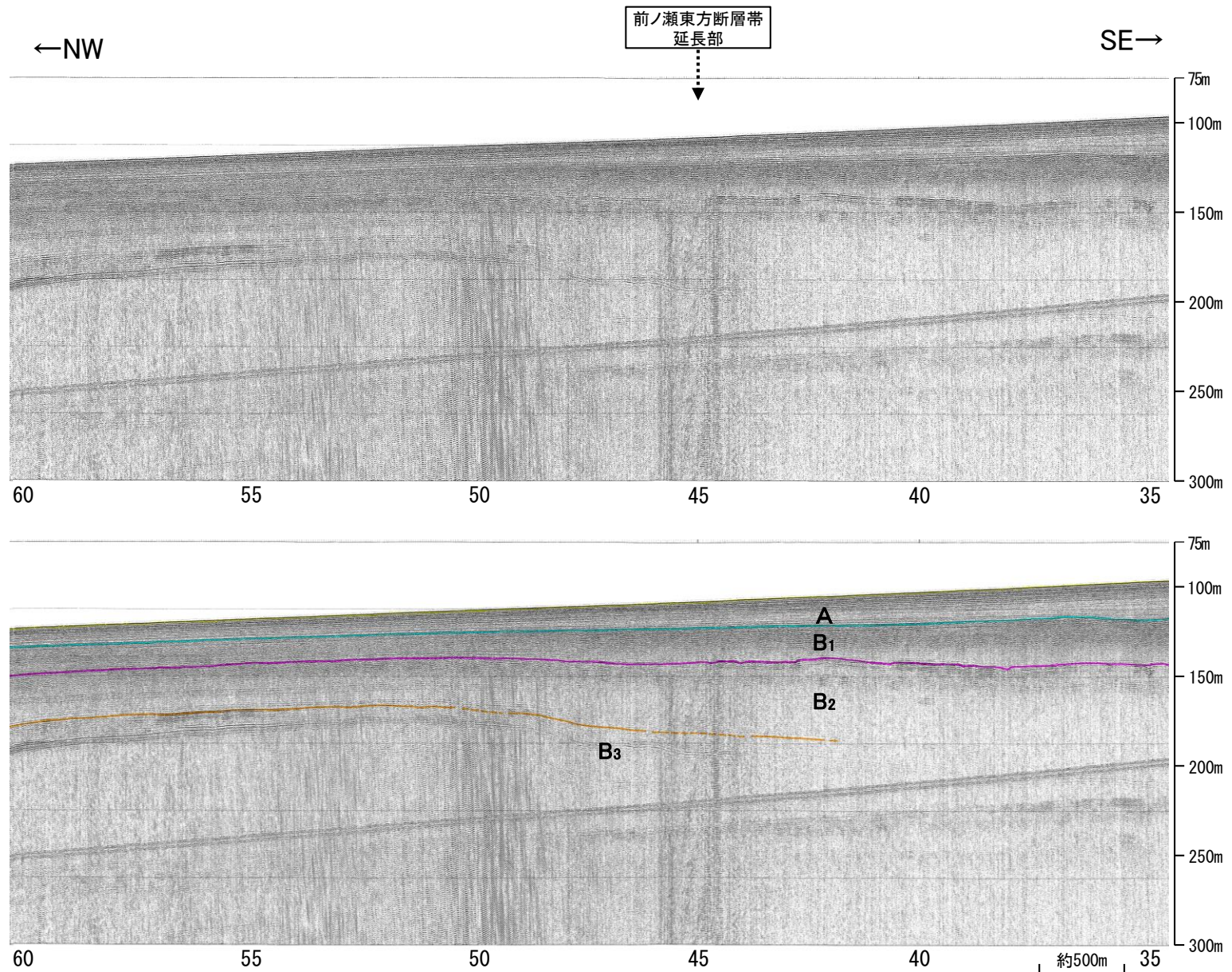
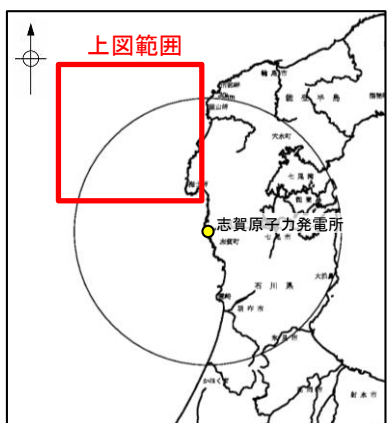
2.6.5(4) 前ノ瀬東方断層帯の端部 —北東端調査 L4測線—

○L5測線で推定した断層の北東方延長にあたるL4測線において、いずれの地層にも断層等を示唆するような変位、変形は認められない。
 ○測点48付近のB₃層上面に極めて緩やかな南東落ちの撓みが認められるが、L5測線の測点15付近で推定された北西落ちの断層とは落ち方向が逆であること、L5測線の測点13付近で推定された断層の落ち方向は同じであるものの断層の走向とL4測線がほぼ平行であることから、いずれの断層もL4測線の測点48付近の撓みと連続しないと判断した。

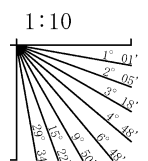


- 凡 例
- 対象断層
 - 伏在断層
 - 断層連続性のない断層
 - 右図記録範囲
 - 対象外断層
 - 断層 (伏在断層)
 - 断層 (伏在断層) 連続性のない断層
 - 背斜軸
 - 向斜軸
 - 換曲
 - 断層連続性のない断層
 - 伏在断層
- 枠囲みの内容は機密事項に属しますので公開できません。
- (測線位置における活動性)
- 断層にB₃層以上に変位、変形が認められる
 - 断層にB₂層以上に変位、変形の可能性が否定できない
 - 断層にB₁層以上に変位、変形が認められない

- No. 4 調査測線 (北陸電力: スパークー・シングルチャンネル・約2450ジュール)
- No. 4-S 調査測線 (北陸電力: スパークー・シングルチャンネル・約360ジュール)
- No. 8U 調査測線 (北陸電力: ブーマー・マルチチャンネル・約200ジュール)
- LINE-A 調査測線 (東京大学地震研究所: エアガン・マルチチャンネル)
- K22 調査測線 (東京大学地震研究所: ブーマー・マルチチャンネル)
- L10 NI 調査測線 (産業技術総合研究所: ブーマー・マルチチャンネル)
- NI-020M 調査測線 (原子力安全・保安院: ブーマー・マルチチャンネル)
- N-120 調査測線 (地質調査所: エアガン・シングルチャンネル)
- L10 調査測線 (三澤(1997): ウォーターガン・シングルチャンネル)
- HT3-1 調査測線 (エアガン・マルチチャンネル)
- SJ407 調査測線 (海洋研究開発機構: エアガン・マルチチャンネル)



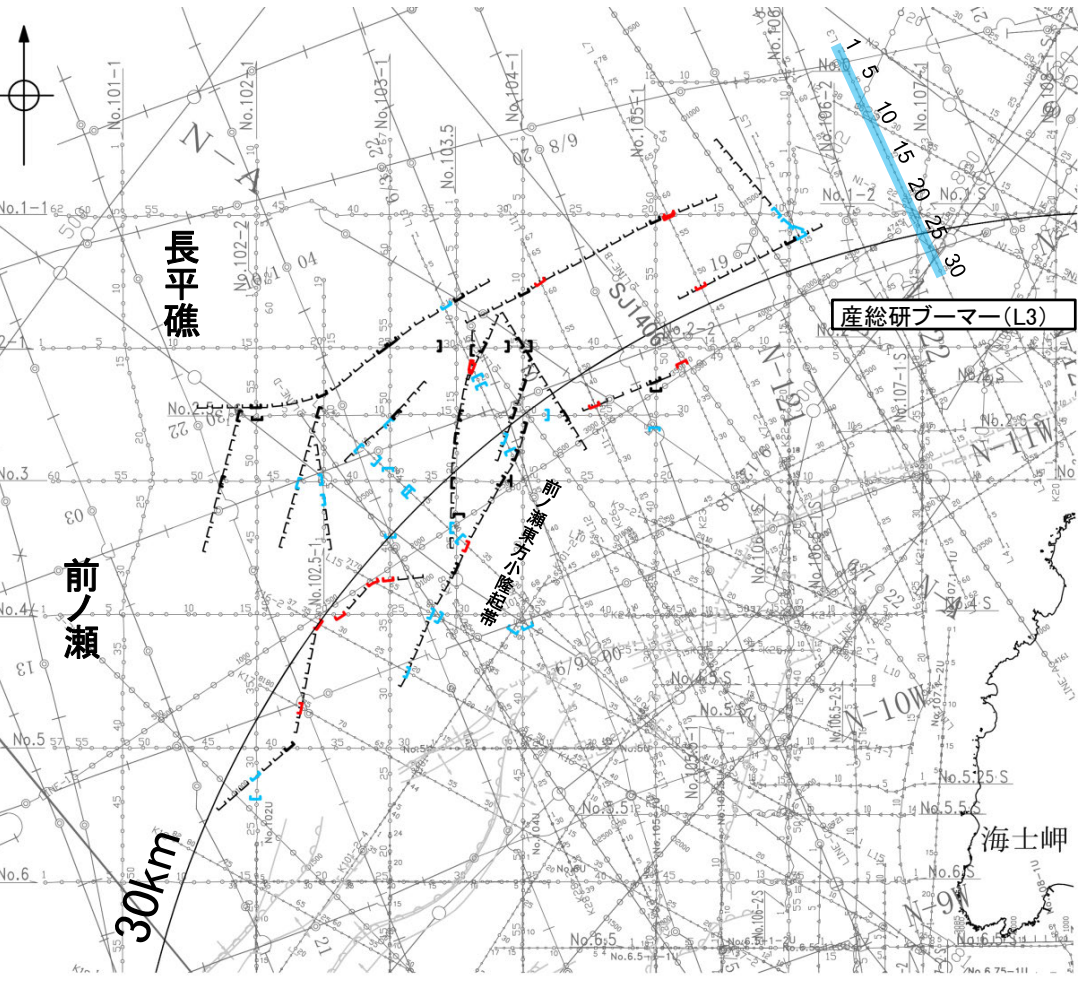
地質時代	地層名		
第四紀	完新世	A層	
	更新世	後期	B ₁ 層
		中期	B ₂ 層
		前期	B ₃ 層
第三紀	鮮新世	C層	
	中新世	C ₂ 層	
		D層	
古第三紀	D層		
先第三紀	D層		



この図面は、産業技術総合研究所の海上音波探査の記録を北陸電力が独自に解析・作成したものである

2.6.5(4) 前ノ瀬東方断層帯の端部 —北東端調査 L3測線—

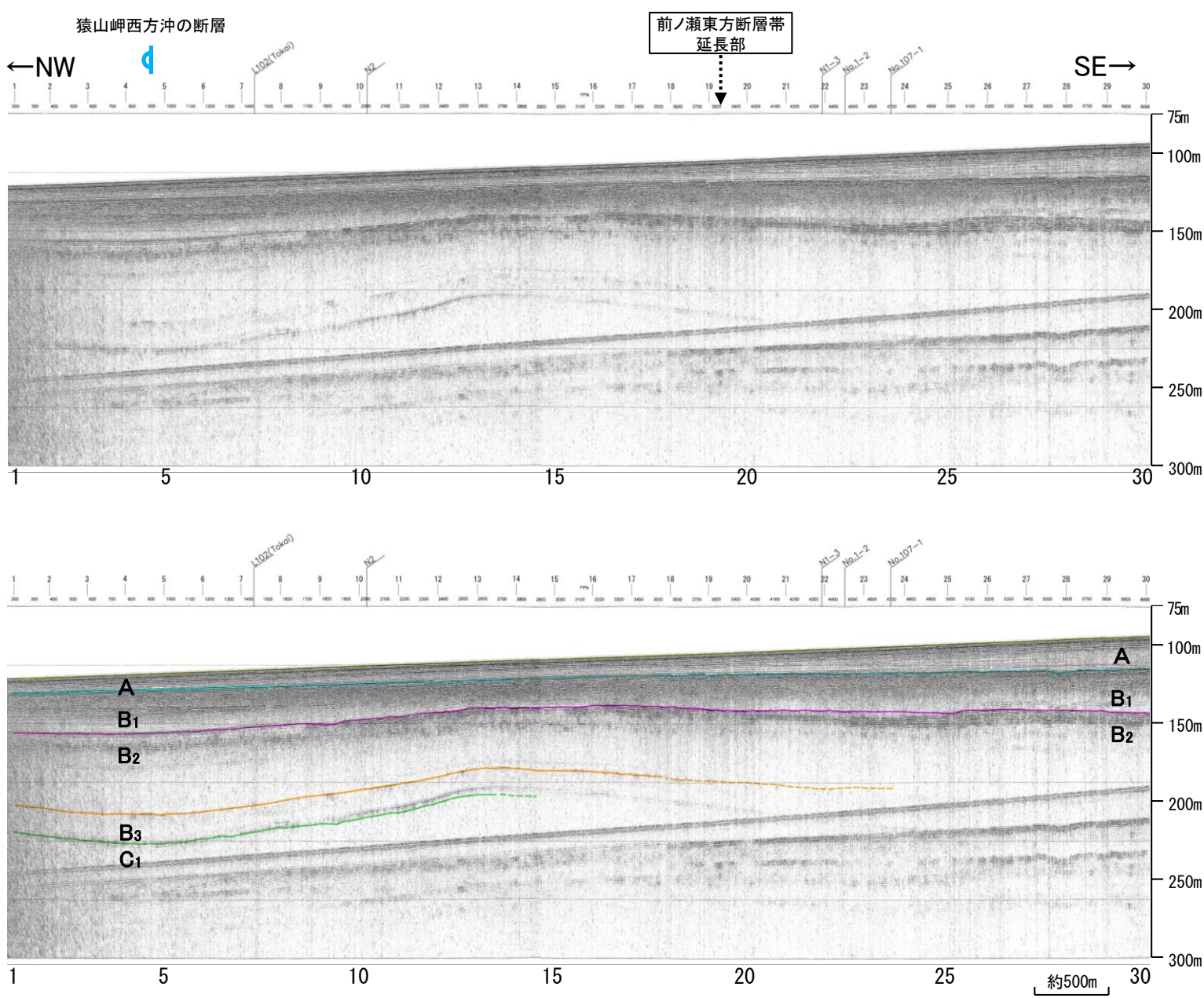
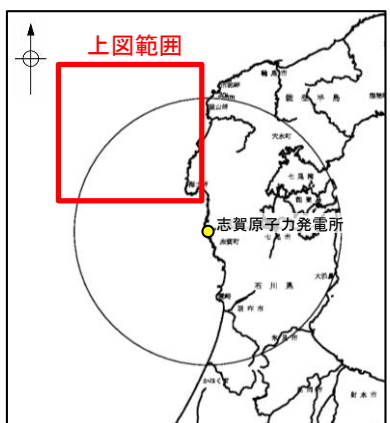
○L4測線のさらに北東方延長にあたるL3測線において、いずれの地層にも断層等を示唆するような変位、変形は認められない。
 ○測点4.5付近でB₂層、B₃層、C₁層に北西落ちの変形が認められることから、撓曲を推定した。変形はB₁層まで及んでいないことから、B₁層以上に変位、変形は認められないと判断した。この撓曲は東西方向へ連続することから、猿山岬西方沖の断層に対応すると判断した。なお、猿山岬西方沖の断層は後期更新世以降の活動は認められないと評価している(補足資料2.7-1)。



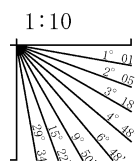
位置図

- 凡例
- 対象断層
 - 伏在断層
 - 断層 連続性のない断層
 - 対象外断層
 - () 断層 (伏在断層)
 - 断層 連続性のない断層
 - 断層
 - 断層 連続性のない断層
 - 断層 連続性のない断層
 - 右図記録範囲
- (測線位置における活動性)
- B₁層以上に変位、変形が認められる
 - B₁層以上に変位、変形の可能性が否定できない
 - B₁層以上に変位、変形が認められない
- No. 4 調査測線 (北陸電力: スパークー・シングルチャンネル・約2450ジュール)
 - No. 4-S 調査測線 (北陸電力: スパークー・シングルチャンネル・約360ジュール)
 - No. 8U 調査測線 (北陸電力: ブーマー・マルチチャンネル・約200ジュール)
 - LINE-A 調査測線 (東京大学地震研究所: エアガン・マルチチャンネル)
 - K22 調査測線 (東京大学地震研究所: ブーマー・マルチチャンネル)
 - L10 NI 調査測線 (産業技術総合研究所: ブーマー・マルチチャンネル)
 - NI-020M 調査測線 (原子力安全・保安院: ブーマー・マルチチャンネル)
 - N-120 調査測線 (地質調査所: エアガン・シングルチャンネル)
 - L10 調査測線 (三澤(1997): ウォーターガン・シングルチャンネル)
 - HT3-1 調査測線 () エアガン・マルチチャンネル)
 - SJ407 調査測線 (海洋研究開発機構: エアガン・マルチチャンネル)

枠囲みの内容は機密事項に属しますので公開できません。



地質時代	地層名		
第四紀	完新世	A層	
	更新世	後期	B ₁ 層
		中期	B ₂ 層
		前期	B ₃ 層
第三紀	鮮新世	C ₁ 層	
	中新世	C ₂ 層	
		D層	
古第三紀	D層		
先第三紀	D層		

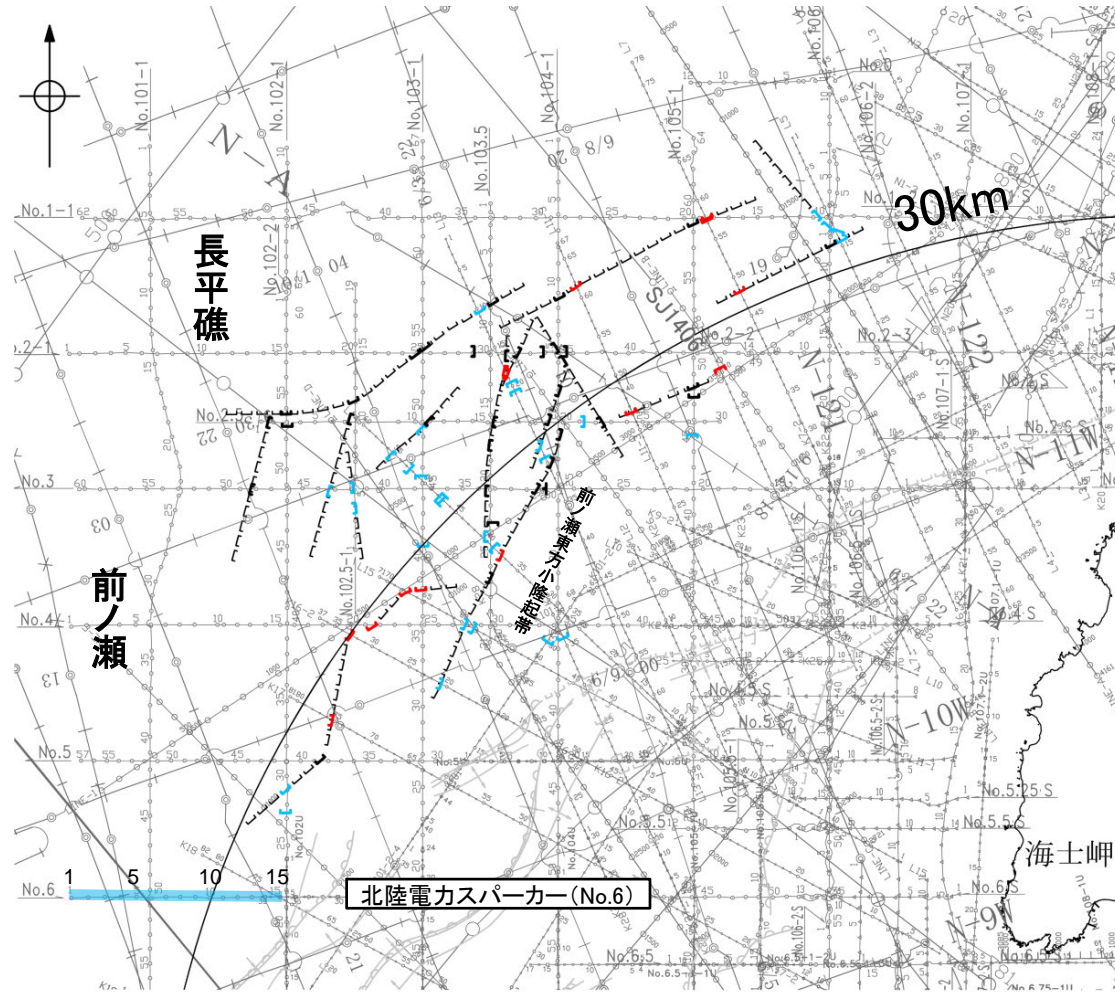


この図面は、産業技術総合研究所の海上音波探査の記録を北陸電力が独自に解析・作成したものである

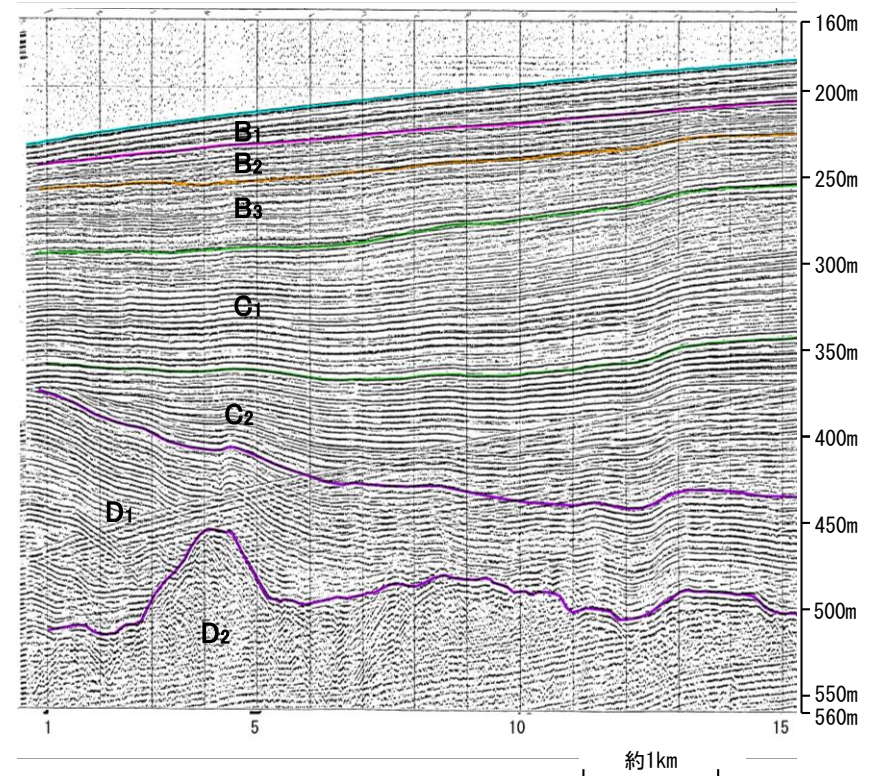
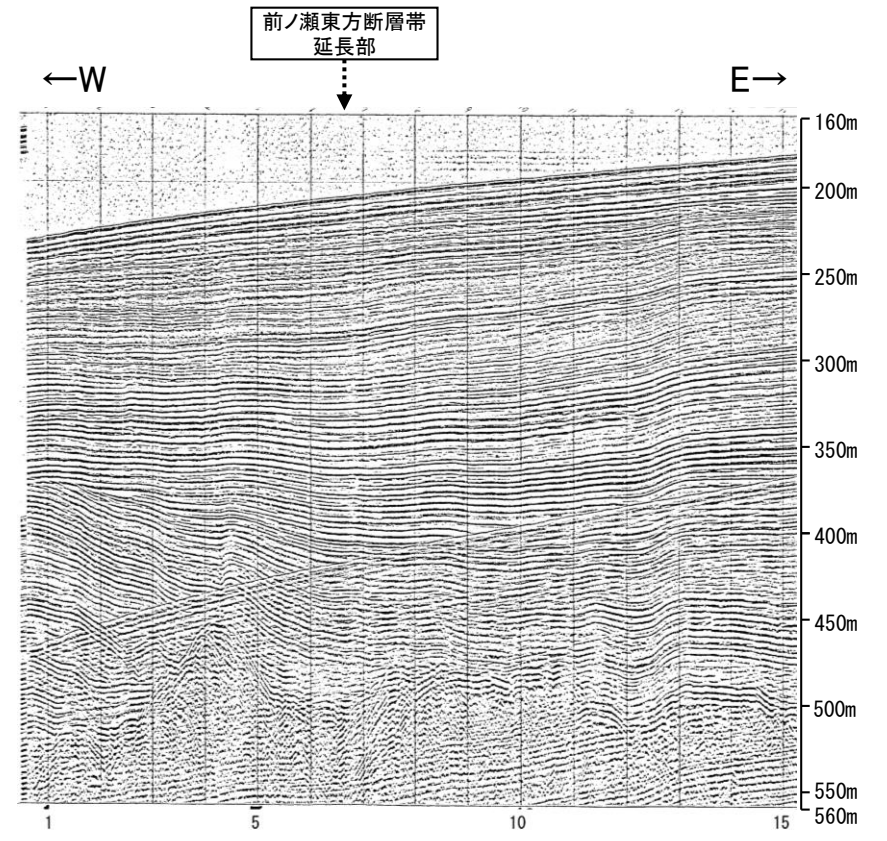
2.6.5(4) 前ノ瀬東方断層帯の端部 —南西端調査 No.6測線, No.101-1測線—

○No.102-2測線で推定した断層の南西方延長にあたるNo.6測線, No.101-1測線において, いずれの地層にも断層等を示唆するような変位, 変形は認められない。

【No.6測線】

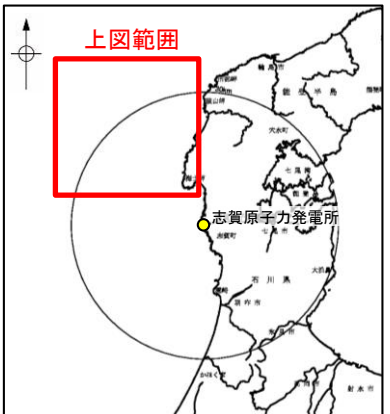


位置図

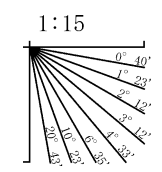


- 対象断層
 □ 伏在断層
 □ 断層(連続性のない断層)
 □ 伏在断層(連続性のない断層)
 右図記録範囲
- 対象外断層
 □ () 断層(伏在断層)
 □ 換曲
 □ 断層(連続性のない断層)
 □ 伏在断層(連続性のない断層)

- (測線位置における活動性)
 T □ B層以上に変位, 変形が認められる
 T □ B層以上に変位, 変形の可能性が否定できない
 T □ B層以上に変位, 変形が認められない
- No.4 調査測線 (北陸電力: スパーカー・シングルチャンネル・約2450ジュール)
 - No.4.S 調査測線 (北陸電力: スパーカー・シングルチャンネル・約360ジュール)
 - No.8U 調査測線 (北陸電力: プーマー・マルチチャンネル・約200ジュール)
 - LINE-A 調査測線 (東京大学地震研究所: エアガン・マルチチャンネル)
 - K22 調査測線 (東京大学地震研究所: プーマー・マルチチャンネル)
 - L10 調査測線 (産業技術総合研究所: プーマー・マルチチャンネル)
 - NI 調査測線 (原子力安全・保安院: プーマー・マルチチャンネル)
 - NI-020W 調査測線 (原子力安全・保安院: プーマー・マルチチャンネル)
 - N-120 調査測線 (地質調査所: エアガン・シングルチャンネル)
 - L10 調査測線 (三澤(1997): ウォーターガン・シングルチャンネル)
 - HT3-1 調査測線 () エアガン・マルチチャンネル
 - SJ407 調査測線 (海洋研究開発機構: エアガン・マルチチャンネル)

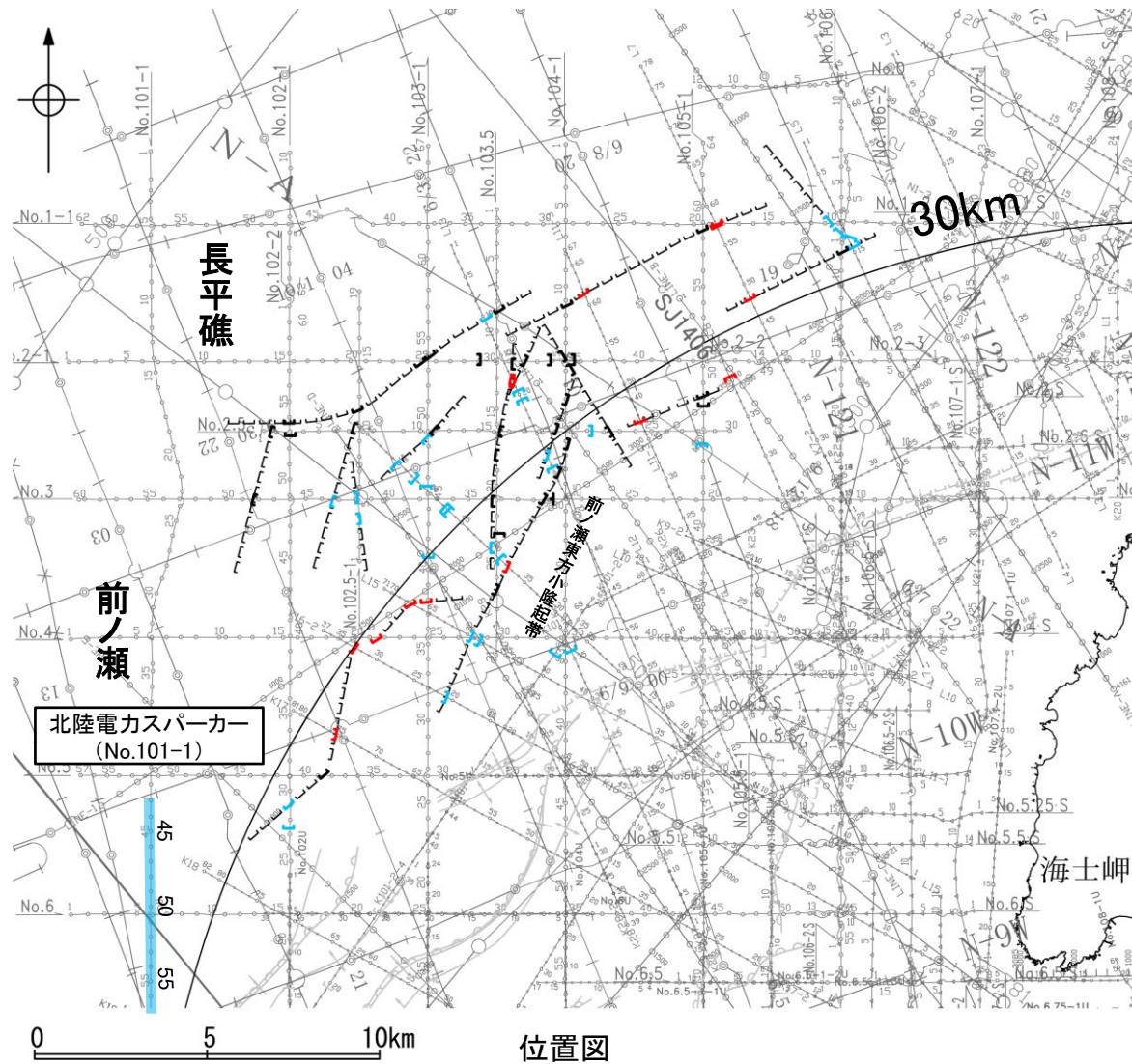


地質時代		地層名	
第四紀	完新世	A層	
	後期	B ₁ 層	
	中期	B ₂ 層	
	前期	B ₃ 層	
第三紀	鮮新世	C層	C ₁ 層
	中新世	D層	D ₁ 層
古第三紀			D ₂ 層
先第三紀			



枠囲みの内容は機密事項に属しますので公開できません。

【No.101-1測線】



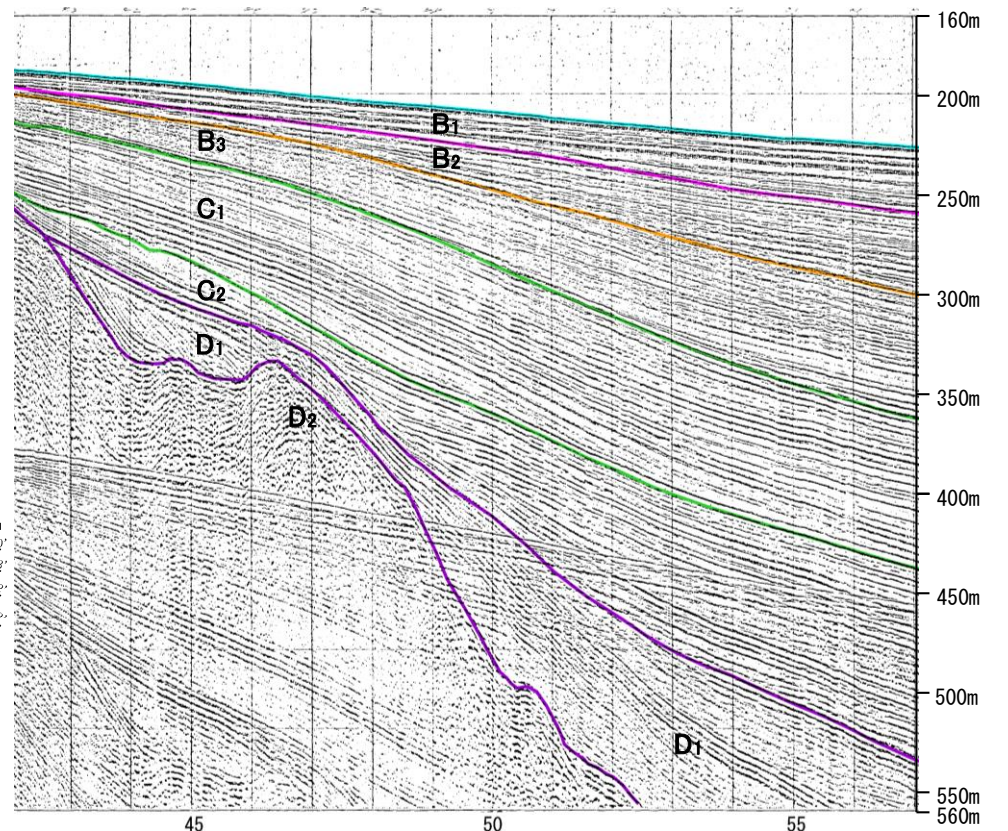
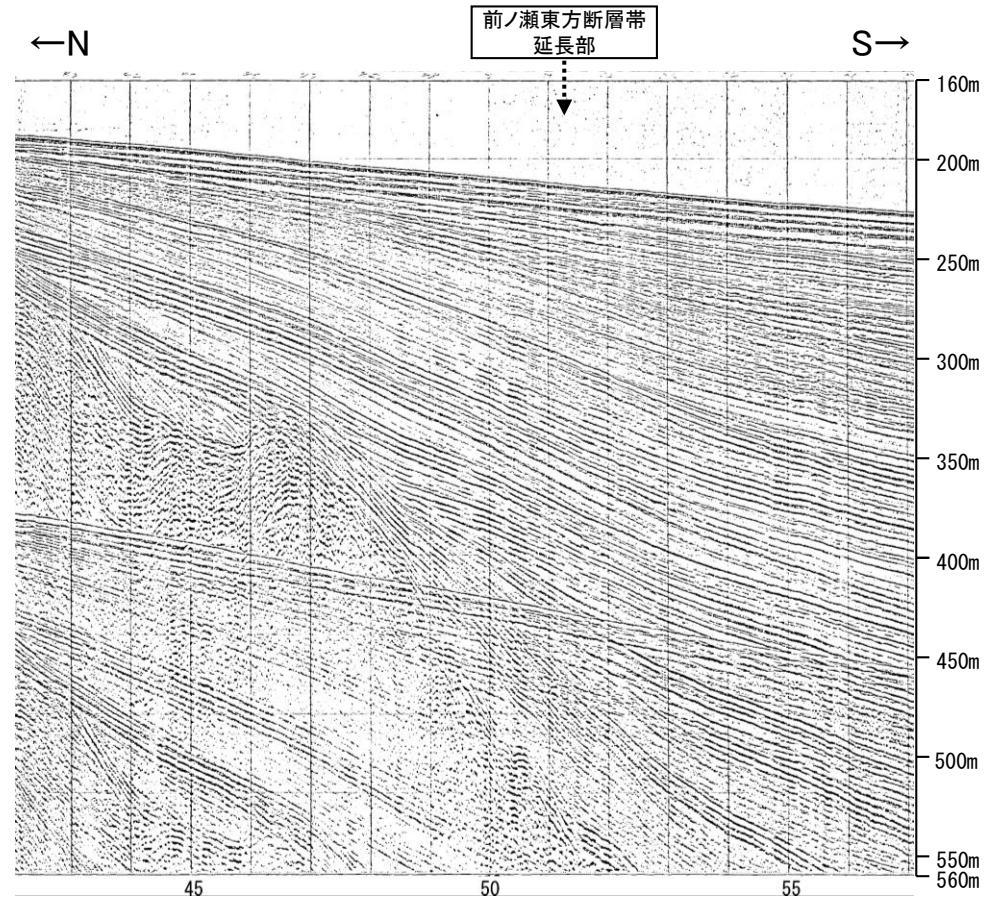
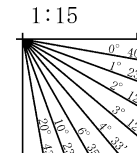
位置図

- 凡 例
- 対象断層
 - □ 伏在断層
 - □ 断層 連続性のない断層
 - □ 伏在断層 連続性のない断層
 - 対象外断層
 - □ () 断層 (伏在断層)
 - □ 換曲
 - □ 断層 連続性のない断層
 - □ 断層 連続性のない断層
 - 背斜軸
 - 向斜軸
 - 右図記録範囲

- (測線位置における活動性)
- □ B層以上に変位、変形が認められる
 - □ B層以上に変位、変形の可能性が否定できない
 - □ B層以上に変位、変形が認められない
- No.4 調査測線 (北陸電力: スパークー・シングルチャンネル・約2450ジュール)
 - No.4-S 調査測線 (北陸電力: スパークー・シングルチャンネル・約360ジュール)
 - No.8U 調査測線 (北陸電力: プーマー・マルチチャンネル・約200ジュール)
 - LINE-A 調査測線 (東京大学地震研究所: エアガン・マルチチャンネル)
 - K22 調査測線 (東京大学地震研究所: プーマー・マルチチャンネル)
 - L10 調査測線 (産業技術総合研究所: プーマー・マルチチャンネル)
 - NI-020M 調査測線 (原子力安全・保安院: プーマー・マルチチャンネル)
 - N-120 調査測線 (地質調査所: エアガン・シングルチャンネル)
 - L10 調査測線 (三澤(1997): ウォーターガン・シングルチャンネル)
 - HT3-1 調査測線 () エアガン・マルチチャンネル
 - SJ407 調査測線 (海洋研究開発機構: エアガン・マルチチャンネル)



地質時代		地層名
第四紀	完新世	A層
	後期	B ₁ 層
	中期	B ₂ 層
	前期	B ₃ 層
新第三紀	鮮新世	C ₁ 層
	中新世	C ₂ 層
古第三紀		D ₁ 層
		D ₂ 層
先第三紀		

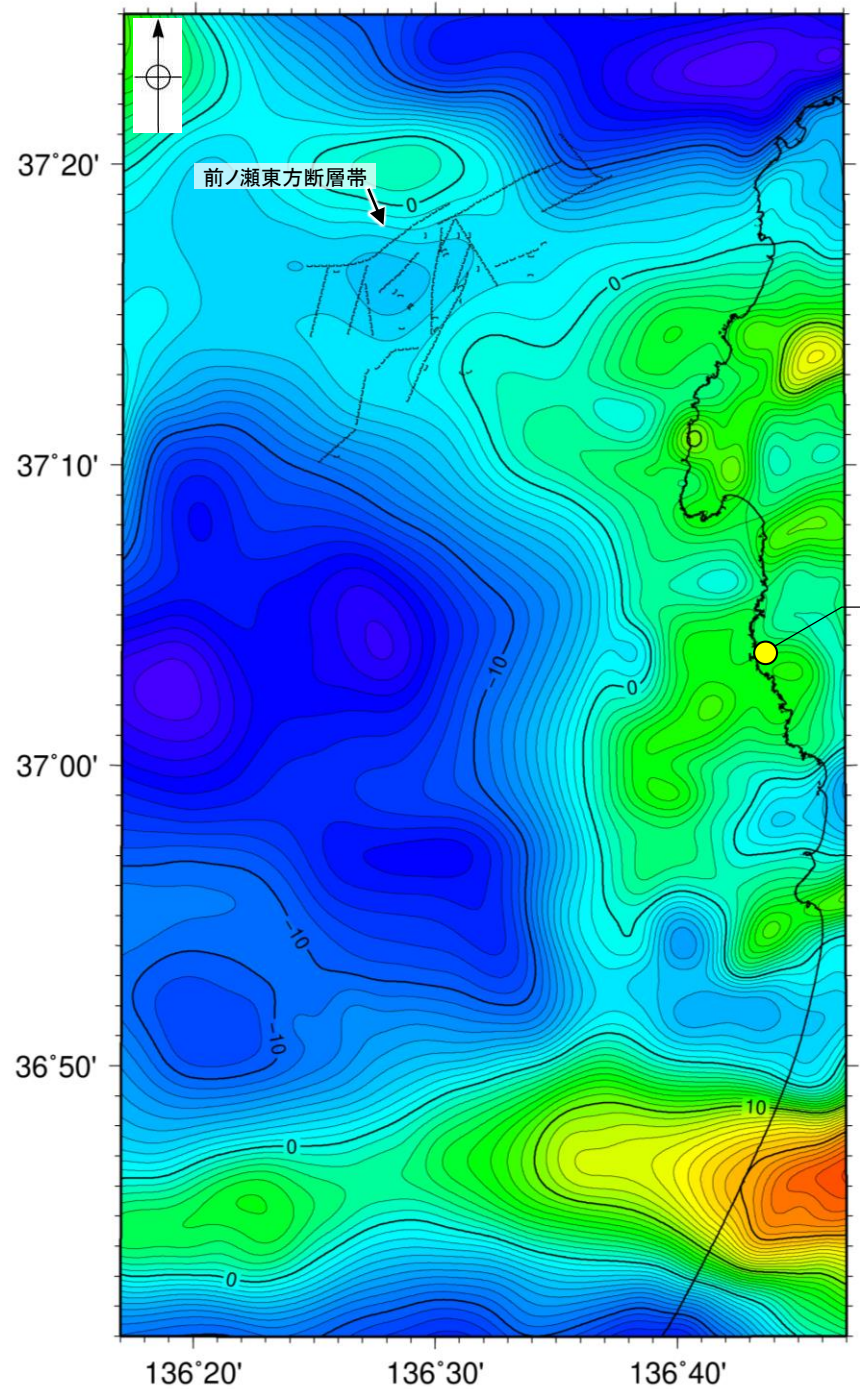


枠囲みの内容は機密事項に
属しますので公開できません。

2.6.5(5) 前ノ瀬東方断層帯周辺の重力異常

○前ノ瀬東方断層帯の深部構造を確認するため、ブーゲー異常図, 水平一次微分図を作成した。

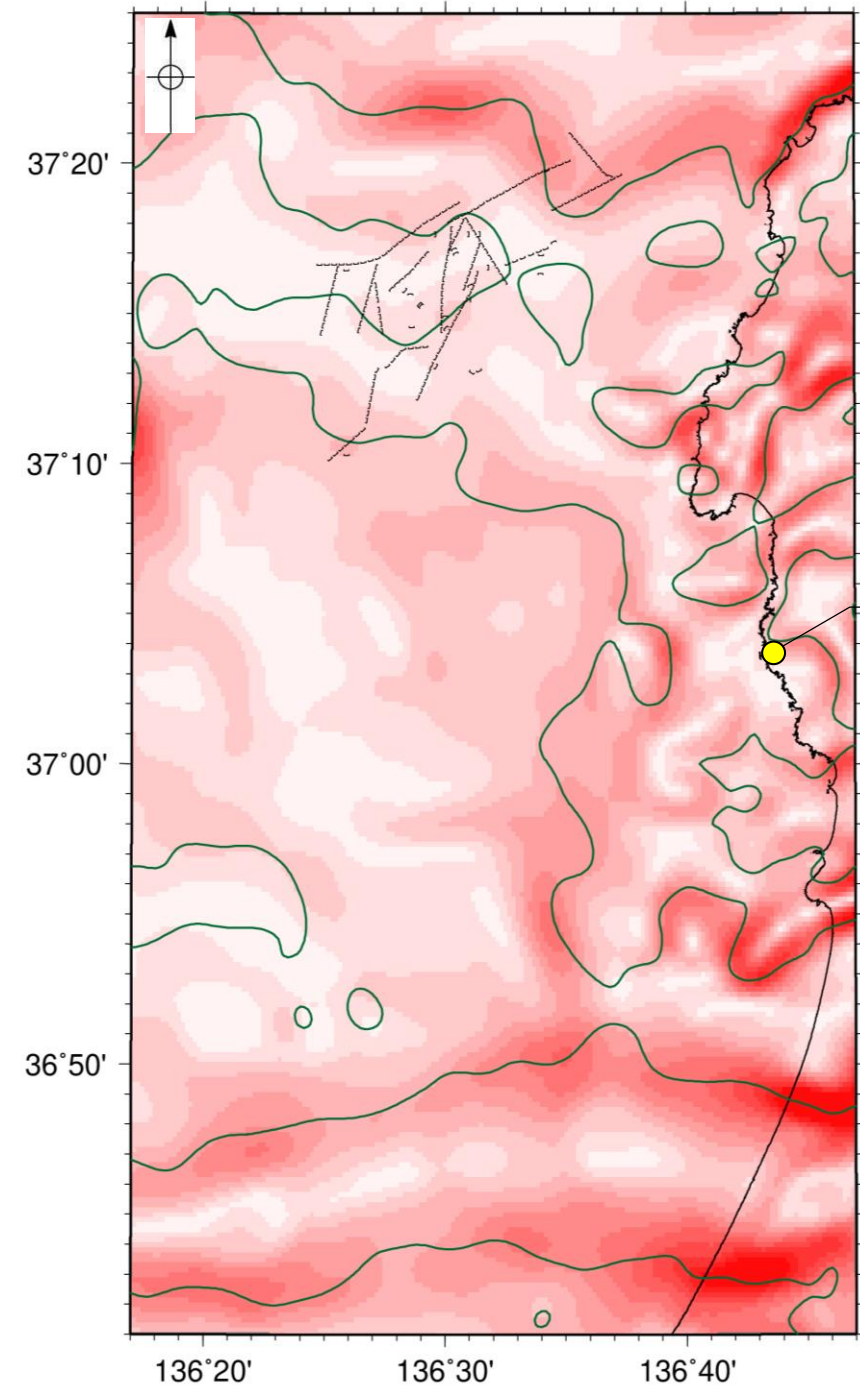
○ブーゲー異常図及び水平一次微分図によれば, 前ノ瀬東方断層帯の南東部に対応するNE-SW方向の重力異常急変部が認められる。



仮定密度: 2,300kg/m³ コンター間隔: 1mGal (---)断層 (伏在断層) (---)断層 (伏在断層)
 (---)断層 (伏在断層) (---)断層 (伏在断層)

ブーゲー異常図

・ブーゲー異常図は, 対象とする断層の規模, 調査密度を考慮し, 平面トレンド成分の除去及び遮断波長4kmのローパスフィルター処理を行っている。



鉛直一次微分値が0mGal/kmの等値線 (---)断層 (伏在断層) (---)断層 (伏在断層)
 (---)断層 (伏在断層) (---)断層 (伏在断層)

水平一次微分図

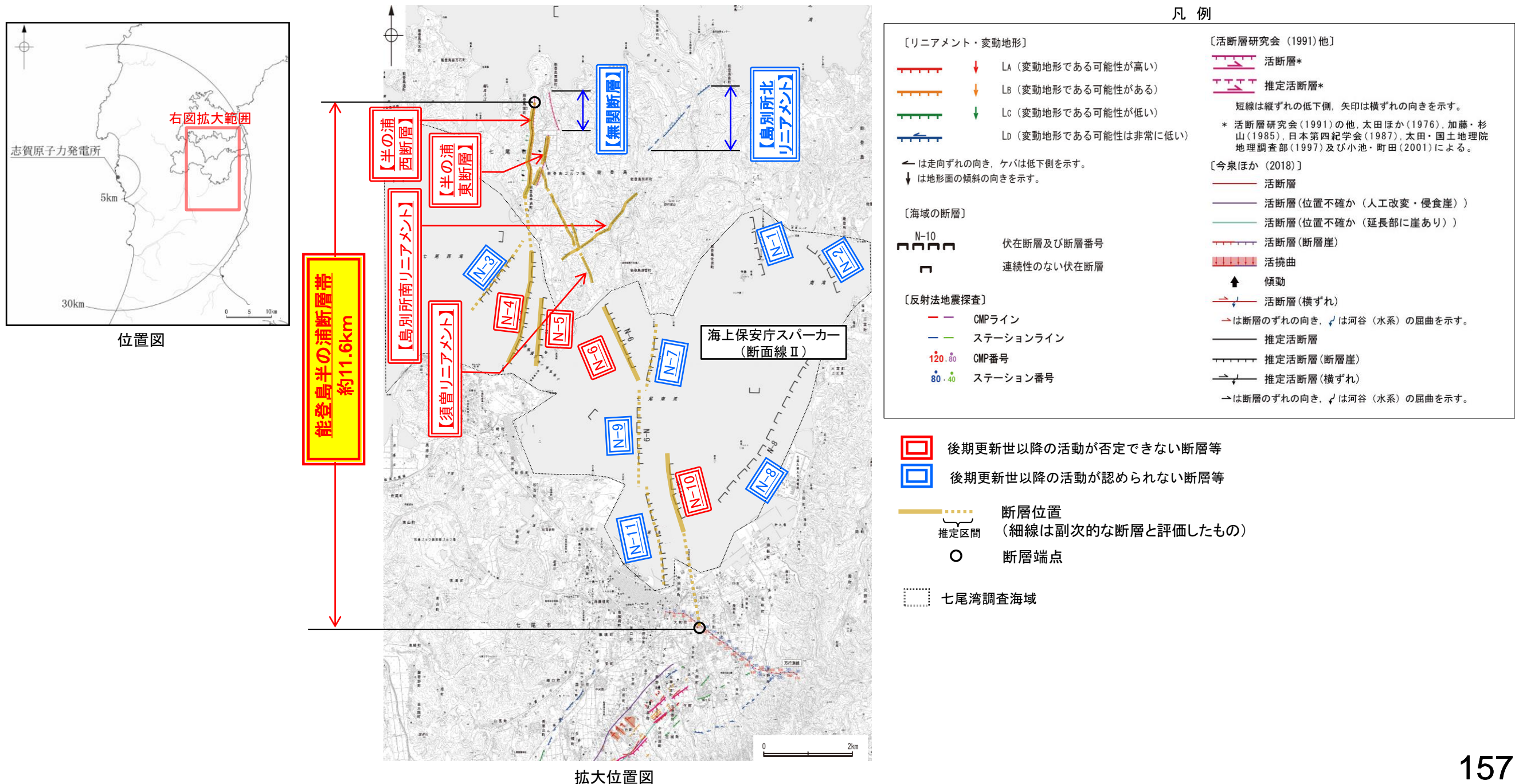
・水平一次微分図は, 左のフィルター処理後のブーゲー異常図を基に作成した。

・右図は, 陸域は本多ほか(2012), 国土地理院(2006), The Gravity Research Group in Southwest Japan (2001), Yamamoto et al. (2011), Hiramatsu et al. (2019), 海域は産業技術総合研究所地質調査総合センター(2013), 石田ほか(2018)を用いて, 金沢大学・当社が作成した。

2.6.6 能登島半の浦断層帯・無関断層・島別所北リニアメント・ 七尾湾調査海域の断層

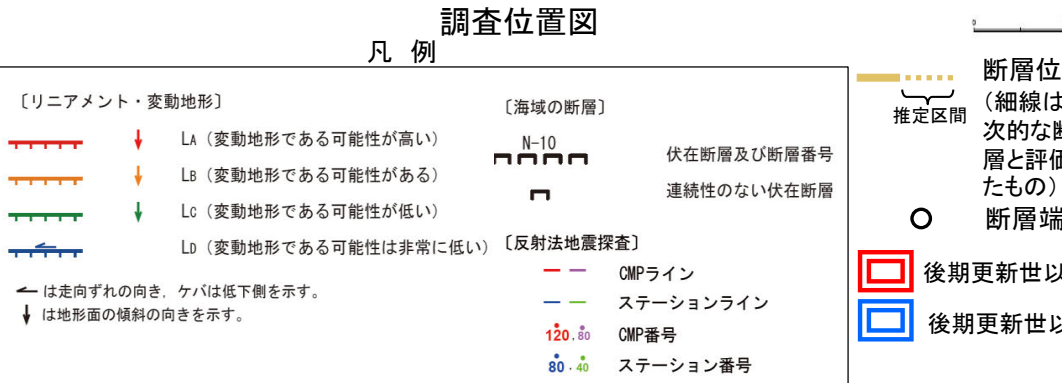
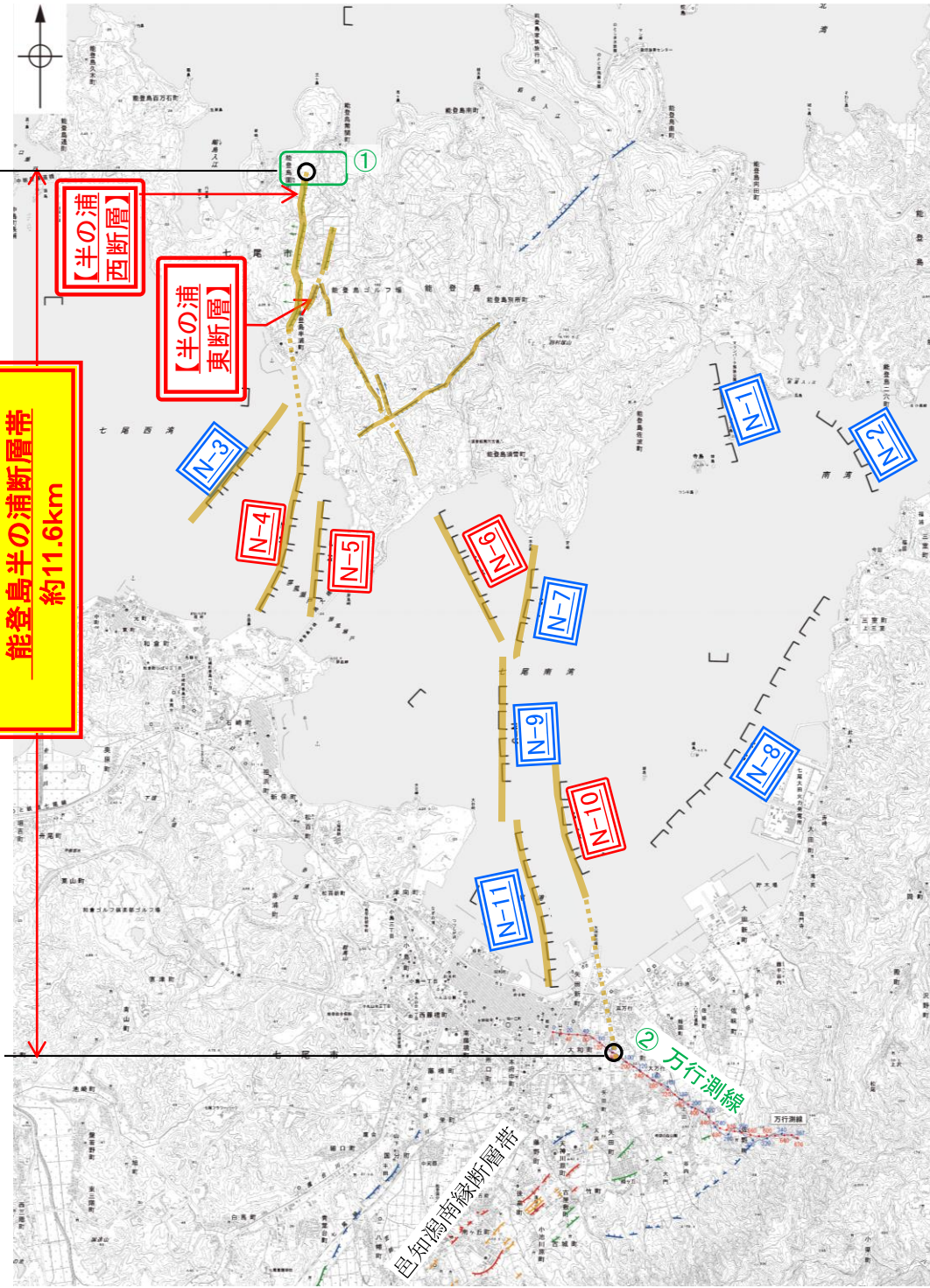
2.6.6 能登島半の浦断層帯・無関断層・島別所北リニアメント・七尾湾調査海域の断層の評価概要

- 半の浦西断層, 半の浦東断層, 七尾湾調査海域の断層(N-1~N-11), 須曽リニアメント, 島別所北リニアメント, 島別所南リニアメント及び無関断層について, 評価を行った。
- 半の浦西断層及び半の浦東断層は, 後期更新世以降の活動が否定できないと評価した。
- 七尾湾調査海域の断層は, N-1~N-3, N-7~N-9及びN-11については後期更新世以降の活動は認められないものの, N-4~N-6及びN-10について後期更新世以降の活動が否定できないと評価した。
- 半の浦西断層及び半の浦東断層と, それらの南方延長の海域に分布し後期更新世以降の活動が否定できないN-4~N-6及びN-10と後期更新世以降の活動が認められないN-3, N-7, N-9及びN-11は, 走向及び落ちの方向が一致していることから, 安全側に判断し, 一連の構造(以下, 「能登島半の浦断層帯」)として, 約11.6km区間を後期更新世以降の活動が否定できないと評価した。
- 須曽リニアメントについては, 対応する断層が認められず, 島別所南リニアメントについては, その近傍で中新統がほぼ水平に分布し, また小尾根と小河川の屈曲については組織地形である可能性が高い。しかし, これらは能登島半の浦断層帯に近接し, さらに須曽リニアメントはN-6と同走向であることを踏まえ, 安全側に判断し, 能登島半の浦断層帯の断層活動に伴う副次的なものとして評価した。
- 無関断層及び島別所北リニアメントは, 後期更新世以降の活動が認められないと評価した。



2.6.6.1 能登島半の浦断層帯
(半の浦西断層, 半の浦東断層, 七尾湾調査海域の断層,
須曽リニアメント, 島別所南リニアメント)

2.6.6.1 (1-1) 能登島半の浦断層帯の評価結果 ー 半の浦西断層, 半の浦東断層, 七尾湾調査海域の断層 ー



のとしまはん ーら
能登島半の浦断層帯に関する調査一覧表

内容	位置	目的	参照頁
① 段丘面調査	能登島半の浦断層帯北方	断層の連続性を確認	P.165, 166
② 反射法地震探査	能登島半の浦断層帯南方	断層の連続性を確認	P.193
③ 地表踏査	能登島半の浦断層帯周辺*	広域的な地質分布を確認	P.172~179
④ 海上音波探査	七尾湾調査海域	断層の有無を確認	P.183~191
⑤ 重力探査	能登島半の浦断層帯周辺*	断層の深部構造を確認	P.204

※:③, ⑤は断層周辺の全域で実施

活動性評価

(半の浦西断層及び半の浦東断層)

走向がN-S方向、傾斜が西傾斜(約60°)の逆断層と推定され、後期更新世以降の活動が否定できない。

(次頁)

(七尾湾調査海域の断層)

・N-3, N-7, N-9及びN-11は東落ちの断層であり、後期更新世以降の活動は認められない。
・N-4~N-6及びN-10は東落ちの断層であり、後期更新世以降の活動が否定できない。

(次々頁)

半の浦西断層及び半の浦東断層の南方延長の海域に分布するN-3~N-7及びN-9~N-11は、走向及び落ちの方向が一致していることから、安全側に判断して、走向がN-S方向、傾斜が西傾斜(約60°)の逆断層からなる一連の構造(能登島半の浦断層帯)と評価。

半の浦西断層の北方の高位段丘I面からN-3断層~N-7断層及びN-9断層~N-11断層南方の反射法地震探査測線(万行測線)までの約11.6km区間について、一連の構造とみなし、後期更新世以降の活動が否定できないと評価。

長さの評価

○半の浦西リニアメント北方延長に広く分布する高位段丘I面には、変位、変形は認められない(図中①)。
→高位段丘I面に変位、変形が認められない地点を能登島半の浦断層帯の北端と評価。
○反射法地震探査結果(万行測線)により、平野下では新第三系及び第四系に相当する反射パターンは連続しており、明瞭な断層や撓曲は認められない(図中②)。
○万行測線周辺に位置する邑知湯南縁断層帯とは走向及び落下方向が一致しない(図中②)。
→反射法地震探査測線(万行測線)を能登島半の浦断層帯の南端と評価。
⇒高位段丘I面に変位、変形が認められない地点から反射法地震探査(万行測線)までの約11.6km区間を評価。

・なお、重力探査の結果、半の浦西断層、半の浦東断層及び七尾湾調査海域の断層に対応する重力異常急変部は認められない(P.204)

2.6.6.1 (1-2) 半の浦西断層及び半の浦東断層の評価結果

【文献調査】(P.164)

- 太田ほか(1976)は、半の浦西断層を図示し、長さ1.8km、西側の海成段丘H₃面が12m隆起、活動度C、西側傾斜の逆断層と記載している。また、半の浦東断層については、長さ1.4km、西側の海成段丘H₃面が8m隆起、活動度C、海成段丘堆積層の急傾斜露頭と安山岩溶岩を切る断層露頭(南北走向、60°で西傾斜)を記載している。
- 活断層研究会(1991)は、半の浦西断層(確実度I、東側低下)を図示し、N-S走向、長さ2km、活動度C、西側の海成段丘H₁面及びH₃面が12m隆起と記載している。また、半の浦東断層(確実度I、東側低下)を図示し、N-S走向、長さ1km、活動度C、西側の海成段丘H₂面が8m隆起と記載している。
- 今泉ほか(2018)は、半の浦西断層及び半の浦東断層とほぼ同じ位置に、推定活断層を図示している。

【空中写真判読】(P.165)

- 文献が図示している半の浦西断層とほぼ同じ区間の約1.8km区間に、高位段丘Ⅲ面分布域の逆向き崖や高位段丘Ⅲ面の西側への増傾斜からなるCランクのリニアメント・変動地形(半の浦西リニアメント)を判読した。また、文献が図示している半の浦東断層とほぼ同じ区間の約1.1km区間に、高位段丘Ⅲ面分布域での逆向きの低崖及び直線状の谷からなるCランク及びDランクのリニアメント・変動地形(半の浦東リニアメント)を判読した。

活動性評価(半の浦西断層及び半の浦東断層)

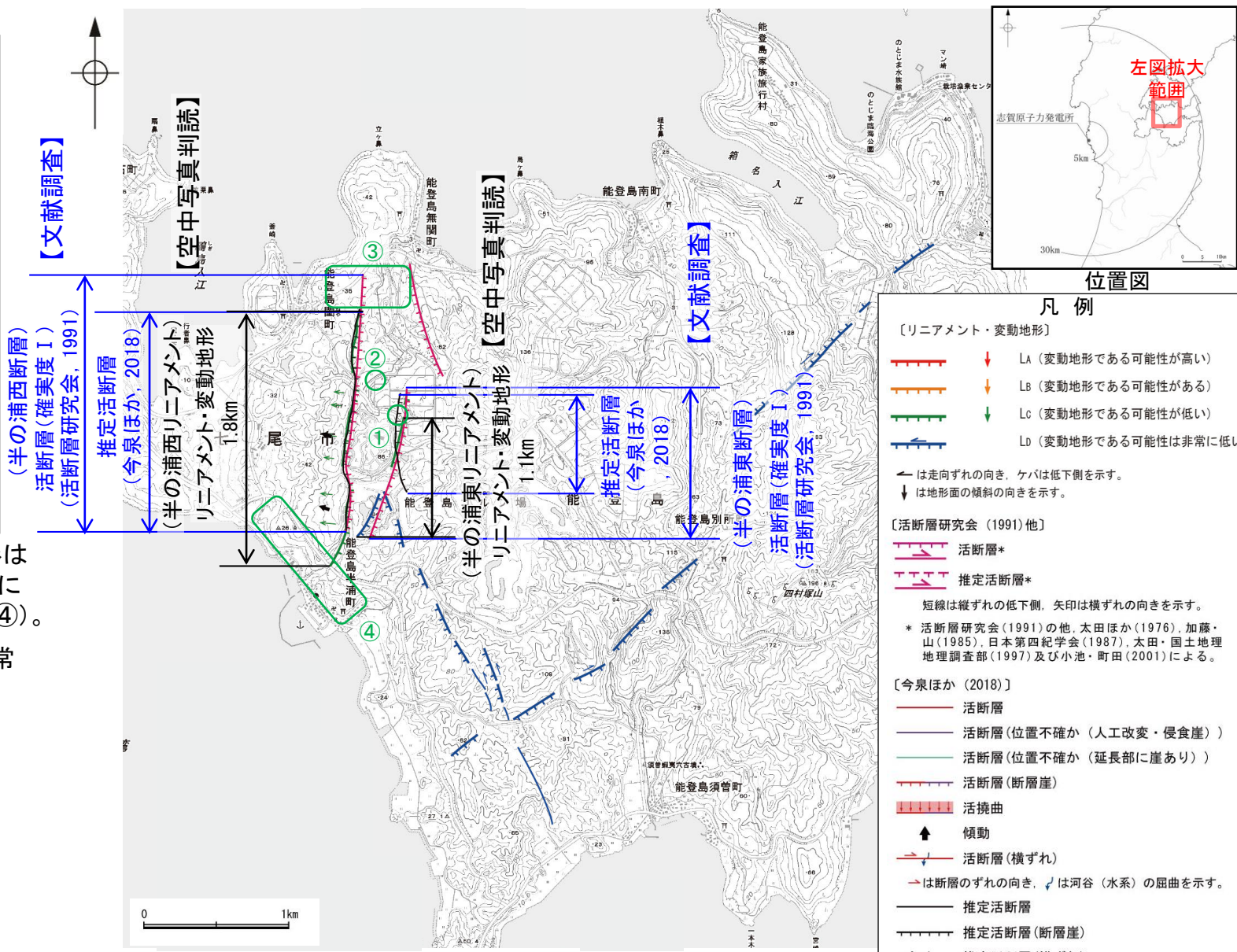
- 高位段丘Ⅲ面分布域の逆向き崖や高位段丘Ⅲ面の西側への増傾斜からなるリニアメント・変動地形が判読され、変動地形の可能性はある。
 - 太田ほか(1976)は半の浦東断層について安山岩溶岩を切る断層露頭(南北走向、60°で西傾斜)を記載している(図中①)。
 - 半の浦西リニアメント東方では、高位段丘Ⅱ面堆積層に変位を与える断層露頭が確認され、半の浦西リニアメントと関連する構造の可能性はある(図中②)。
- ⇒文献調査及び空中写真判読の結果、半の浦西断層及び半の浦東断層は、走向がN-S方向、傾斜が西傾斜(約60°)の逆断層と推定され、後期更新世以降の活動が否定できないと評価。

- ・半の浦西リニアメント北方延長に広く分布する高位段丘Ⅰ面には、変位、変形は認められず(図中③)、南方延長に分布する高位段丘Ⅰ面及び中位段丘Ⅰ面には、半の浦西リニアメントの延長位置を挟んで、高度差が認められない(図中④)。
- ・なお、重力探査の結果、半の浦西断層及び半の浦東断層に対応する重力異常急変部は認められない(P.204)。

半の浦西・半の浦東断層に関する調査一覧表

内容	位置	目的	参照頁
① 文献調査	はん うらひがし 半の浦東断層	断層の活動性評価	P.164
② 地表踏査	はん うらにし 半の浦西リニアメント東方	断層の活動性評価	P.173
③ 段丘面調査	はん うらにし 半の浦西リニアメント北方	断層の連続性を確認	P.165~166
④ 段丘面調査	はん うらにし 半の浦西リニアメント南方	断層の連続性を確認	P.165~166
⑤ 地表踏査	はん うらにし はん うらひがし 半の浦西・半の浦東断層周辺*	広域的な地質分布を確認	P.172
⑥ 重力探査	はん うらにし はん うらひがし 半の浦西・半の浦東断層周辺*	断層の深部構造を確認	P.204

※:⑤~⑥は断層周辺の全域で実施



調査位置図

2.6.6.1 (1-3) 七尾湾調査海域の断層の評価結果

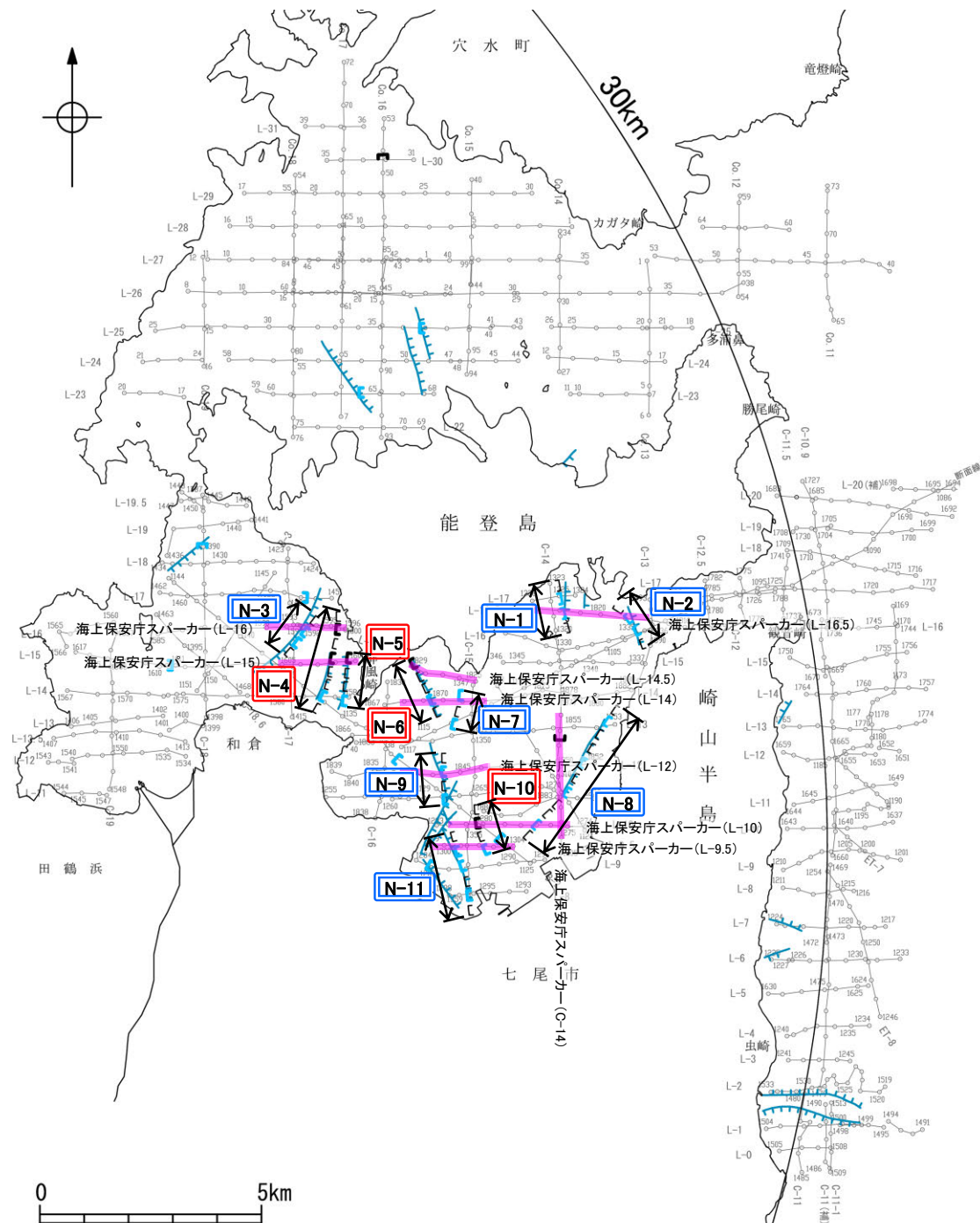
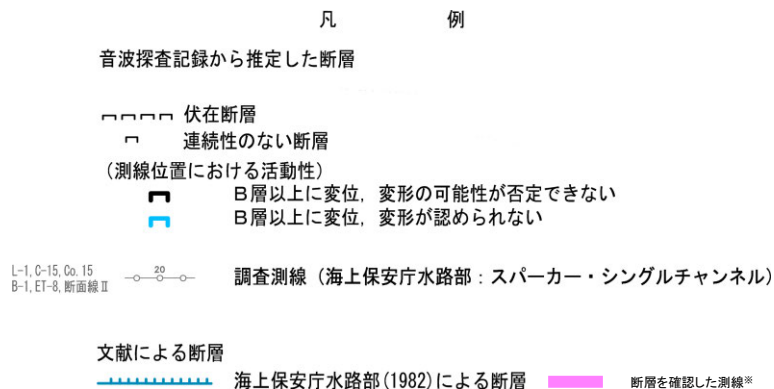
【文献調査】(P.181)

- 海上保安庁水路部(1982)は、七尾湾調査海域に24条の断層を図示しており、大部分を伏在断層としている。
- 岡村(2002)は、七尾湾調査海域に断層を図示していない。
- 国交省ほか(2014)は、七尾湾調査海域に断層トレースを記載していない。
- 文科省ほか(2015)は、七尾湾調査海域に震源断層モデルを設定していない。

活動性評価(七尾湾調査海域の断層)

- 海上音波探査の結果、主に東落ちの長さ5km以内の断層が11条(N-1~N-11)推定され、いずれもD層内に伏在している。
- N-1~N-3, N-7~N-9及びN-11はB₁層以上に変位、変形が認められないと判断したが、N-4~N-6及びN-10の一部では、後期更新世以降の活動の判定が可能な上載層が分布しないことから、B層以上に変位、変形の可能性が否定できないと判断した(P.183~191)。
- ⇒文献調査及び海上音波探査の結果、N-1~N-3, N-7~N-9及びN-11は、後期更新世以降の活動は認められないと評価。
- ⇒N-4~N-6及びN-10は、後期更新世以降の活動が否定できないと評価。

・なお、重力探査の結果、七尾湾調査海域の断層(N-1~N-11)に対応する重力異常急変部は認められない(P.204)。



位置図

- 後期更新世以降の活動が否定できない断層等
- 後期更新世以降の活動が認められない断層等

七尾湾調査海域の断層の位置図

※: ■ 以外の七尾湾調査海域の断層を確認した音波探査記録はデータ集2

2.6.6.1 (2) 能登島半の浦断層帯の評価結果 — 須曽リニアメント及び島別所南リニアメント —

【空中写真判読】(P.165)

○文献が図示している半の浦西断層及び半の浦東断層付近より南東方の約2.6km区間において、丘陵斜面における西側低下の崖、鞍部及び直線状の谷からなり、一部、小尾根と小河川にわずかな左方向への屈曲を伴うDランクのリニアメント・変動地形(須曽リニアメント)を判読した。また、さらにその東方の約2.2km区間に小起伏面における南側低下の崖、丘陵斜面における直線状の谷、鞍部からなり、一部、小尾根と小河川にわずかな右方向への屈曲を伴うDランクのリニアメント・変動地形(島別所南リニアメント)を判読した。

【文献調査】(P.164)

○活断層研究会(1991)及び今泉ほか(2018)は、須曽リニアメント及び島別所南リニアメントの位置に活断層等を図示していない。

すそしまべつしよみなみ
須曽・島別所南リニアメントに関する調査一覧表

内容	位置	目的	参照頁
① 露頭調査	須曽リニアメント周辺	断層の活動性評価	P.174~177
② 露頭調査	島別所南リニアメント周辺	断層の活動性評価	P.178
③ 露頭調査	島別所南リニアメント周辺	断層の活動性評価	P.179
④ 地表踏査	須曽・島別所南リニアメント周辺*	広域的な地質分布を確認	P.172
⑤ 重力探査	須曽・島別所南リニアメント周辺*	断層の深部構造を確認	P.204

※:④, ⑤は断層周辺の全域で実施



位置図

凡例

[リニアメント・変動地形]		[海域の断層]	
LA (変動地形である可能性が高い)	↓	N-10	伏在断層及び断層番号
LB (変動地形である可能性がある)	↓	□	連続性のない伏在断層
LC (変動地形である可能性が低い)	↓		
LD (変動地形である可能性は非常に低い)	↓		
← は走向ずれの向き、ケバは低下側を示す。 ↓ は地形面の傾斜の向きを示す。		[反射法地震探査]	
		—	CMPライン
		—	ステーションライン
		120.80	CMP番号
		80.40	ステーション番号

活動性評価(須曽リニアメント)

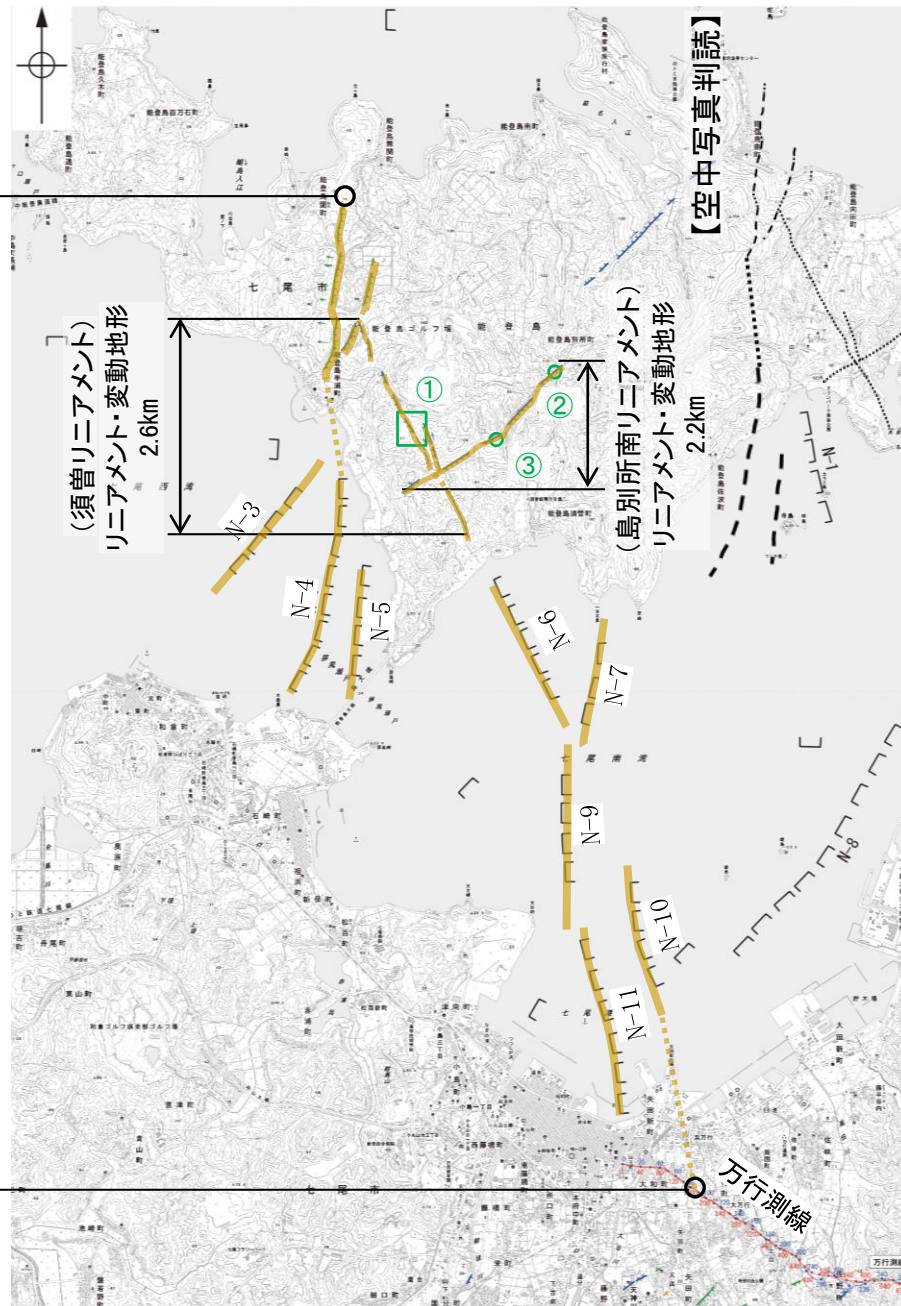
○須曽リニアメントを横断して中新世の別所岳安山岩類が連続して分布し、そこに断層は認められない(図中①)。

活動性評価(島別所南リニアメント)

○島別所南リニアメントの近傍では、中新世の和倉珪藻泥岩層がほぼ水平に分布している(図中②)。
○リニアメント・変動地形沿いの小河川の屈曲については、別所岳安山岩類中の岩質の差を反映したものであり、組織地形である可能性が大きい(図中③)。

・須曽リニアメントは、リニアメント・変動地形として判読した西側低下の崖等を横断して別所岳安山岩類が連続して分布し、そこに断層は認められない。
・また、島別所南リニアメントは、リニアメント・変動地形として判読した低崖の近傍では中新世の和倉珪藻泥岩がほぼ水平に分布し、また小尾根と小河川の屈曲については別所岳安山岩類中の岩質の差を反映した組織地形である可能性が大きい。
・しかし、これらは能登島半の浦断層帯に近接し、さらに須曽リニアメントはN-6と同走向であることを踏まえ、安全側に判断し、能登島半の浦断層帯の断層活動に伴う副次的なものとして評価した。

・なお、重力探査の結果、島別所南リニアメント、須曽リニアメントに対応する重力異常急変部は認められない(P.204)。162



調査位置図



断層位置
(細線は副次的な断層と評価したもの)
断層端点

能登島半の浦断層帯

2.6.6.1.1 半の浦西断層・半の浦東断層・須曽リニアメント・
島別所南リニアメント

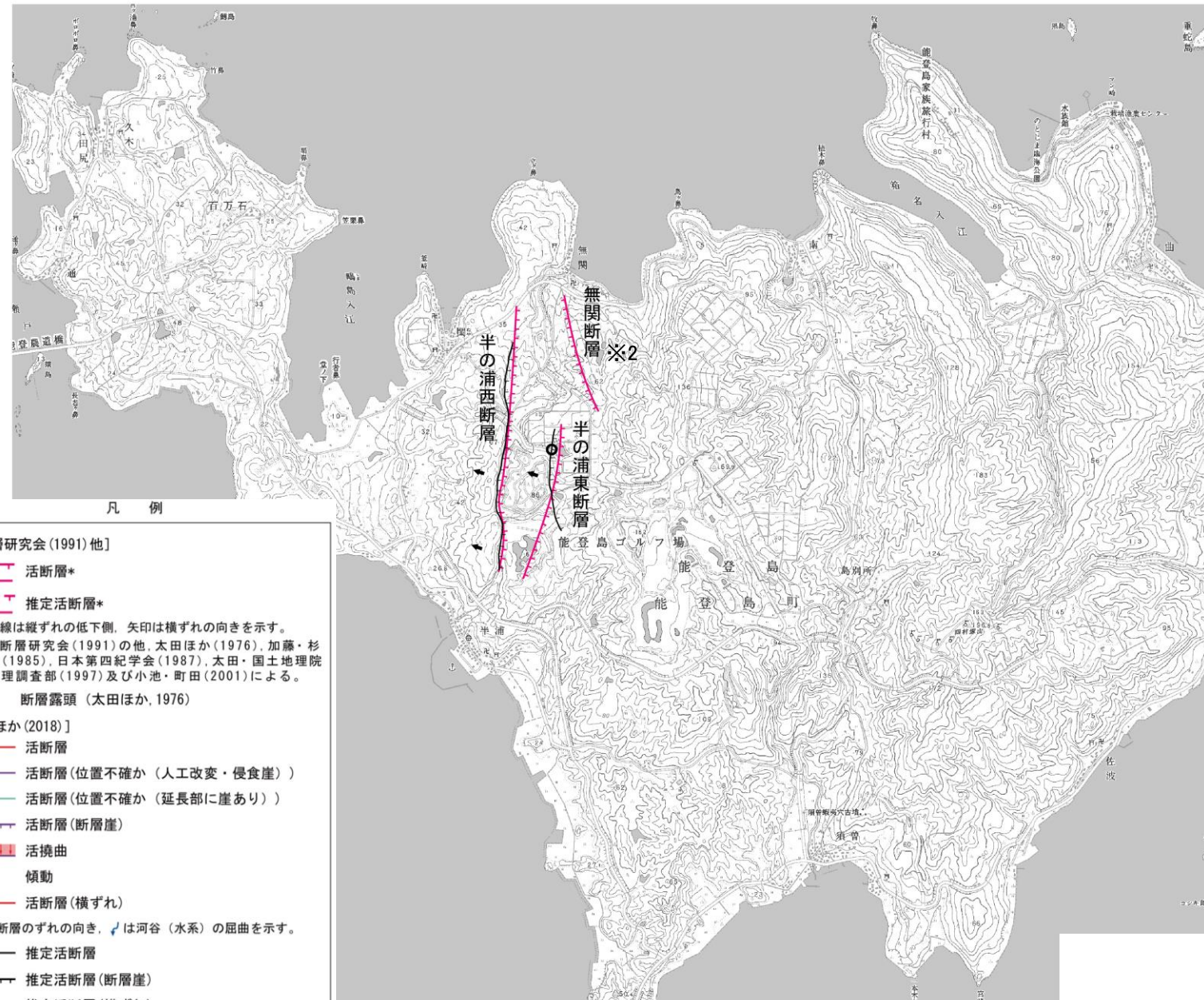
2.6.6.1.1 (1) 半の浦西断層・半の浦東断層・須曽リニアメント・島別所南リニアメントの文献調査

- 太田ほか(1976)は、半の浦西断層を図示し、長さ1.8km、西側の海成段丘H₃面※1が12m隆起、活動度C、西側傾斜の逆断層と記載している。また、半の浦東断層については、長さ1.4km、西側の海成段丘H₃面※1が8m隆起、活動度C、海成段丘堆積層の急傾斜露頭と安山岩溶岩を切る断層露頭(南北走向、60°で西傾斜、下図に露頭位置を図示)を記載している。
- 「新編 日本の活断層」(活断層研究会, 1991)は、敷地から約21km北東に、半の浦西断層(確実度 I, 東側低下)を図示し、N-S走向、長さ2km、活動度C、西側の海成段丘H₁面及びH₃面※1が12m隆起と記載している。また、半の浦東断層(確実度 I, 東側低下)を図示し、N-S走向、長さ1km、活動度C、西側の海成段丘H₂面※1が8m隆起と記載している。
- 「活断層詳細デジタルマップ[新編]」(今泉ほか, 2018)は、半の浦西断層及び半の浦東断層とほぼ同じ位置に推定活断層を図示している。
- その他、加藤・杉山(1985)は、半の浦西断層及び半の浦東断層とほぼ同じ位置に、主として第四紀後期に活動した活断層を図示し、東側落下、平均変位速度1m/10³年未満としている。日本第四紀学会(1987)は、半の浦西断層とほぼ同じ位置に第四紀後期に活動した活断層を図示し、南東側落下としている。太田・国土地理院地理調査部(1997)は、半の浦西断層及び半の浦東断層とほぼ同じ位置に活断層を図示している。小池・町田(2001)は、半の浦西断層及び半の浦東断層とほぼ同じ位置に東側落下の活断層を図示している。
- 「活断層データベース」(産業技術総合研究所地質調査総合センター)は、半の浦西断層、半の浦東断層、須曽リニアメント及び島別所南リニアメントを起震断層・活動セグメントとして示していない。

※1 太田ほか(1976)ではM₁面を下末吉面(最終間氷期)に対比して12万年前、H₃面をM₁面のもう一つ前の間氷期として22万年前、H₁面、H₂面、T₁面などのそれより古い面は>22万年前としている。



位置図



※2 無関断層の詳細は「2.6.6.2 無関断層・島別所北リニアメント」

位置図

2.6.6.1.1 (2) 半の浦西断層・半の浦東断層・須曽リニアメント・島別所南リニアメントの地形調査

○半の浦西リニアメント及び半の浦東リニアメントは約1.8km区間にほぼ平行して判読され、半の浦西リニアメントは高位段丘Ⅲ面分布域の逆向き崖や高位段丘Ⅲ面の西側への増傾斜からなるCランクのリニアメント・変動地形であり、半の浦西断層にほぼ対応する(次頁, 次々頁)。ただし、半の浦西リニアメント北方延長に広く分布する高位段丘Ⅰ面には変位・変形が認められず、南方延長に分布する高位段丘Ⅰ面及び中位段丘Ⅰ面には、半の浦西リニアメントの延長位置を挟んでそれぞれに高度差が認められない(次頁)。

○半の浦東リニアメントは、高位段丘Ⅲ面分布域での逆向きの低崖及び直線状の谷からなるCランク及びDランクのリニアメント・変動地形であり、半の浦東断層にほぼ対応する(次頁, 次々頁)。

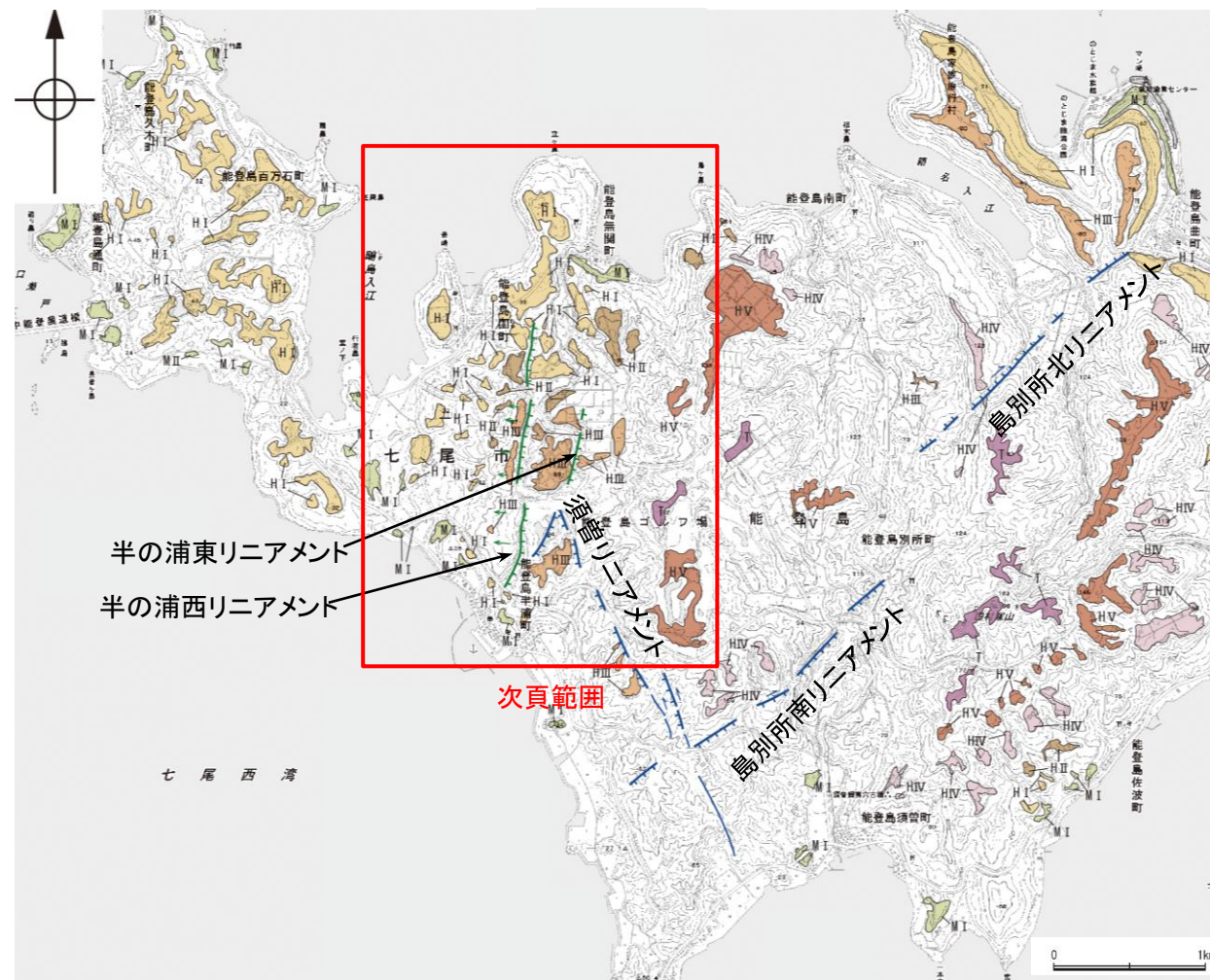
○以上より、半の浦西リニアメント及び半の浦東リニアメントについて、後期更新世以降の活動の可能性があるものと評価する。

○須曽リニアメントは約2.6km区間に判読され、これは丘陵斜面において西側低下の崖、鞍部及び直線状の谷からなり、一部、小尾根と小河川にわずかな左方向への屈曲を伴うDランクのリニアメント・変動地形である(P.168, 169, 171)。

○島別所南リニアメントは約2.2km区間に判読され、これは小起伏面において南側低下の崖、丘陵斜面において直線状の谷、鞍部からなり、一部、小尾根と小河川にわずかな右方向への屈曲を伴うDランクのリニアメント・変動地形である(P.168, 170, 171)。



位置図



リニアメント・変動地形分布図

凡例

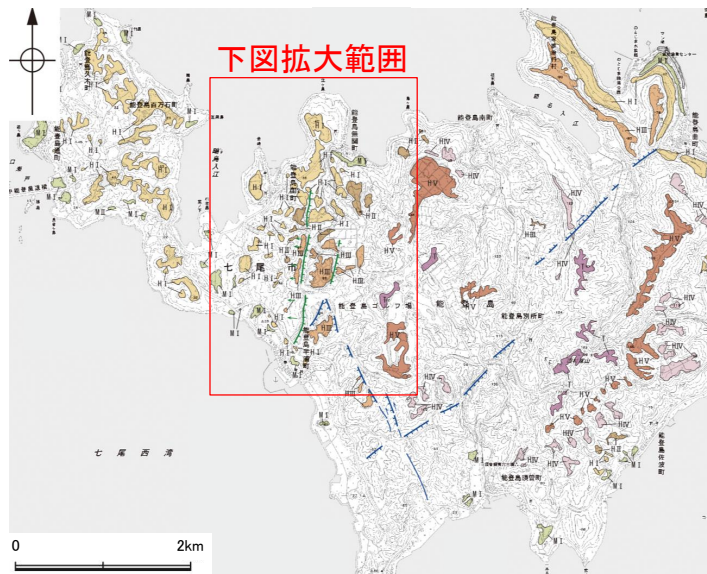
〔段丘面〕	
T 最高位段丘面群	HI 高位段丘Ⅰ面
HV 高位段丘Ⅴ面	MI 中位段丘Ⅰ面
HIV 高位段丘Ⅳ面	A 沖積段丘面
HIII 高位段丘Ⅲ面	
HII 高位段丘Ⅱ面	

〔リニアメント・変動地形〕	
	Lc (変動地形である可能性が低い)
	Ld (変動地形である可能性は非常に低い)

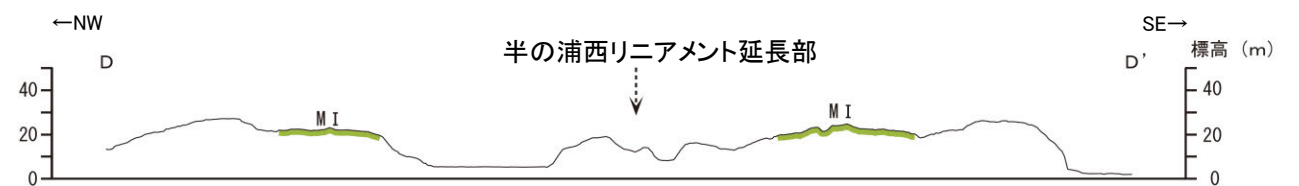
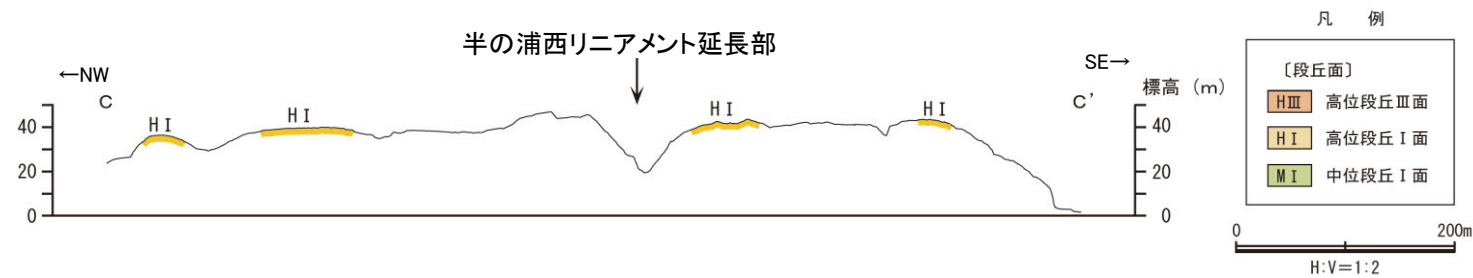
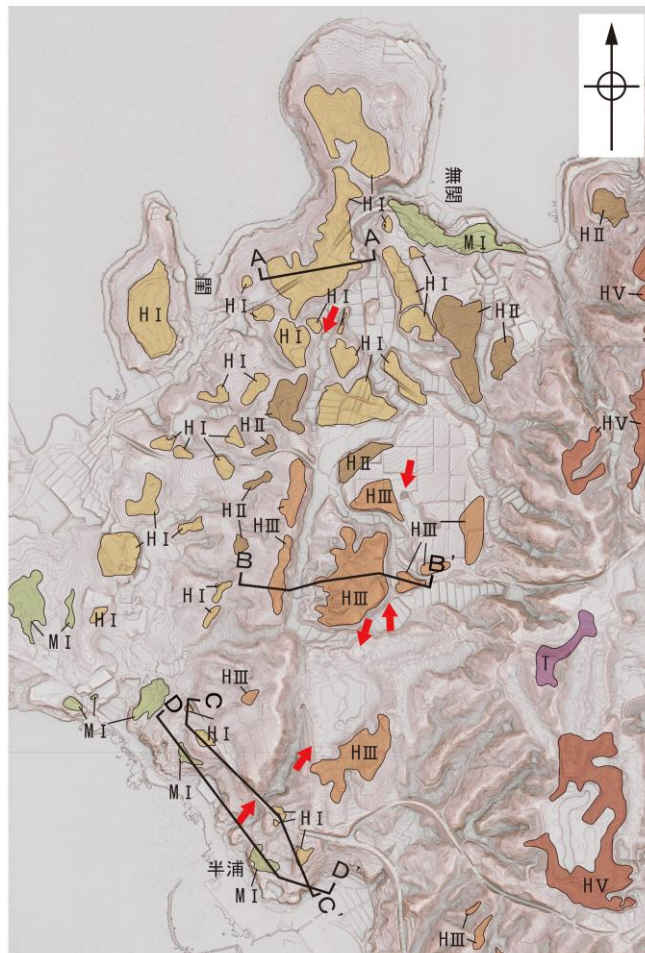
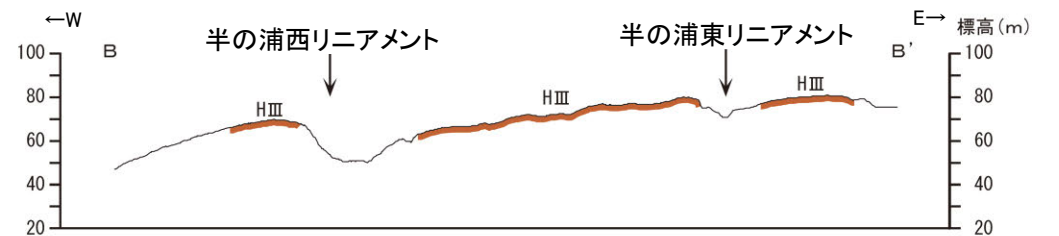
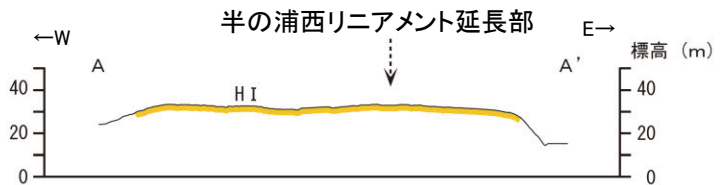
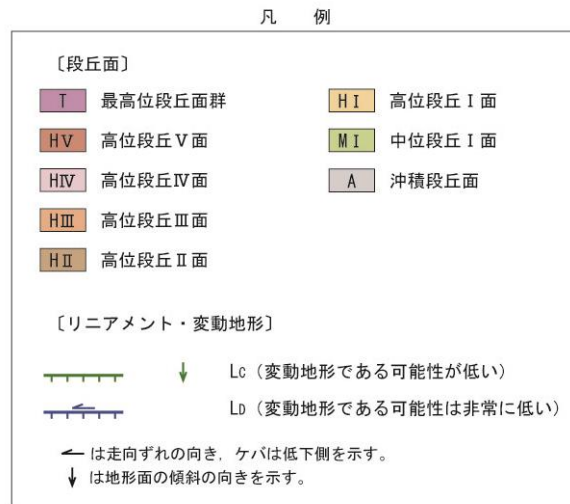
← は走向ずれの向き、ケバは低下側を示す。
 ↓ は地形面の傾斜の向きを示す。

半の浦西リニアメント
半の浦東リニアメント

【半の浦西リニアメント・半の浦東リニアメント周辺の赤色立体地図，地形断面図】



位置図



地形断面図
(航空レーザ計測データにより作成)

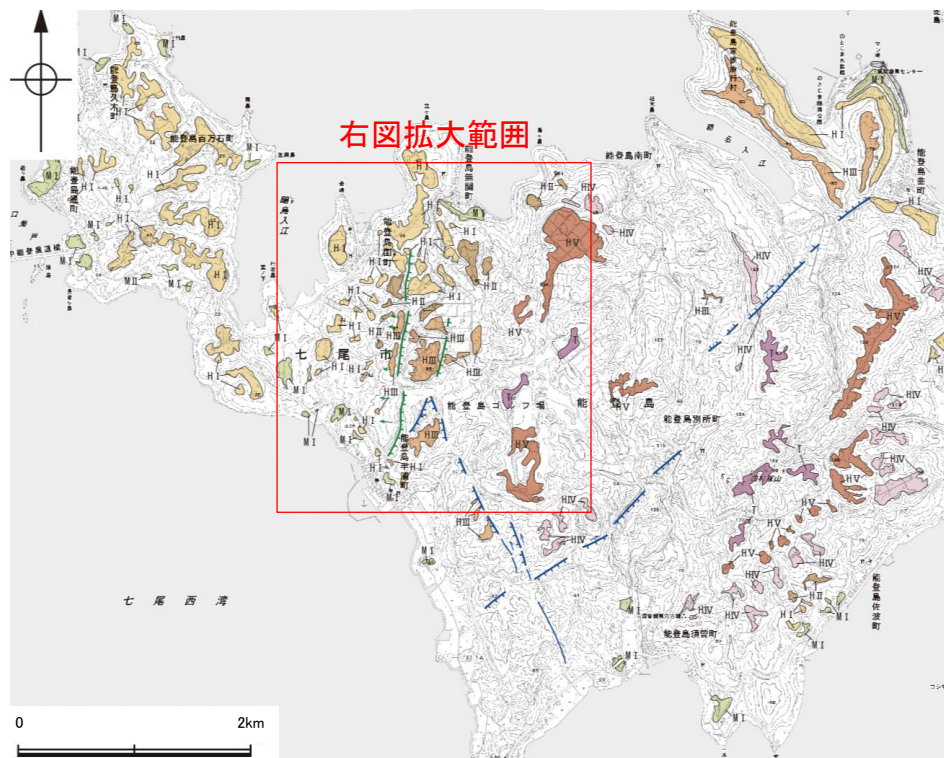
この図は、航空レーザ計測データから作成した赤色立体地図（等高線は1m間隔）を使用したものである。



赤色立体地図(航空レーザ計測データにより作成)

【半の浦西リニアメント・半の浦東リニアメント周辺の地形の特徴】

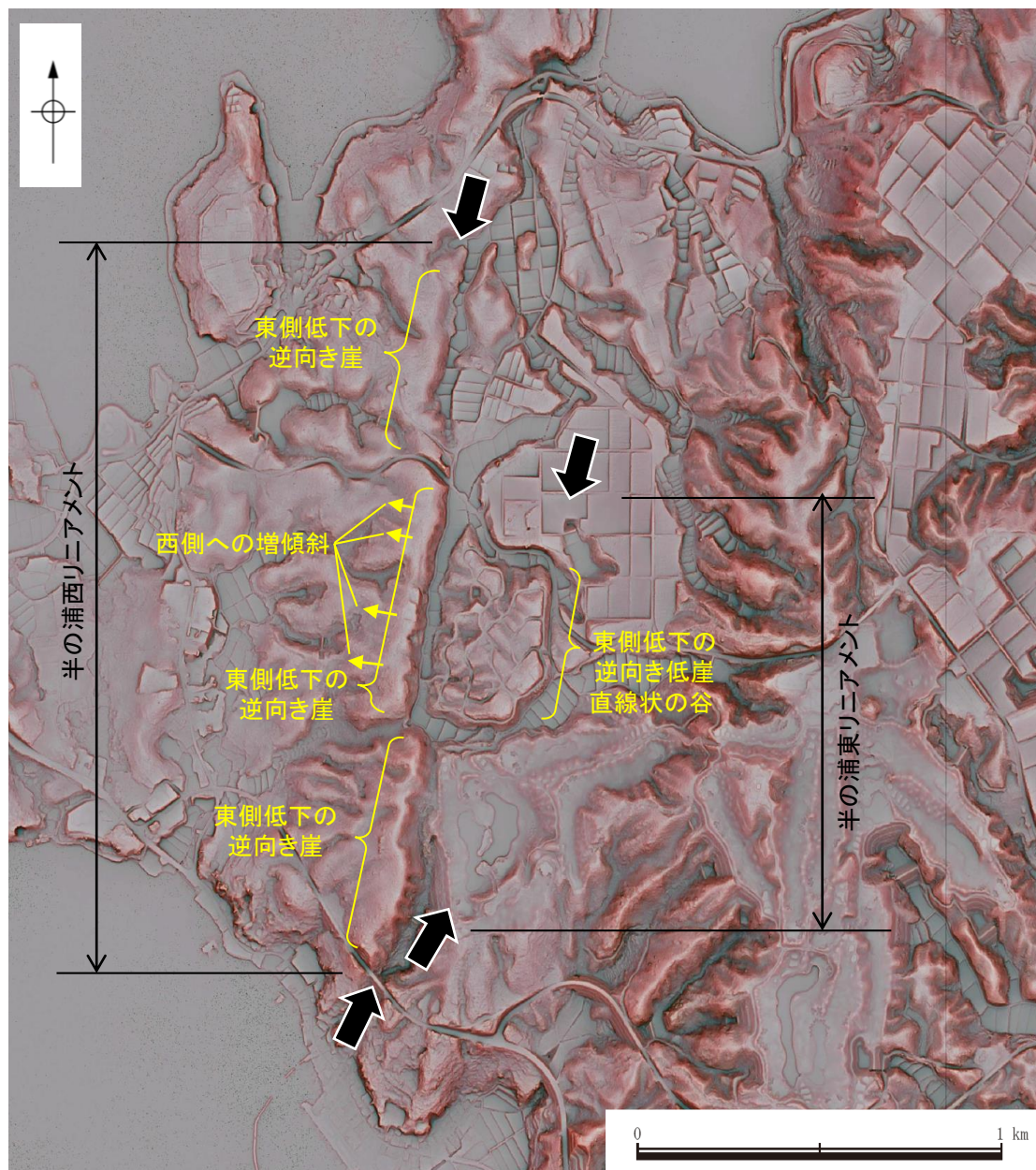
- 半の浦西リニアメント周辺の地形について、空中写真判読及び航空レーザ計測データによれば、逆向き崖や西側への増傾斜が認められる。
- 半の浦東リニアメント周辺の地形について、空中写真判読及び航空レーザ計測データによれば、逆向きの低崖及び直線状の谷が認められる。



位置図

凡 例

〔段丘面〕	
T 最高位段丘面群	HI 高位段丘 I 面
HV 高位段丘 V 面	MI 中位段丘 I 面
HIV 高位段丘 IV 面	A 沖積段丘面
HIII 高位段丘 III 面	
HII 高位段丘 II 面	
〔リニアメント・変動地形〕	
— ↓ Lc (変動地形である可能性が低い)	
— ↓ Ld (変動地形である可能性は非常に低い)	
← は走向ずれの向き、ケバは低下側を示す。 ↓ は地形面の傾斜の向きを示す。	



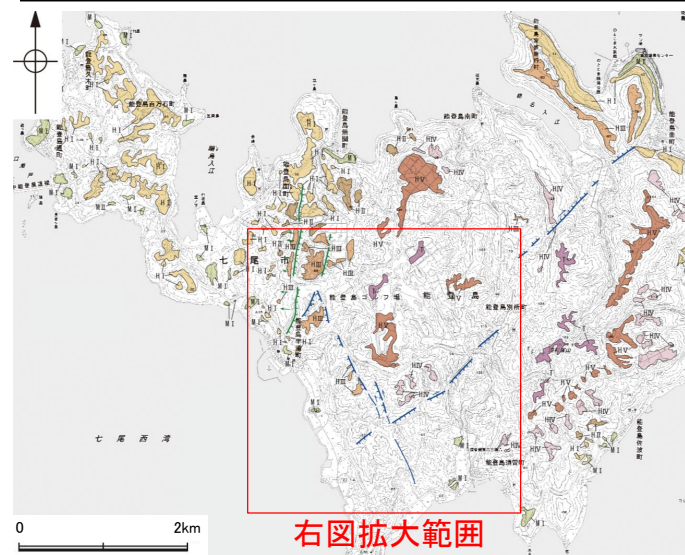
リニアメント・変動地形の地形要素

➡ ← リニアメント・変動地形

【島別所南リアメント・須曽リアメント周辺の赤色立体地図】

○須曽リアメントは約2.6km区間に判読され、これは丘陵斜面において西側低下の崖、鞍部及び直線状の谷からなり、一部、小尾根と小河川にわずかな左方向への屈曲を伴うDランクのリアメント・変動地形である(本頁, 次頁, P.171)。

○島別所南リアメントは約2.2km区間に判読され、これは小起伏面において南側低下の崖、丘陵斜面において直線状の谷、鞍部からなり、一部、小尾根と小河川にわずかな右方向への屈曲を伴うDランクのリアメント・変動地形である(本頁, 次々頁, P.171)。

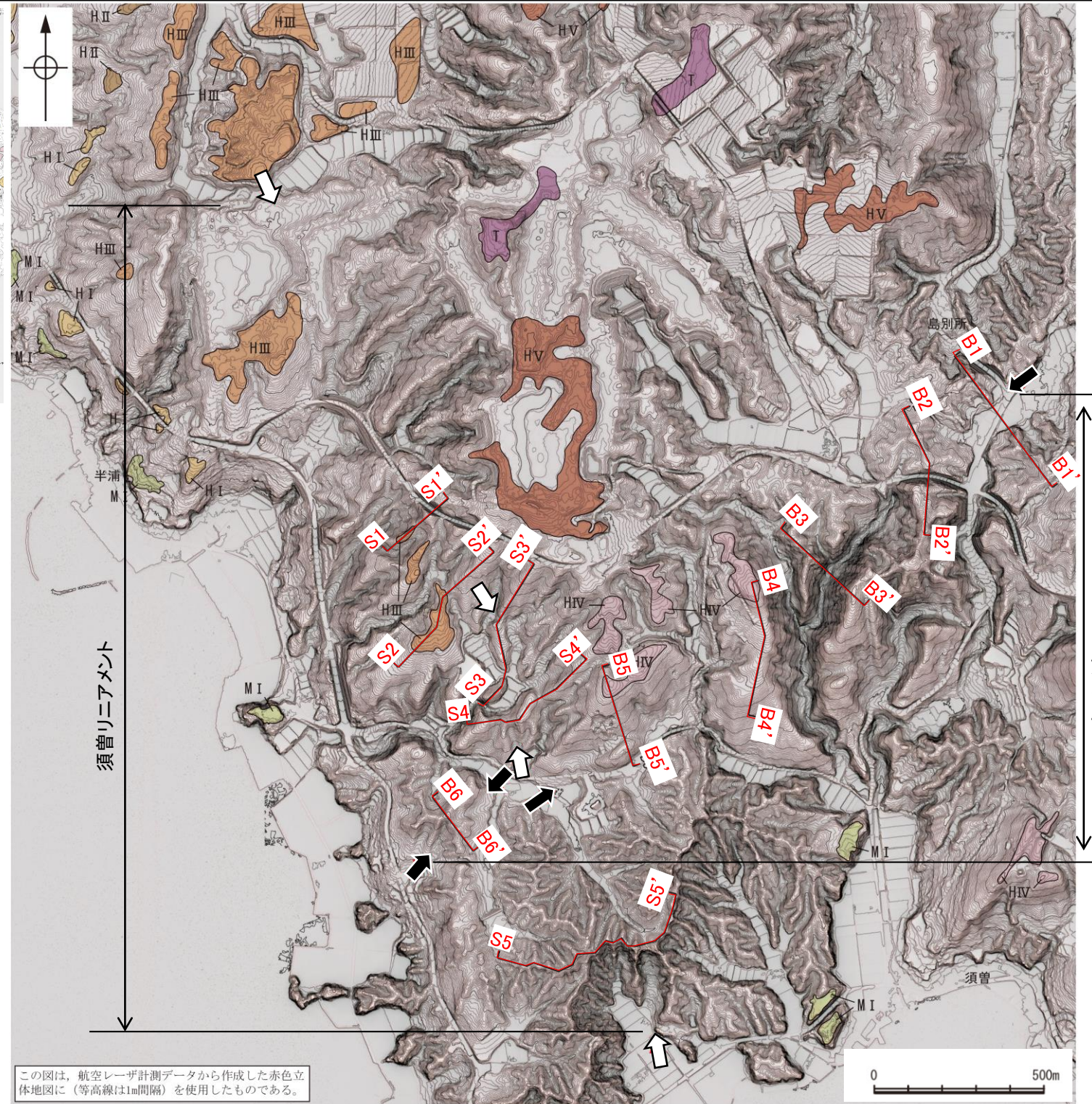


右図拡大範囲

位置図

凡例

〔段丘面〕	
T	最高位段丘面群
HV	高位段丘V面
HIV	高位段丘IV面
HIII	高位段丘III面
HII	高位段丘II面
HI	高位段丘I面
MI	中位段丘I面
A	沖積段丘面
〔リアメント・変動地形〕	
	Lc (変動地形である可能性が低い)
	Ld (変動地形である可能性は非常に低い)
	← は走向ずれの向き, ケバは低下側を示す。 ↓ は地形面の傾斜の向きを示す。



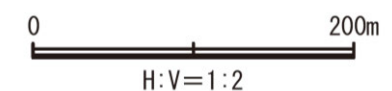
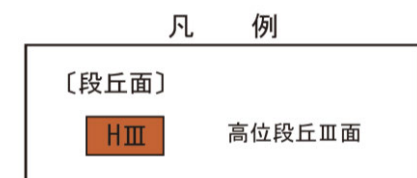
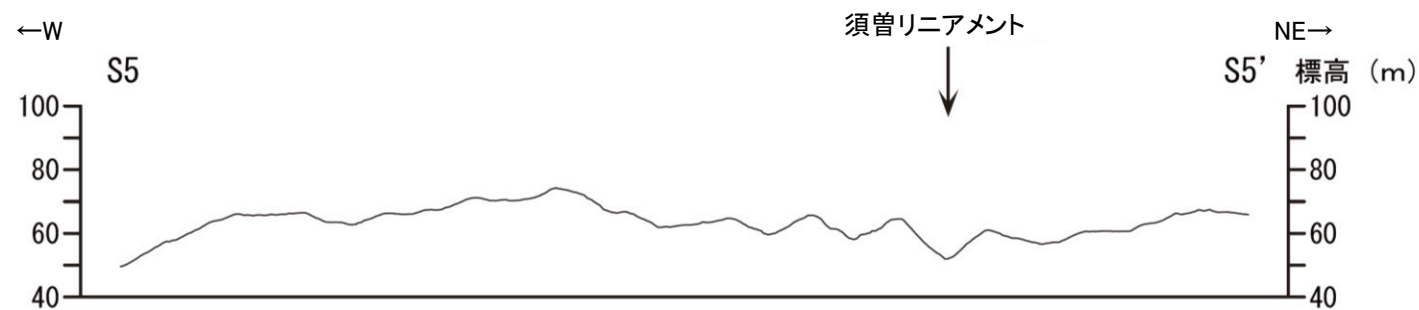
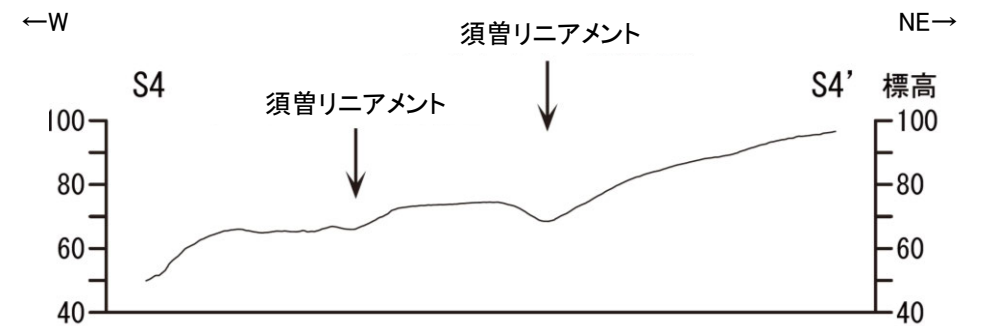
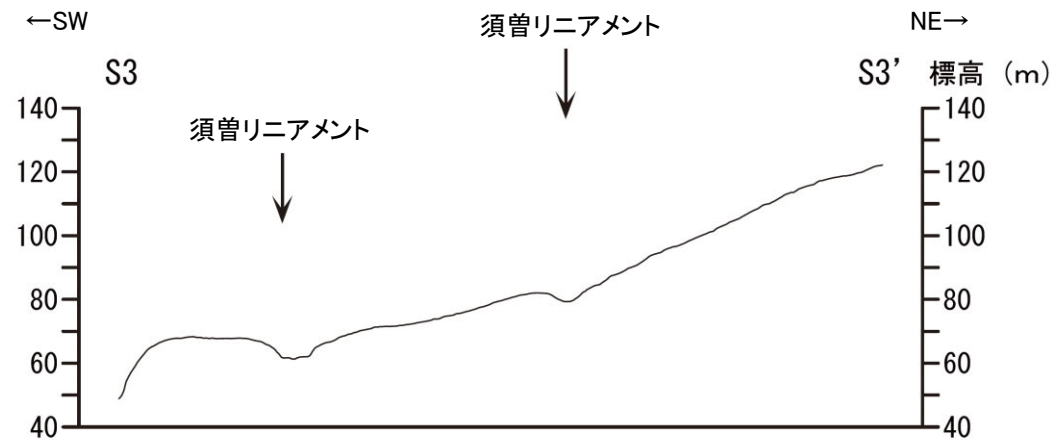
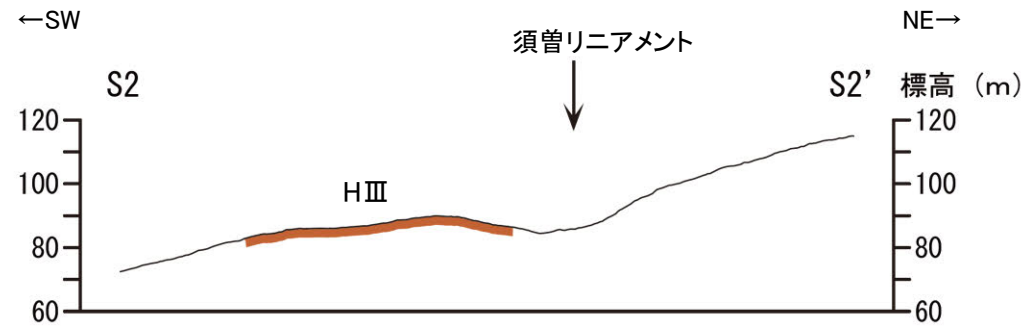
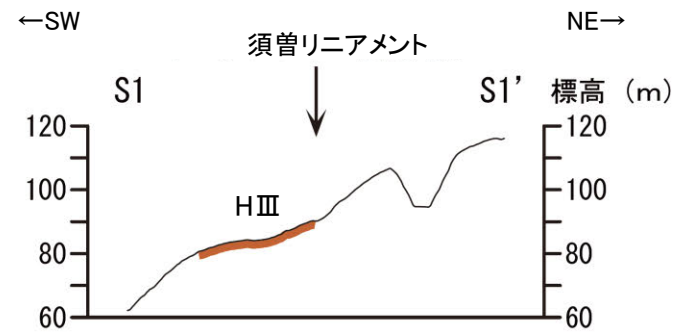
島別所南リアメント

〔段丘面〕	
T	最高位段丘面群
HV	高位段丘V面
HIV	高位段丘IV面
HIII	高位段丘III面
HII	高位段丘II面
HI	高位段丘I面
MI	中位段丘I面
A	沖積段丘面
〔記号〕	
	島別所南リアメント
	須曽リアメント
	地形断面線

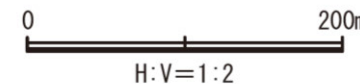
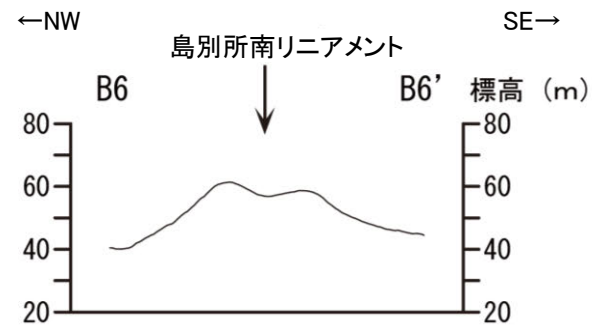
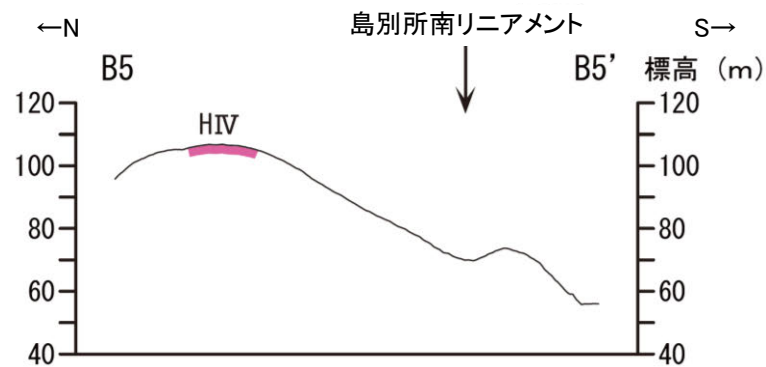
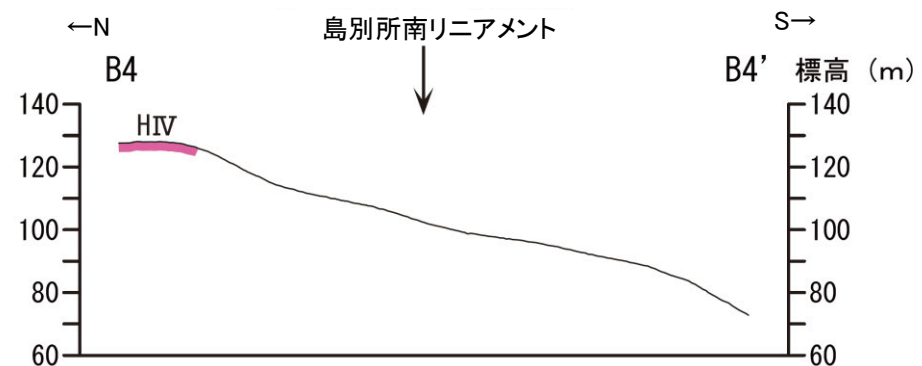
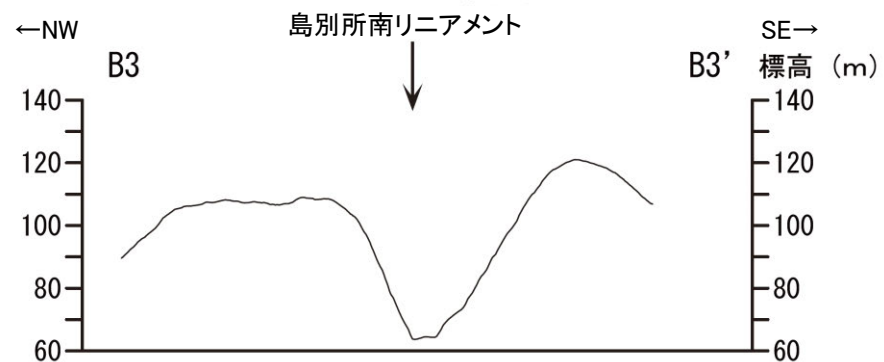
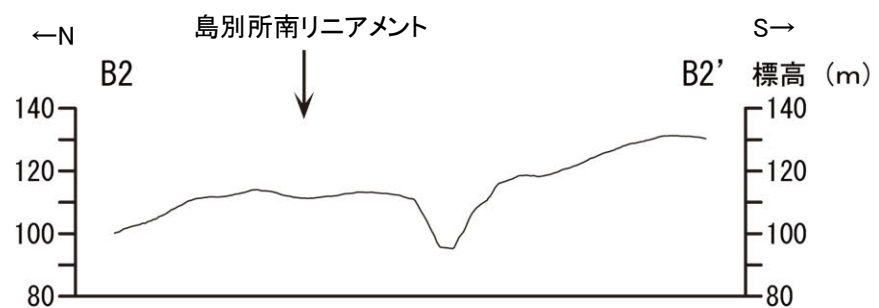
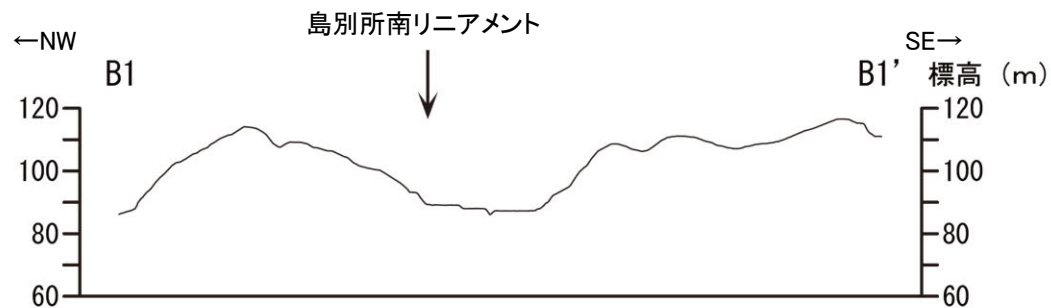
この図は、航空レーザ計測データから作成した赤色立体地図に(等高線は1m間隔)を使用したものである。

赤色立体地図(航空レーザ計測データにより作成)

【須曽リニアメント周辺の地形断面図】



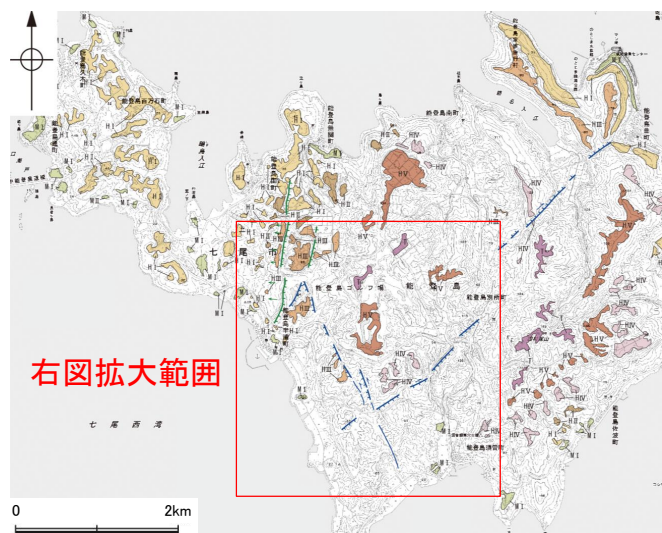
【島別所南リニアメント周辺の地形断面図】



地形断面図(航空レーザ計測データにより作成)

【島別所南リニアメント・須曽リニアメント周辺の地形の特徴】

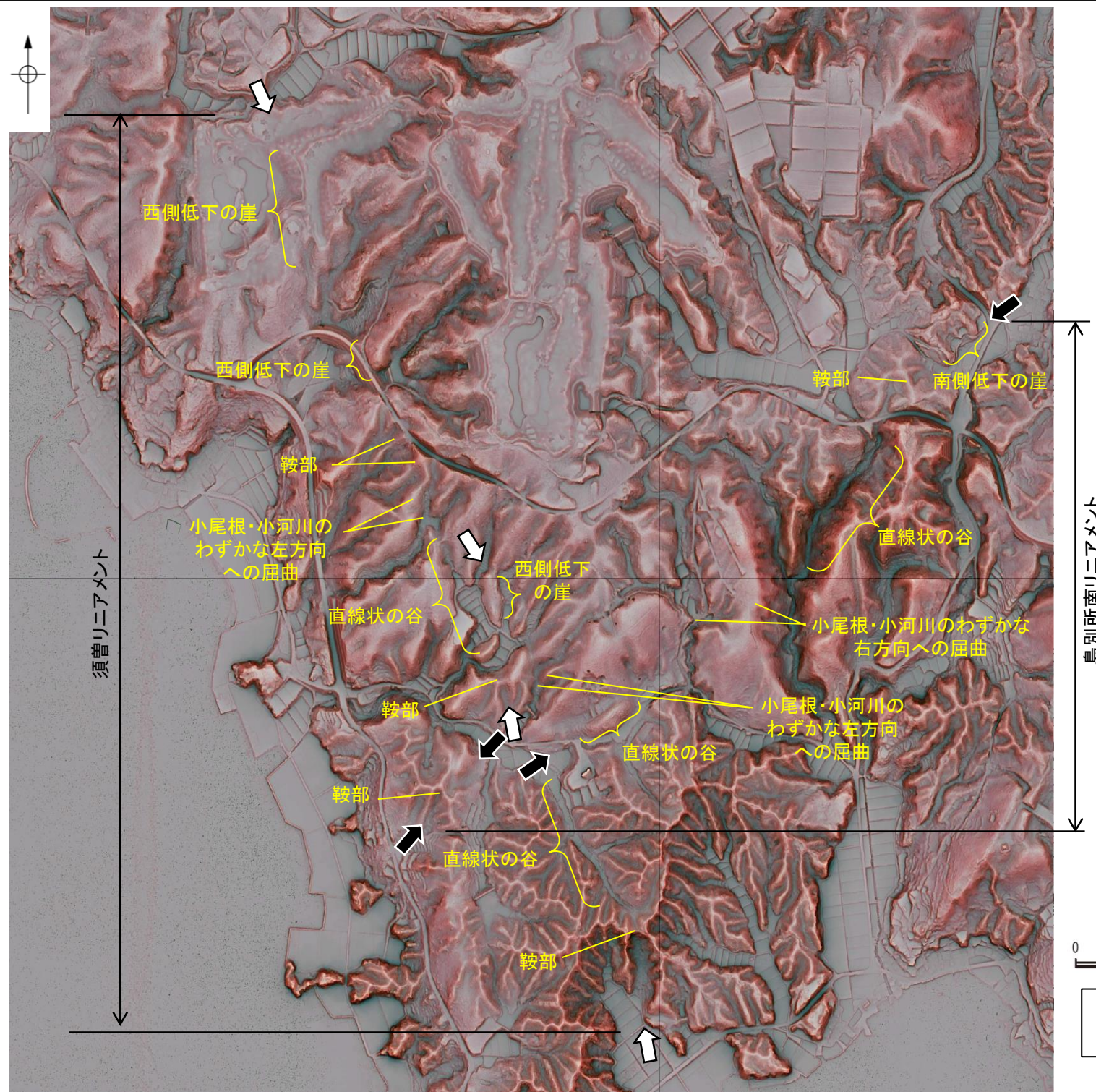
- 島別所南リニアメント周辺の地形について、空中写真判読及び航空レーザ計測データによれば、小起伏面において南側低下の崖、丘陵斜面において直線状の谷、鞍部が判読され、一部、小尾根と小河川にわずかな右方向への屈曲を伴う。
- 須曽リニアメント周辺の地形について、空中写真判読及び航空レーザ計測データによれば、丘陵斜面において西側低下の崖、鞍部及び直線状の谷が判読され、一部、小尾根と小河川にわずかな左方向への屈曲を伴う。



位置図

凡 例

〔段丘面〕	
最高位段丘面群	高位段丘 I 面
高位段丘 V 面	中位段丘 I 面
高位段丘 IV 面	沖積段丘面
高位段丘 III 面	
高位段丘 II 面	
〔リニアメント・変動地形〕	
Lc (変動地形である可能性が低い)	
Ld (変動地形である可能性は非常に低い)	
← は走向ずれの向き、ケバは低下側を示す。 ↓ は地形面の傾斜の向きを示す。	



リニアメント・変動地形の地形要素

島別所南リニアメント
 須曽リニアメント

2.6.6.1.1 (3) 半の浦西断層・半の浦東断層・須曾リニアメント・島別所南リニアメントの地質調査

○地表踏査の結果、本地域周辺には、岩稻階の別所岳安山岩類の安山岩及び安山岩質火砕岩(凝灰角礫岩)、音川階の和倉珪藻泥岩層、更新世の中位段丘堆積層、上部更新統～完新統の沖積層が分布する。

○半の浦西リニアメントから約100m東方では、高位段丘Ⅱ面堆積層に変位を与える断層露頭を確認した。断層は幅約5cmの破碎部を有し、西側の別所岳安山岩類安山岩を約80cm隆起させる逆断層である。半の浦西リニアメントと近接することや、リニアメント・変動地形と整合的な西上がりの変位を示すことを踏まえると、これは半の浦西リニアメントと関連する構造の可能性がある(次頁)。

○須曾リニアメント沿いには、これに対応する断層は認められず、リニアメント・変動地形として判読した崖地形を横断して別所岳安山岩類の安山岩質火砕岩(凝灰角礫岩)が連続して分布し、そこに断層は認められない(P.174～177)。

○島別所南リニアメント沿いには、これに対応する断層は認められず、リニアメント・変動地形として判読した小起伏面の低崖の近傍では、和倉珪藻泥岩がほぼ水平に分布している(P.178)。また、安山岩質火砕岩分布域中の小河川が南方に分布する安山岩との境界で西方に屈曲しており、その境界は島別所南リニアメントとほぼ一致している(P.179)。



位置図

凡例

【地質】		地層・岩石名
地質時代	数地周辺の層序	
第四紀	完新世	AL 沖積層
	更新世	MI 中位段丘Ⅰ面堆積層
新第三紀	音川階	OMd 和倉珪藻泥岩層
	岩稻階	IAa 別所岳安山岩類 安山岩
		IAt 別所岳安山岩類 安山岩質火砕岩(凝灰角礫岩)

【記号】

20 43 地層の走向・傾斜

20 43 節理の走向・傾斜

地質断面線

【リニアメント・変動地形】

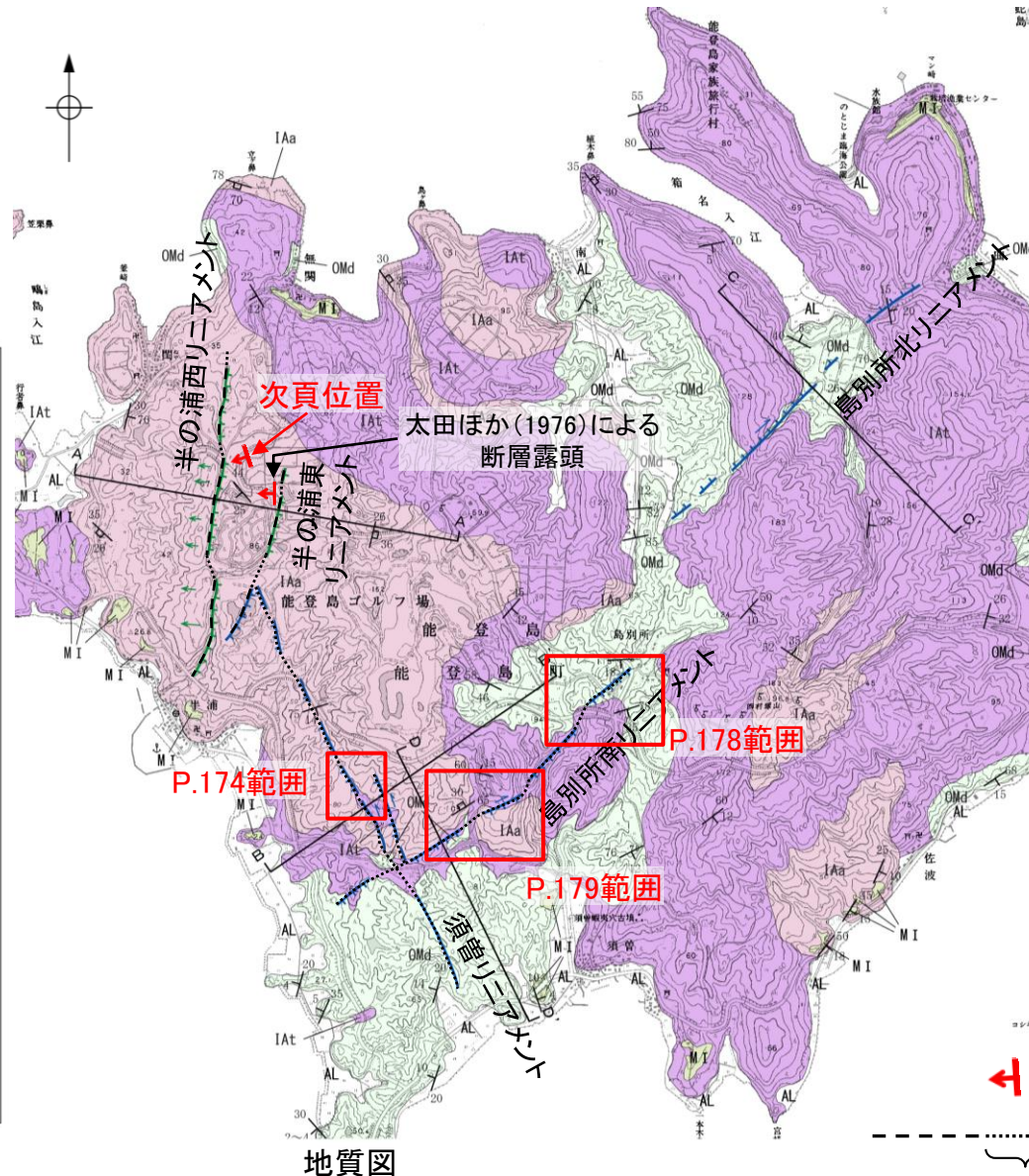
↓ Lc (変動地形である可能性が低い)

↓ LD (変動地形である可能性は非常に低い)

← は走向ずれの向き、ケバは低下側を示す。

↓ は地形面の傾斜の向きを示す。

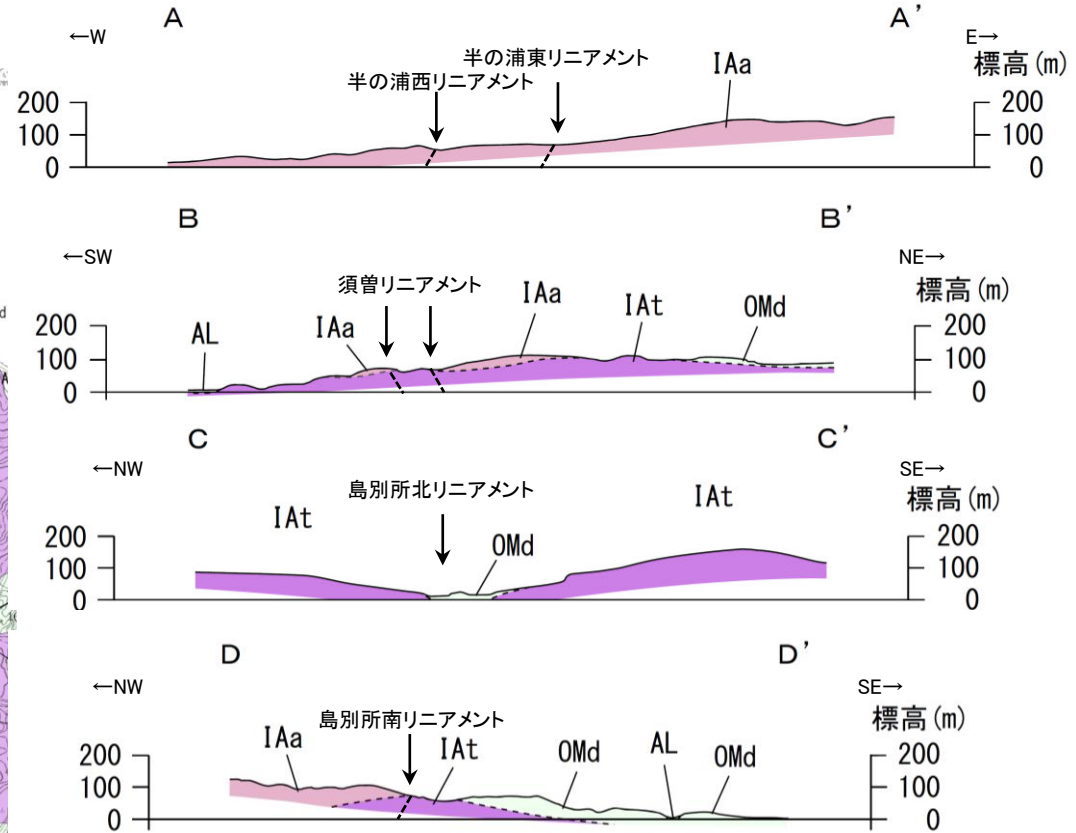
0 1km



地質図

断層確認位置

断層位置
推定区間



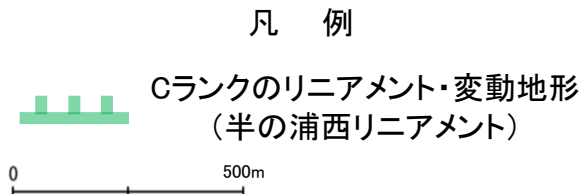
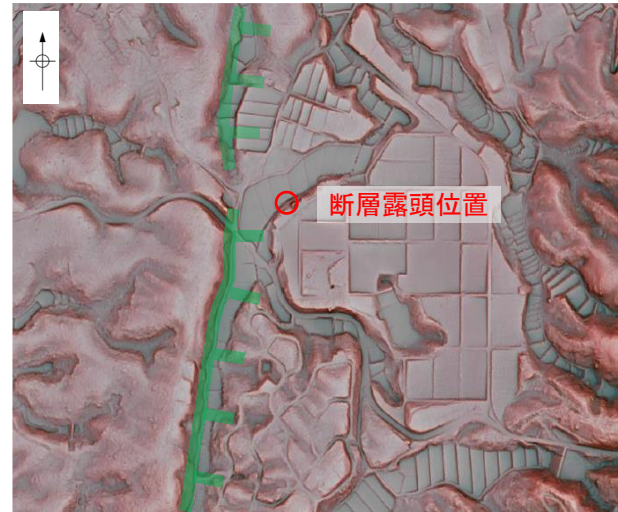
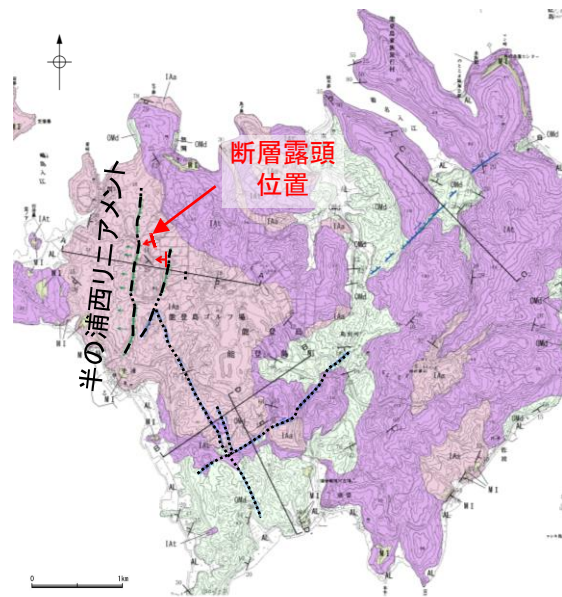
地質断面図

凡例

【地質】		地層・岩石名
地質時代	数地周辺の層序	
第四紀	完新世	AL 沖積層
	更新世	
新第三紀	音川階	OMd 和倉珪藻泥岩層
	岩稻階	IAa 別所岳安山岩類 安山岩
		IAt 別所岳安山岩類 安山岩質火砕岩(凝灰角礫岩)

【半の浦西リニアメント付近の断層露頭】

○半の浦西リニアメントから約100m東方では、高位段丘Ⅱ面堆積層に変位を与える断層露頭を確認した。断層は幅約5cmの破碎部を有し、西側の別所岳安山岩類安山岩を約80cm隆起させる逆断層である。半の浦西リニアメントと近接することや、リニアメント・変動地形と整合的な西上がりの変位を示すことを踏まえると、これは半の浦西リニアメントと関連する構造の可能性がある。



断層露頭写真(1979~1980年撮影)
(半の浦西リニアメントから約100m東方)

- ・断層の走向傾斜はN18° W50° SW
- ・写真左手の灰色還元脱色帯の上に段丘礫、赤褐色粘土があるが、ハンマー上方の位置で切られている。
- ・変位量は西上がり約80cm
- ・断層は幅5cmの破碎部を有する。

--- 断層位置
推定区間

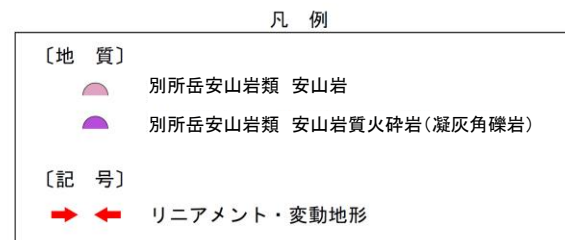
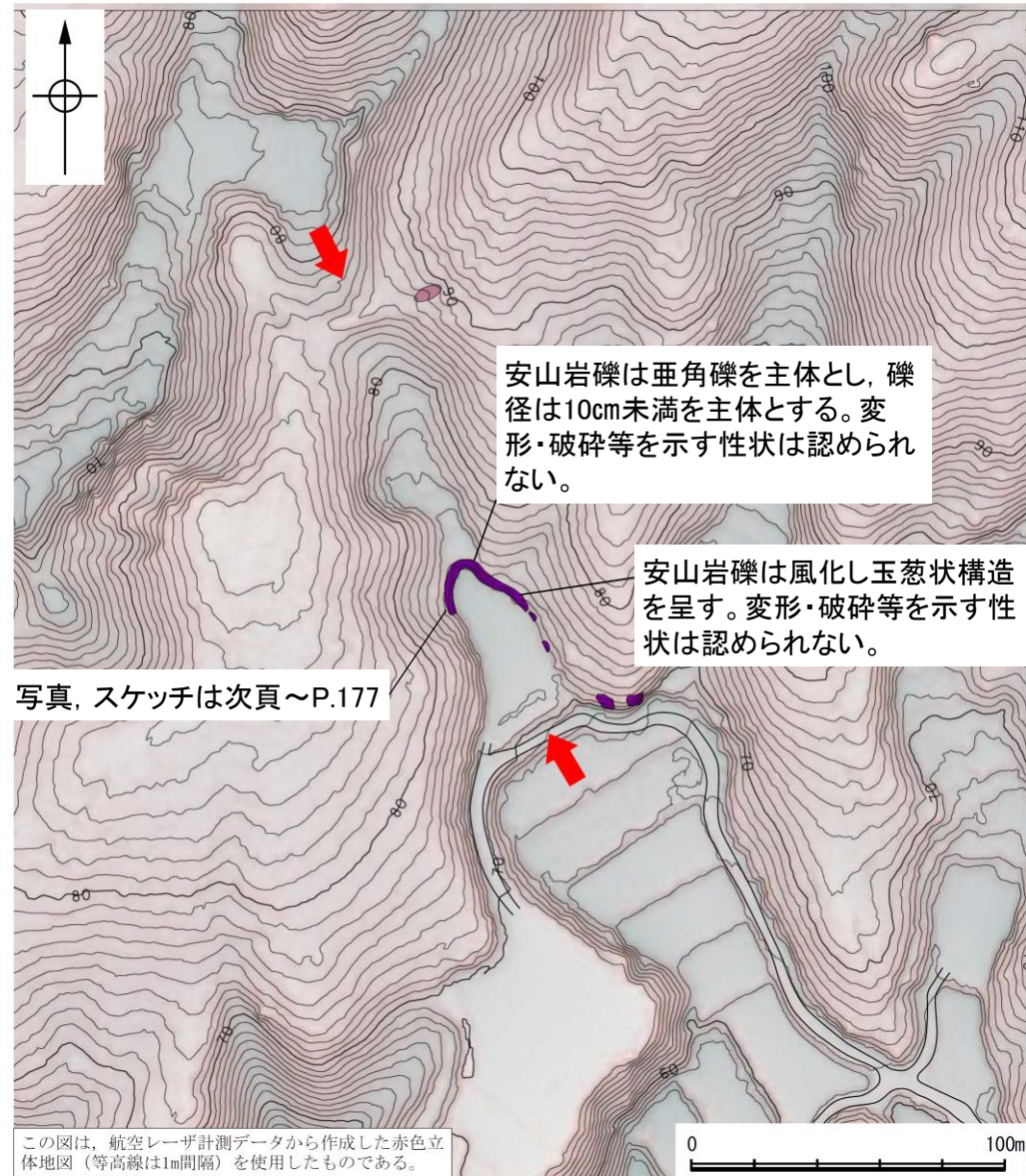
地質図

【地質】		地層・岩石名
地質時代	数地周辺の層序	
第四紀 更新世	AL	沖積層
	MI	中段丘Ⅰ面堆積層
第三紀 中新世	OMd	和倉珪藻泥岩層
	IAa	別所岳安山岩類 安山岩
	IAt	別所岳安山岩類 安山岩質火砕岩(凝灰角礫岩)

【記号】	
	地層の走向・傾斜
	節理の走向・傾斜
【リニアメント・変動地形】	
	Lc (変動地形である可能性が低い)
	Ld (変動地形である可能性は非常に低い)
← は走向ずれの向き、ケバは低下側を示す。 ↓ は地形面の傾斜の向きを示す。	

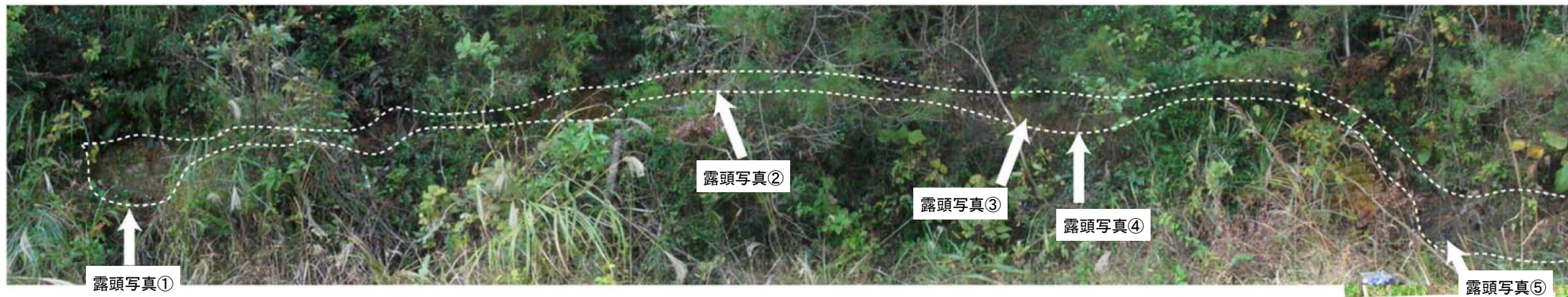
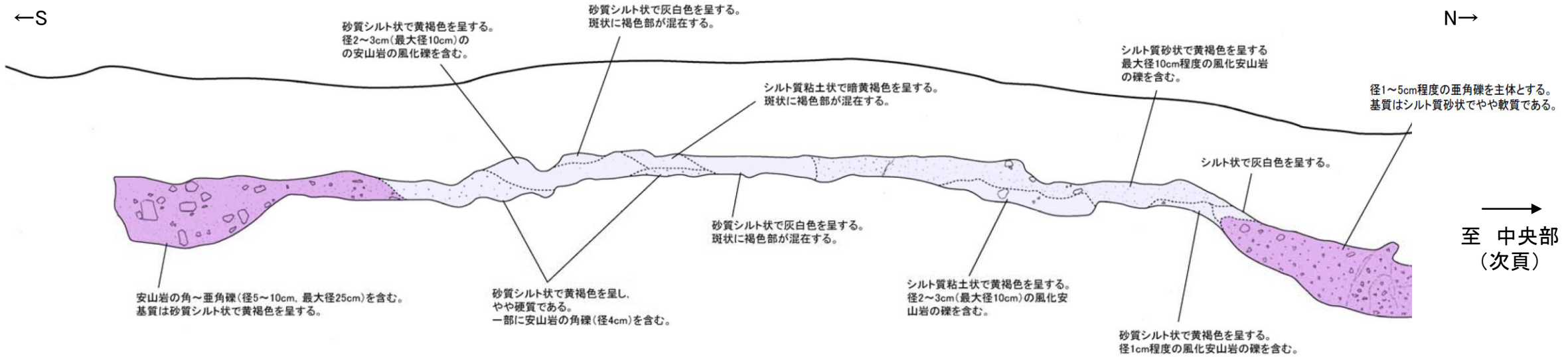
【須曽リニアメント周辺地形・地質状況】

○リニアメント・変動地形として判読した崖地形を横断して別所岳安山岩類の安山岩質火砕岩(凝灰角礫岩)が連続して分布し、そこに断層は認められない。



露頭分布図(須曽リニアメント)

○リニアメント・変動地形として判読した崖地形を横断して別所岳安山岩類の安山岩質火砕岩(凝灰角礫岩)が連続して分布し、そこに断層は認められない。



凡例

【別所岳安山岩類 安山岩質火砕岩(凝灰角礫岩)】

- 弱風化部**
 礫と基質の境界は明瞭。
 礫は安山岩の亜角礫を主体とし、礫径は一定しないが10cm未満を主体とする。
 基質は砂質シルト~シルト質砂状を呈するが、一部は硬質である。
- 風化部**
 礫は風化程度の低いもののみ保存されており、多くは基質との境界が不明瞭である。また、一部には球状風化を受け、玉葱状構造を呈するものがある。
 基質は砂質シルト~シルト質砂状で黄褐色を呈する。
- 強風化部**
 礫と基質の境界は不明瞭である。
 基質はシルト質粘土~シルト質砂状で黄褐色、一部灰白色を呈する。

表土はぎ写真, スケッチ(西側)



露頭写真①

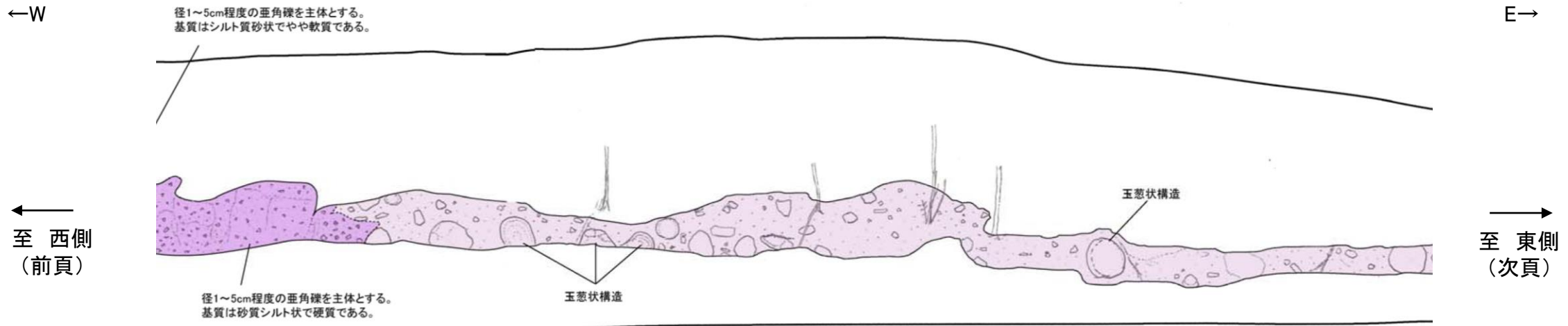
露頭写真②

露頭写真③

露頭写真④

露頭写真⑤

○リニアメント・変動地形として判読した崖地形を横断して別所岳安山岩類の安山岩質火砕岩(凝灰角礫岩)が連続して分布し、そこに断層は認められない。



表土はぎ写真, スケッチ(中央部)

- 凡例
- 【別所岳安山岩類 安山岩質火砕岩(凝灰角礫岩)】
- 弱風化部
 礫と基質の境界は明瞭。
 礫は安山岩の垂角礫を主体とし、礫径は一定しないが10cm未満を主体とする。
 基質は砂質シルト～シルト質砂状を呈するが、一部は硬質である。
 - 風化部
 礫は風化程度の低いもののみ保存されており、多くは基質との境界が不明瞭である。また、一部には球状風化を受け、玉葱状構造を呈するものがある。
 基質は砂質シルト～シルト質砂状で黄褐色を呈する。
 - 強風化部
 礫と基質の境界は不明瞭である。
 基質はシルト質粘土～シルト質砂状で黄褐色、一部灰白色を呈する。



露頭写真⑥



露頭写真⑦

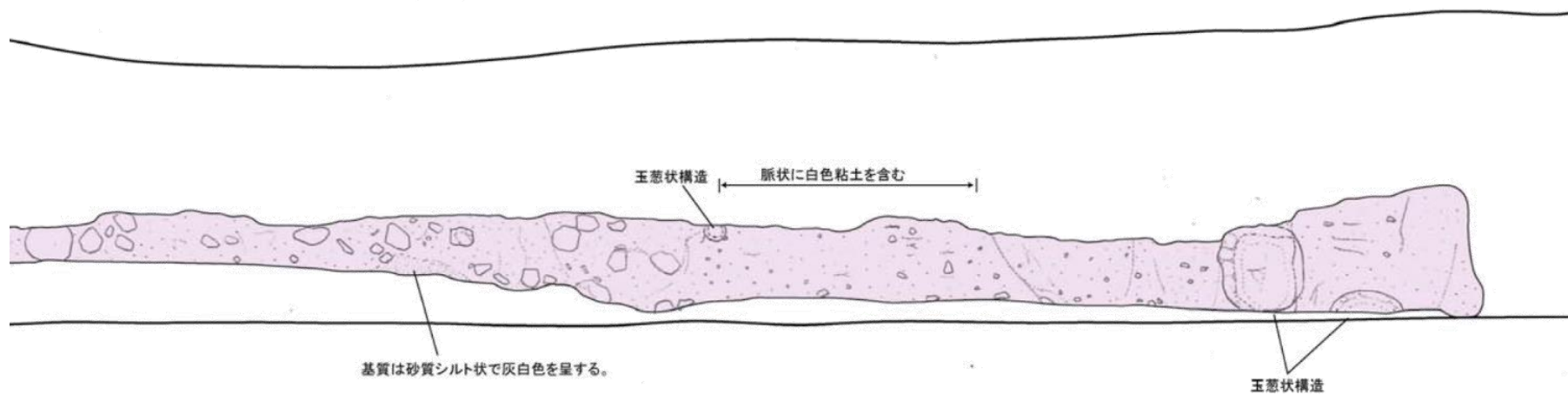


○リニアメント・変動地形として判読した崖地形を横断して別所岳安山岩類の安山岩質火砕岩(凝灰角礫岩)が連続して分布し、そこに断層は認められない。

←N

S→

←
至 中央部
(前頁)



表土はぎ写真, スケッチ(東側)

凡例

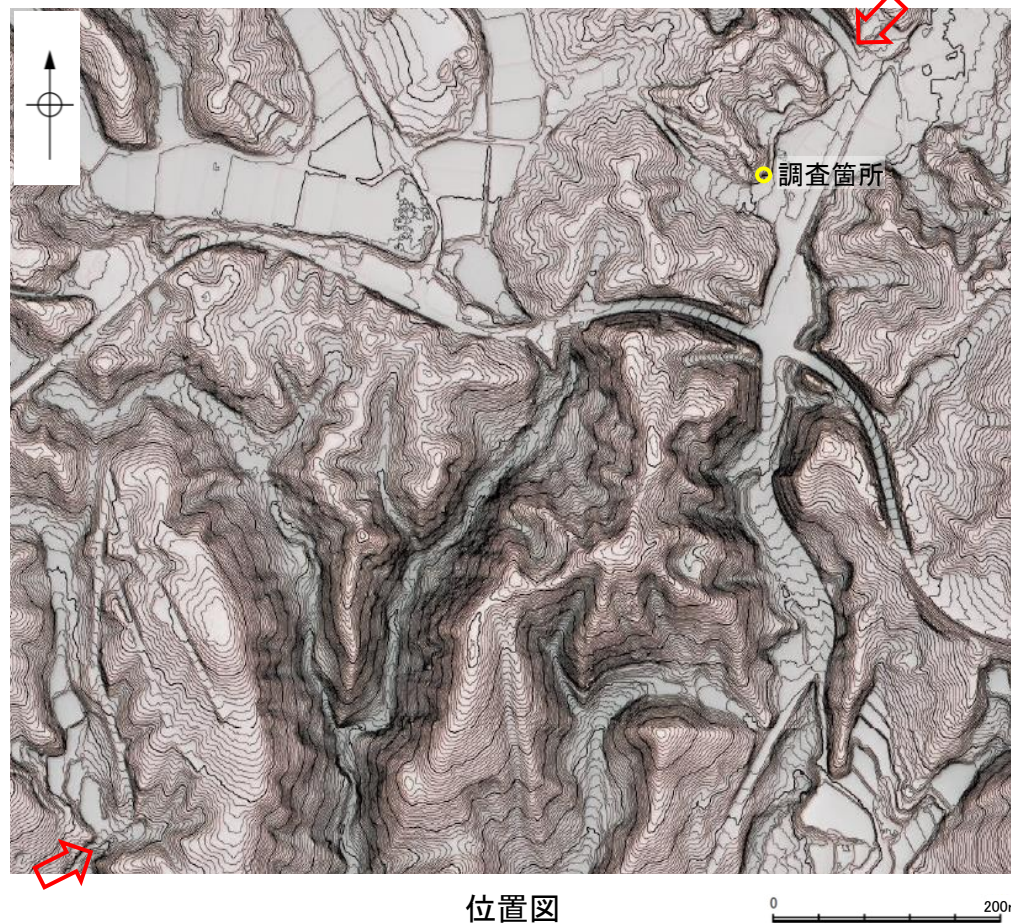
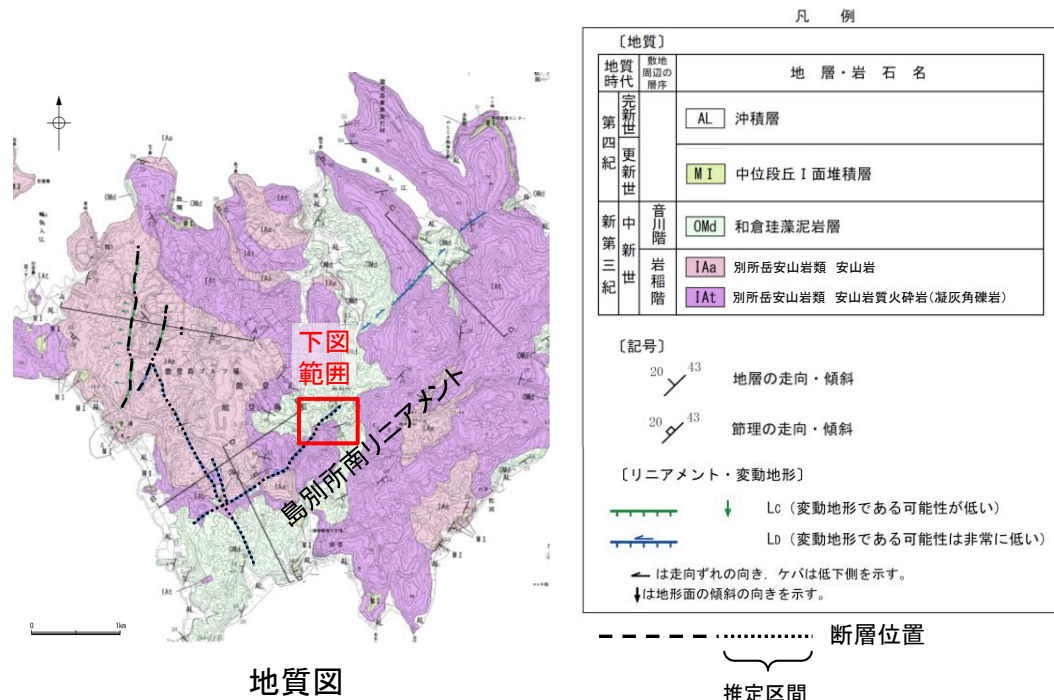
[別所岳安山岩類 安山岩質火砕岩(凝灰角礫岩)]

- 弱風化部**
 礫と基質の境界は明瞭。
 礫は安山岩の垂角礫を主体とし、礫径は一定しないが10cm未満を主体とする。
 基質は砂質シルト～シルト質砂状を呈するが、一部は硬質である。
- 風化部**
 礫は風化程度の低いもののみ保存されており、多くは基質との境界が不明瞭である。また、一部には球状風化を受け、玉葱状構造を呈すものがある。
 基質は砂質シルト～シルト質砂状で黄褐色を呈する。
- 強風化部**
 礫と基質の境界は不明瞭である。
 基質はシルト質粘土～シルト質砂状で黄褐色、一部灰白色を呈する。

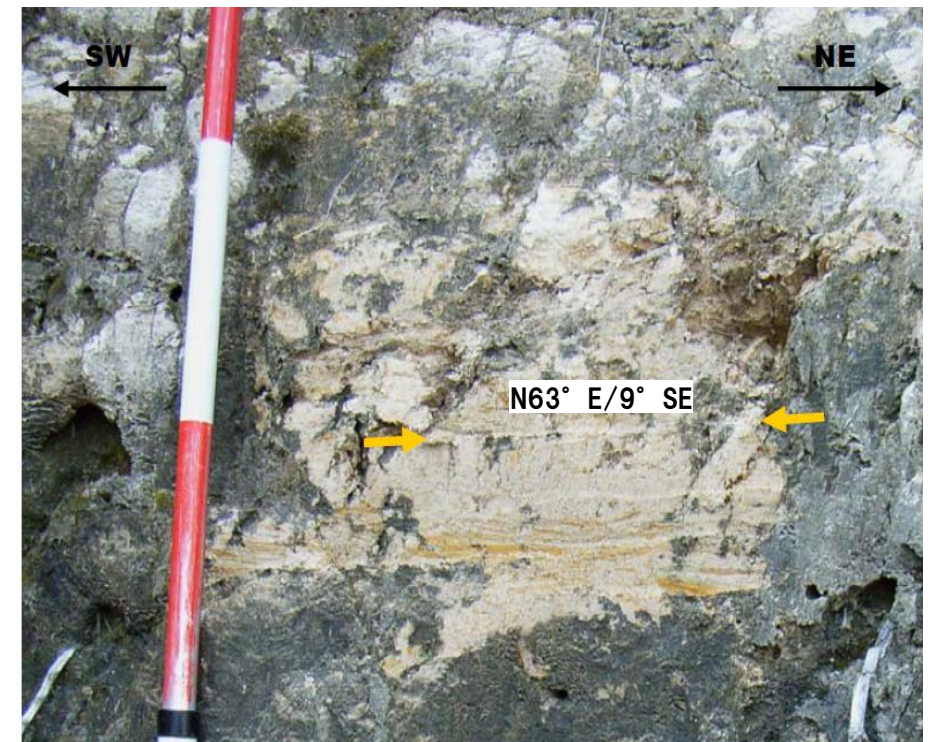


【島別所南リニアメント周辺地形・地質状況】

○リニアメント・変動地形として判読した小起伏面の急崖直下及び近傍では、和倉珪藻泥岩層がほぼ水平に分布している。



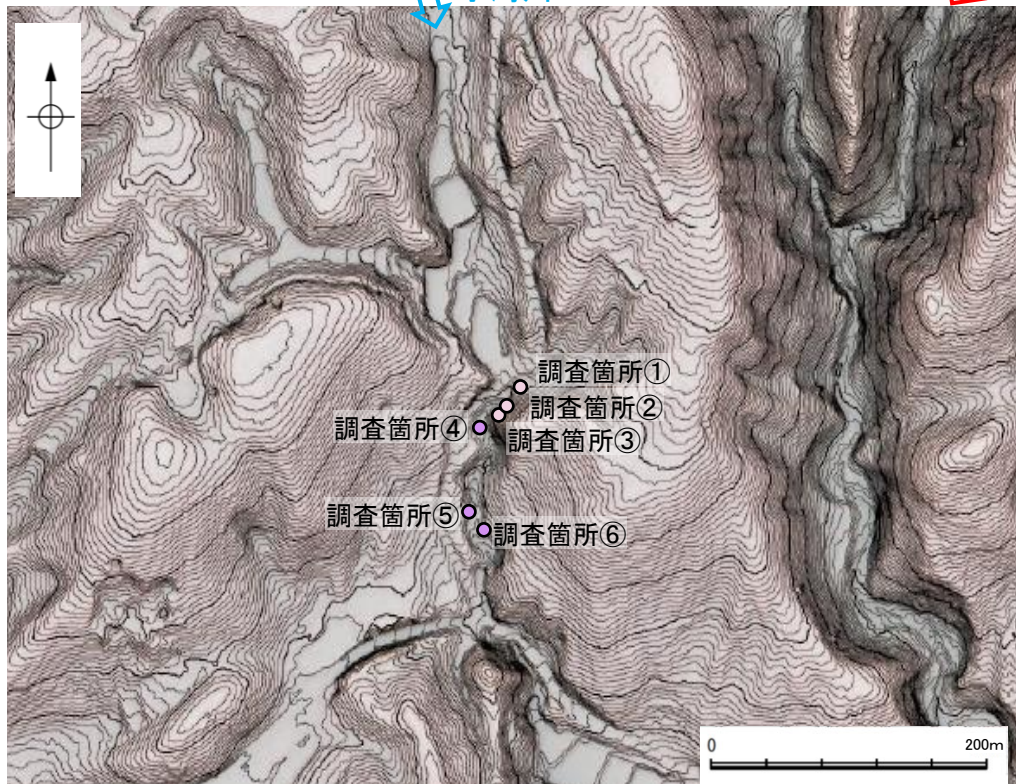
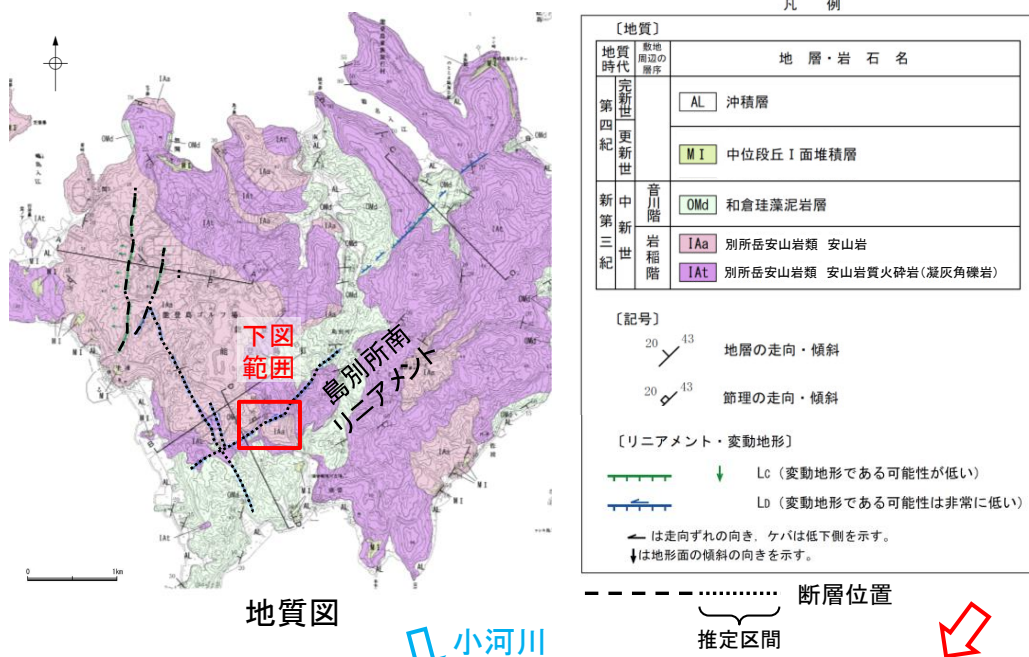
⇔ リニアメント・変動地形



露頭写真
和倉珪藻泥岩層がほぼ水平に確認される

【島別所南リニアメント周辺地形・地質状況】

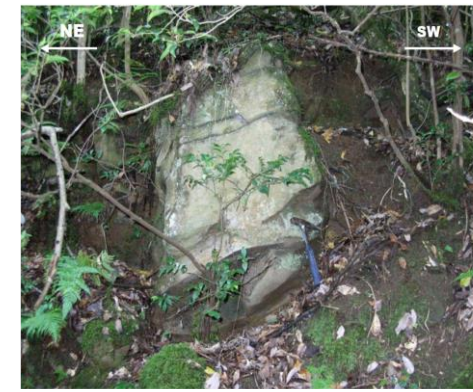
○安山岩質火砕岩分布域中の小河川が南方に分布する安山岩との境界で西方に屈曲しており、その境界は島別所南リニアメントとほぼ一致していることから、別所岳安山岩類中の岩質の差を反映した組織地形である可能性が大きい。



調査箇所① 写真
安山岩が確認される



調査箇所② 写真
安山岩が確認される



調査箇所③ 写真
安山岩が確認される



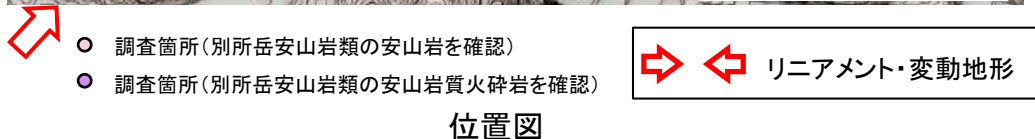
調査箇所④ 写真
安山岩質火砕岩が確認される



調査箇所⑤ 写真
安山岩質火砕岩が確認される



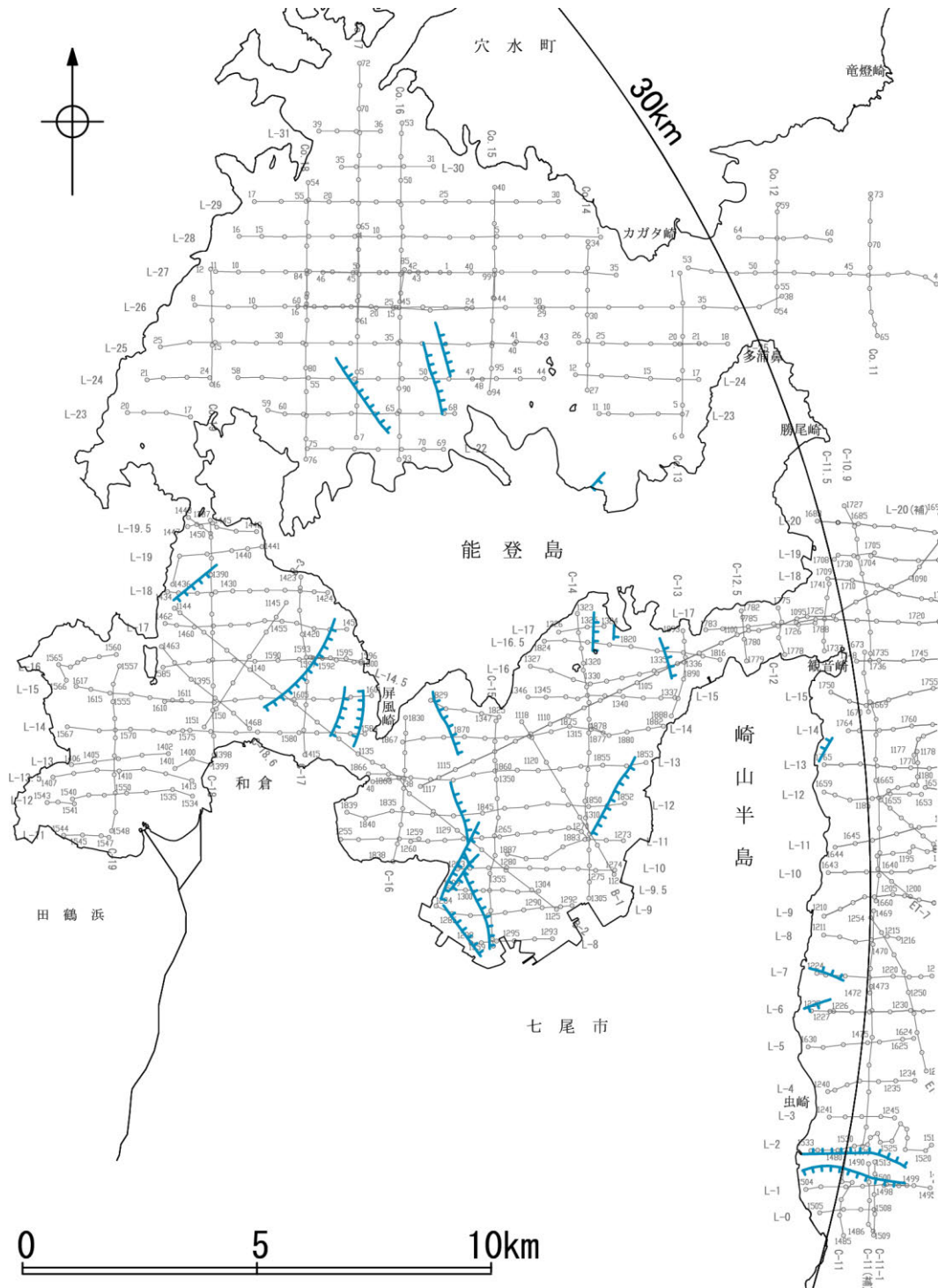
調査箇所⑥ 写真
安山岩質火砕岩が確認される



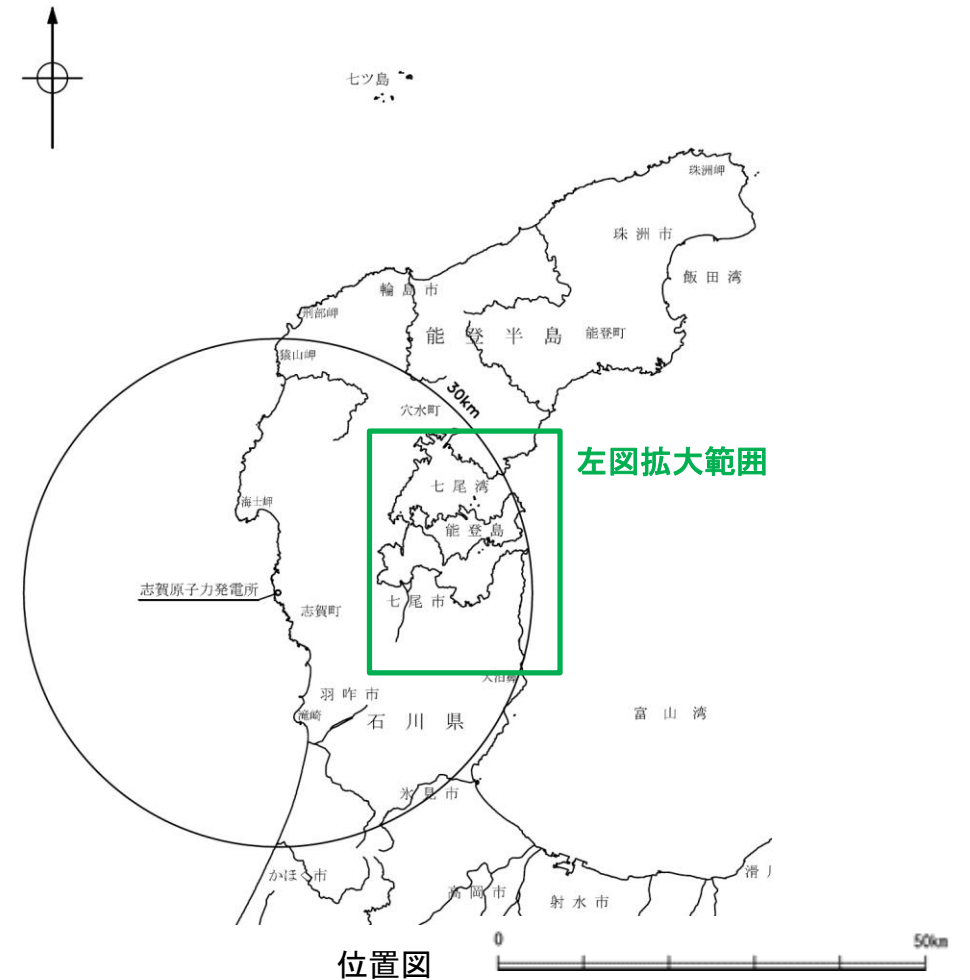
2.6.6.1.2 七尾湾調査海域の断層

2.6.6.1.2 (1) 七尾湾調査海域の断層の文献調査

- 海上保安庁水路部(1982)は、海上保安庁水路部によって実施された反射法地震探査(調査測線①)の反射断面の解釈から、七尾湾調査海域において24条の断層を図示し、大部分を伏在断層としている。
- 岡村(2002)は、調査範囲外のため七尾湾調査海域に断層等を図示していない。
- 国交省ほか(2014)は、調査範囲外のため七尾湾調査海域に海底断層を記載していない。
- 文科省ほか(2015)は、調査範囲外のため七尾湾調査海域に震源断層モデルを設定していない。



位置図



左図拡大範囲

位置図

凡例

文献による断層



海上保安庁水路部(1982)による断層

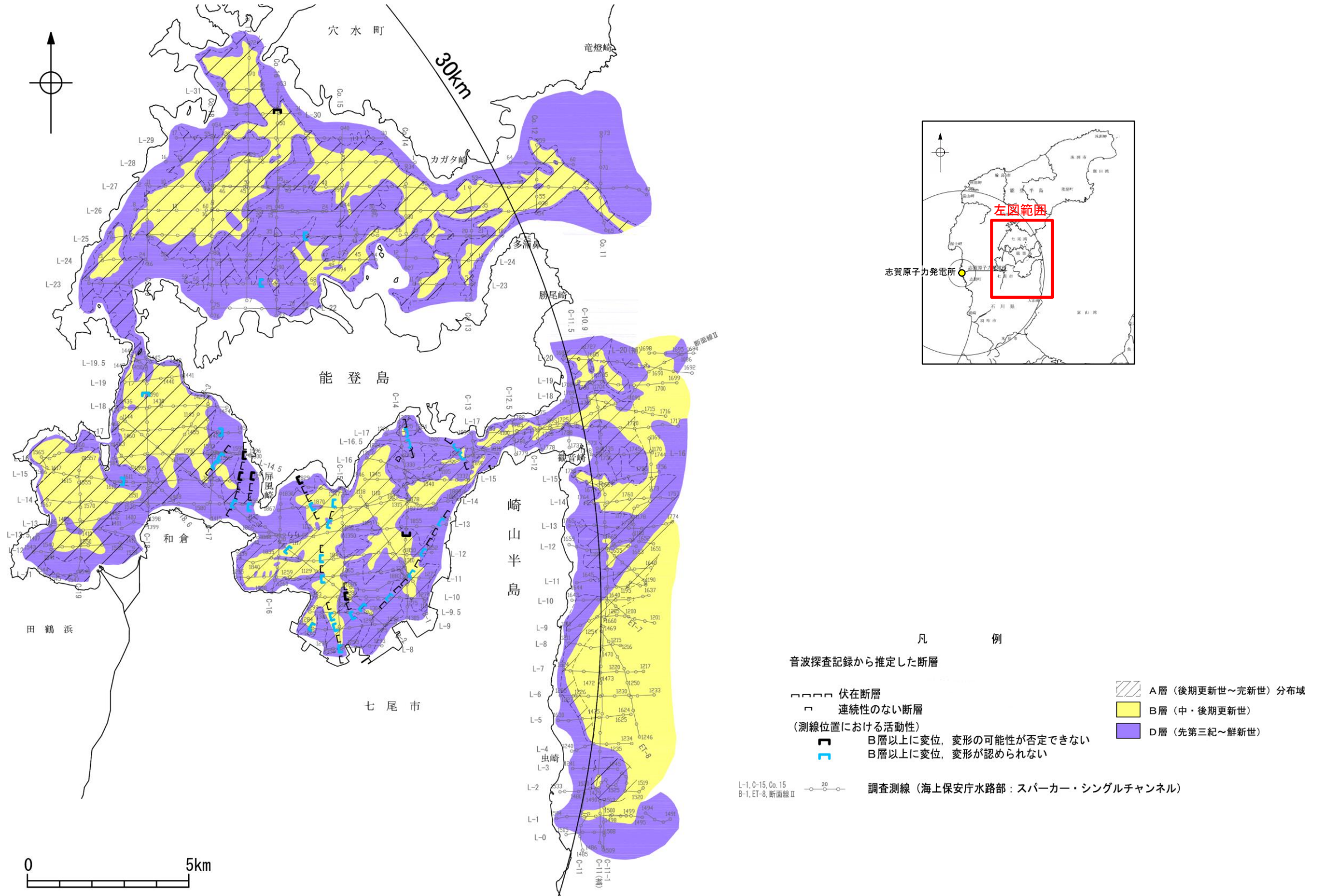
L-1, C-15, Co. 15
B-1, ET-8, 断面線Ⅱ



調査測線(海上保安庁水路部: スーパー・シングルチャンネル) : 調査測線①

2.6.6.1.2 (2) 七尾湾調査海域の断層の活動性－七尾湾調査海域の地質図－

○七尾湾調査海域の断層は、大部分が能登島南方に分布し、いずれもD層内に伏在している。



七尾湾調査海域の断層周辺の地質図